

767-5  
1975

საქართველოს სსრ მეცნიერებათა აკადემიის მაცნე

ИЗВЕСТИЯ АКАДЕМИИ НАУК ГРУЗИНСКОЙ ССР  
PROCEEDINGS OF THE ACADEMY OF SCIENCES  
OF THE GEORGIAN SSR

# ЭПАПЬ

## СЕРИЯ ХИМИЧЕСКАЯ

1975 N 2

მარცხი  
ТБИЛИСИ  
TBILISI

8man  
TOM  
VOL.

საქართველოს სსრ მეცნიერებათა აკადემიის მაცნე  
ИЗВЕСТИЯ АКАДЕМИИ НАУК ГРУЗИНСКОЙ ССР

# გიანის ხაზი СЕРИЯ ХИМИЧЕСКАЯ

ტომი  
Том 1, № 2

19.9.98

უკრნალი დაარსდა 1975 წელს  
Журнал основан в 1975 году

გამოცემლა „მეცნიერება“ თბილისი 1975  
ИЗДАТЕЛЬСТВО „МЕЦНИЕРЕБА“ ТБИЛИСИ

© Известия АН ГССР  
Серия химическая, 1975

სარჩევადღიო პოლიტიკა

რ. აგლაძე, ა. ავალიანი, თ. ანდრონიქაშვილი (რედაქტორის მოადგილე), ქ. არეშიძე, ფ. ბრუცელი (სწავლული მდივანი), ი. გვერდწითელი, პ. გოგორიშვილი, ფ. თავაძე, ნ. ლანდია, ლ. მელიკაშვილი, ნ. ფირცხალავა, ე. ქემერტელიძე, კ. ქუთა-თელაძე, გ. ციციშვილი (რედაქტორი), პ. ცისკარიშვილი, კ. ჭავჭავაძე (რედაქტორის მოადგილე).

პასუხისმგებელი მდივანი ვ. შუბლაძე

РЕДАКЦИОННАЯ КОЛЛЕГИЯ

Р. И. Агладзе, А. Ш. Авалиани, Т. Г. Андronikashvili (зам. редактора),  
Х. И. Арешидзе, Ф. И. Броучек (ученый секретарь), И. М. Гвердцители,  
П. В. Гогоришвили, К. Г. Джапаридзе (зам. редактора), Э. П. Кемерте-  
лидзе, К. С. Кутателадзе, Н. А. Ландия, Л. Д. Меликадзе, Н. И. Пирцх-  
лава, Ф. Ф. Тавадзе, Г. В. Цицишвили (редактор), П. Д. Цискаришвили.

Ответственный секретарь В. В. Шубладзе

EDITORIAL BOARD

R. I. Agladze, A. Sh. Avaliani, T. G. Andronikashvili (Associate Editor), Kh. I. Areshidze, F. I. Brouchek (Scientific Secretary), I. M. Gverdtsiteli, P. V. Gogorishvili, K. G. Japaridze (Associate Editor), E. P. Kemerterlidze, K. S. Kutateladze, N. A. Landia, L. D. Melikadze, N. I. Pirtskhava, F. N. Tavadze, G. V. Tsitsishvili (Editor), P. D. Tsiskarishvili.

Executive Secretary V. V. Shubladze

უკრნალი გამოდის 3 თვეში ერთხელ  
Журнал выходит раз в 3 месяца

ଓଡ଼ିଆରୁଦ୍ଧ

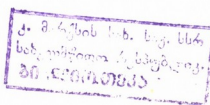
არაორგანული და ანალიზური შიხვა

ကမာဂါန္တန္တလွင် ၁၀၂၀၁

ଓଡ଼ିଆ ଲେଖକ

თ. ა ნ დ რ ა ნ ი კ ა შ ვ ი ლ ი, თ. ბ ა ნ ა ხ ი, გ. ც ი ც ი შ ვ ი ლ ი, მ ა ღ ა ლ ი ჩ ა ნ ა ც ვ ლ ე-  
ბ ი ს შ ქ რ ე ბ უ ტ ე ბ შ ე ტ ა ლ თ ა კ ა თ ი ნ ე ბ ი ს შ ე მ ც ვ ლ ე ლ ი ყ რ ი ბ ი ს ც ე ღ ლ ი თ ე ბ ი ს  
ქ რ ი მ ა ტ ა რ ი გ რ ა ფ ი უ ლ ი თ ვ ი ს ე ბ ე ბ ი ძ ა შ ა ვ ი გ რ ე ბ ი ი შ ვ ი ლ ი ი ნ დ რ ა შ ი თ ე ლ ი ს პ ე ტ ე ბ ი დ ა ს ა ი რ ი ქ რ ი მ-  
ძ ა შ ა ვ ი გ რ ე ბ ი ი შ ვ ი ლ ი ი ნ დ რ ა შ ი თ ე ლ ი ს პ ე ტ ე ბ ი დ ა ს ა ი რ ი ქ რ ი მ-  
შ ე ნ ი ს შ ე ც ე რ ი ს ტ ა ფ ი უ ლ ი თ ვ ი ს ე ბ ე ბ ი ძ ა შ ა ვ ი გ რ ე ბ ი ი შ ვ ი ლ ი ი ნ დ რ ა შ ი თ ე ლ ი ს პ ე ტ ე ბ ი დ ა ს ა ი რ ი ქ რ ი მ-  
3. წ ვ ე ნ ი ა შ ვ ი ლ ი, ლ. წ ვ ა ლ ი მ ა ბ ე ბ ე ბ ი, ვ. გ ა ფ რ ი ნ დ ა შ ვ ი ლ ი, ფ. მ ი ხ ა ი-  
ლ ი ც ი ნ ი ნ ი ბ ე გ ნ -2,1,3-თ ა დ ი ა ზ ო ლ ი ს ს უ ლ ფ ი რ ა მ ი ნ ე ბ უ ლ ე ბ ი ს პ ლ ა რ ი გ რ ა-  
ფ ი უ ლ ი გ ა მ ი ნ ე ბ უ ლ ე ბ ი 177  
3. კ რ ი ჩ ა შ ვ ი ლ ი, ქ. ლ ა ბ ა ძ ა რ ე, ლ. ს ე ც ი ა შ ვ ი ლ ი, ქ ლ ი რ ი ს ა დ ა პ რ ი მ ი ლ ე-  
ბ ი ს ჩ ა ნ ა ც ვ ლ ე ბ ი ს მ ი ნ ე ბ ი ს ს ა ი თ ხ ი ს ა თ ი ს 183

ଶ୍ରୀମଦ୍ଭଗବତ



## СОДЕРЖАНИЕ

### НЕОРГАНИЧЕСКАЯ И АНАЛИТИЧЕСКАЯ ХИМИЯ

Н. Н. Векуа, П. В. Гогоришивили, В. Н. Гаприндашвили. Синтез и изучение комплексных соединений щелочноземельных металлов с дигидразидглутаровой кислотой . . . . .	119
Е. Г. Давиташвили, М. Е. Модебадзе, Н. Г. Шелия. О комплексных оксалатах erbия . . . . .	126

### ОРГАНИЧЕСКАЯ ХИМИЯ

Л. Д. Меликадзе, Н. Н. Схиртладзе, А. А. Дзамукашвили, М. П. Гецадзе. Синтез I-моноарилпроизводных адамантана . . . . .	132
М. К. Гаджиев. Превращение первичного, вторичного, третичного бутантиолов и изобутантиола в присутствии природного алюмосиликата . . . . .	138
Э. З. Джакели, К. С. Муджири, Р. Н. Шейнкер. 16-карбоксигербанин из барвинка травянистого, произрастающего в Грузии . . . . .	142
Ц. М. Далакишвили, С. Д. Гусакова, Э. П. Кемертелидзе. Исследование омыляемой части масла <i>Helleborus abchasicus</i> A. Br. . . . .	146
Г. Ш. Панава, Н. А. Майсурадзе, Л. В. Дубровина. Исследование гидродинамических свойств поликарбонатов с норбориаровой группировкой в цепи . . . . .	152
Д. Р. Лагидзе, Л. Я. Талаквадзе, Л. А. Цулукидзе, Р. М. Лагидзе. Синтез некоторых новых жирноароматических аналогов мелато-нина . . . . .	157

### ФИЗИЧЕСКАЯ ХИМИЯ

Т. Г. Андроникашвили, О. С. Банах, Г. В. Цицишвили. Хроматографические свойства цеолитов типа У с высоким содержанием катионов щелочных металлов . . . . .	161
К. Г. Джапаридзе, И. Я. Павленишвили. ИК-спектры и некоторые вопросы строения молекулы окрашенной формы спирохроменов . . . . .	167
В. Ш. Цвениашвили, Л. А. Цкалабадзе, В. Н. Гаприндашвили, Ф. С. Михайлициан. Поляграфическое исследование сульфопроизводных бенз-2-1,3-тиадиазола . . . . .	174
В. И. Коючашивили, К. З. Лабадзе, Л. М. Сепиашвили. К вопросу о природе самовоспламенения смесей хлора с пропиленом . . . . .	180

### ТЕХНОЛОГИЯ

Г. В. Цагарейшвили, Н. В. Дучидзе, З. Р. Сафиулина, Г. С. Башура. Исследования стабилизации суспензий производных 5-нитрофурана . . . . .	185
Н. Я. Бучкури, Я. Г. Бучкури. Процесс сероочистки горючих газов марганцевыми рудами . . . . .	192
В. Ю. Миндин, Г. Н. Кипиани, И. В. Харчиладзе. Влияние соотношения сопротивлений выпрямителя и электролизера на точность автоматического измерения обратной э.д.с. с помощью запоминающего конденсатора . . . . .	199

### ХРОНИКА

204

## CONTENTS

### INORGANIC AND ANALITICAL CHEMISTRY

N. N. Vekya, P. V. Gogorishvili, V. N. Gaprindashvili. Synthesis and studies of complex compounds of alkali-earth metals with dihydrazo,glutaric acid . . . . .	125
E. G. Davitashvili, M. E. Modebadze, N. G. Shelia. On complex oxalates of erbium . . . . .	131

### ORGANIC CHEMISTRY

L. D. Melikadze, N. N. Skhirtladze, A. A. Dzamukashvili, M. R. Getsadze. Synthesis of 1-monoarylderivatives of adamantan . . . . .	137
M. K. Gadzhiev. Transformation of primary, secondary, tertiary butanethiols and of isobutanethiol in the presence of natural aluminosilicate . . . . .	140
E. E. Jakeli, K. S. Mudzhiri, Yu. N. Sheinker. 16-carboxyherbavins from grassy periwinkle growing in Georgia . . . . .	145
Ts. M. Dalakishvili, S. D. Gusakova, E. P. Kemertelidze. Studies of the saponified part of the oil of helleborus abchasicus ABR . . . . .	151
G. Sh. Papava, N. A. Maisuradze, L. V. Dubrovina. Studies of hydrodynamical properties of polyarylate with norbornan group in the chain . .	156
D. R. Lagidze, L. Ya. Talakvadze, L. A. Tsulukidze, R. M. Lagidze. Synthesis of some new aliphatic-aromatic analogs of melatonin . . . . .	160

### PHYSICAL CHEMISTRY

T. G. Andronikashvili, O. S. Banakh, G. V. Tsitsishvili. Chromatographic properties of type Y zeolites with high content of cations of alkali metals . . . . .	165
K. G. Japaridze, I. Ya. Pavlenishvili. IR—Spectra and some problems of structure of spirochromene coloured form . . . . .	173
V. Sh. Tsveniashvili, L. A. Tskalobadze, V. N. Gaprindashvili, F. S. Mikhailitsin. Polarography of sulphur derivatives of benz-2, 1, 3-thiadiazole . . . . .	178
V. I. Kokochashvili, K. Z. Labadze, L. M. Sepiashvili. On the nature of self-ignition of mixtures of chlorine with propylene . . . . .	183

### TECHNOLOGY

G. V. Tsagareishvili, N. V. Duchidze, E. R. Saifulina, G. S. Bashura. Studies of stabilization of suspensions of 5-nitrofuran derivatives .	195
N. Ya. Buchukuri, Ya. G. Buchukuri. The process of combustible gases purification from sulphur by manganese ores . . . . .	197
V. Yu. Mindin, G. N. Kipiani, I. V. Kharchiladze. Influence of the ratio of resistors of rectifier and elektrolyzer on the accuracy of automatic measurements of inverse electromotive force by means of a capacitor storage	202

### CHRONICE

## НЕОРГАНИЧЕСКАЯ И АНАЛИТИЧЕСКАЯ ХИМИЯ

УДК 546.131

Н. Н. ВЕКУА, П. В. ГОГОРИШВИЛИ, В. Н. ГАПРИНДАШВИЛИ

### СИНТЕЗ И ИЗУЧЕНИЕ КОМПЛЕКСНЫХ СОЕДИНЕНИЙ ЩЕЛОЧНОЗЕМЕЛЬНЫХ МЕТАЛЛОВ С ДИГИДРАЗИДГЛУТАРОВОЙ КИСЛОТОЙ

Ранее нами [1] были изучены комплексные соединения элементов II группы периодической системы Д. И. Менделеева с дигидразидадипиновой кислотой. Как отмечалось [1], щелочноземельные металлы не являются активными комплексообразователями. Однако, учитывая стабилизирующую влияние циклических группировок, а также склонность щелочноземельных металлов координировать лиганда, содержащие в качестве донора кислород и азот, можно рассчитывать на получение комплексов названных металлов с дигидразидглутаровой кислотой (ДГ). Этот лиганд содержит симметрично расположенные активные  $-\text{CO}-\text{NH}-\text{NH}_2$  группы, обуславливающие образование циклов с металлами. Следует отметить также, что гидразинпроизводные карбоновых кислот образуют множество интересных комплексных соединений, включая и биологически активные вещества [2–6].

Настоящая работа посвящена синтезу и изучению некоторых свойств новых дигидразидглутаровых комплексов щелочноземельных металлов. Синтезирован целый ряд довольно прочных комплексных соединений, состав которых соответствует формулам:  $\text{M}(\text{ДГ})_{0.5}\text{X}_2 \cdot \text{nH}_2\text{O}$ ;  $\text{M}(\text{ДГ})_{1.5}\text{X}_2 \cdot \text{nH}_2\text{O}$ ;  $\text{M}(\text{ДГ})_2\text{X}_2 \cdot \text{nH}_2\text{O}$ , где  $\text{M} = \text{Mg}^{2+}$ ,  $\text{Ca}^{2+}$ ,  $\text{Sr}^{2+}$ ,  $\text{Ba}^{2+}$ ;  $\text{ДГ} = \text{H}_2\text{N}-\text{HN}-\text{CO}-(\text{CH}_2)_3-\text{CO}-\text{NH}-\text{NH}_2$ ;  $\text{X} = \text{Cl}^-$ ,  $\text{Br}^-$ ,  $\text{NO}_3^-$ .

Синтез проводился в водно-спиртовой и диметилформамидной средах в широких пределах концентраций реагирующих веществ. Результаты анализа и физико-химических исследований полученных соединений приведены в таблицах 1 и 2.

Таблица 1  
Результаты химического анализа полученных комплексных соединений

Соединения	Найдено, %					Вычислено, %				
	Me	C	H	N	ион	Me	C	H	N	ион
$\text{Mg}(\text{ДГ})_{1.5}\text{Cl}_2 \cdot 2\text{H}_2\text{O}$	6,30	24,22	6,00	22,64	18,85	6,54	24,20	5,96	22,08	19,09
$\text{Ca}(\text{ДГ})_{1.5}\text{Cl}_2 \cdot 3\text{H}_2\text{O}$	10,22	22,30	5,94	20,68	16,14	9,88	22,11	5,96	20,73	17,25
$\text{Ca}(\text{ДГ})_2\text{Cl}_2$	9,21	28,10	5,96	26,58	15,92	9,29	27,80	5,60	25,90	16,40
$\text{Sr}(\text{ДГ})_2\text{Cl}_2 \cdot 2\text{H}_2\text{O}$	18,40	23,19	6,51	21,80	12,47	17,01	23,32	5,48	21,76	13,77
$\text{Ba}(\text{ДГ})_{1.5}\text{Br}_2$	25,50	16,85	3,73	15,32	29,23	25,55	16,76	3,73	15,63	29,73
$\text{Mg}(\text{ДГ})_2(\text{NO}_3)_2 \cdot \text{H}_2\text{O}$	4,37	25,00	5,89	28,40	—	4,99	24,67	5,65	28,78	—
$\text{Ca}(\text{ДГ})_2(\text{NO}_3)_2 \cdot \text{H}_2\text{O}$	7,61	24,85	5,48	27,31	—	7,97	23,90	5,21	27,87	—
$\text{Sr}(\text{ДГ})_{0.5}(\text{NO}_3)_2 \cdot 2\text{H}_2\text{O}$	27,04	10,64	3,31	24,53	—	26,70	9,16	3,07	25,60	—
$\text{Sr}(\text{ДГ})_2(\text{NO}_3)_2$	16,65	23,07	5,22	26,31	—	16,60	22,74	4,58	26,55	—



## Результаты физико-химических исследований

Соединения	Молекулярная электропроводность, V-1000 л, t -25°C	pH	Температура плавления, °C
Mg(ДГ) <sub>1,5</sub> Cl <sub>2</sub> ·2H <sub>2</sub> O	268	6,1	210
Ca(ДГ) <sub>1,5</sub> Cl <sub>2</sub> ·3H <sub>2</sub> O	272	6,5	225
Ca(ДГ) <sub>2</sub> Cl <sub>2</sub>	278	6,4	235
Sr(ДГ) <sub>2</sub> Cl <sub>2</sub> ·2H <sub>2</sub> O	265	5,8	203
Ba(ДГ) <sub>1,5</sub> Br <sub>2</sub>	268	6,0	189
Mg(ДГ) <sub>2</sub> (NO <sub>3</sub> ) <sub>2</sub> ·4H <sub>2</sub> O	264,5	5,8	80
Ca(ДГ) <sub>2</sub> (NO <sub>3</sub> ) <sub>2</sub> ·H <sub>2</sub> O	282	5,9	182
Sr(ДГ) <sub>0,5</sub> (NO <sub>3</sub> ) <sub>2</sub> ·2H <sub>2</sub> O	283	5,7	170
Sr(ДГ) <sub>2</sub> (NO <sub>3</sub> ) <sub>2</sub>	274	5,75	159

## ЭКСПЕРИМЕНТАЛЬНАЯ ЧАСТЬ

**Mg (ДГ)<sub>1,5</sub>Cl<sub>2</sub>·2H<sub>2</sub>O**

0,67 г MgCl<sub>2</sub>·6H<sub>2</sub>O и 0,534 г дигидразидглутаровой кислоты при нагревании растворялись порознь в минимальном количестве диметилформамида и растворы смешивались. Смесь нагревали до выделения белого мелкокристаллического осадка, который отфильтровывался в горячем виде (в холодном диметилформамиде соединение быстро растворяется) и промывался смесью спирта и эфира. Соединение хорошо растворимо в воде и спирте.

**Ca (ДГ)<sub>1,5</sub>Cl<sub>2</sub>·3H<sub>2</sub>O**

0,73 г CaCl<sub>2</sub>·6H<sub>2</sub>O и 0,534 г C<sub>5</sub>H<sub>12</sub>N<sub>4</sub>O<sub>2</sub> растворяли в 20 мл воды. К раствору добавляли 30 мл этанола. Через 20—30 часов выпадали белые блестящие кристаллы. Соединение легко растворимо в воде и слабо в этиловом спирте.

Комплексная соль Ba(ДГ)<sub>1,5</sub>Br<sub>2</sub> получена аналогичным методом. Изучена термическая устойчивость соединения Ca(ДГ)<sub>1,5</sub>Cl<sub>2</sub>·3H<sub>2</sub>O. На термограмме (рис. 1а) первый эндотермический эффект при 125° соответствует удалению одной молекулы воды, причем убыль массы составляет 3,80% (теоретическое значение 4,44%). Второй эндотермический эффект при 165° обусловлен потерей второй и третьей молекул воды. Убыль массы 13,88% (теоретическое значение 13,30%). Дальнейшее нагревание образца приводит к ступенчатому отщеплению лиганда: при 250—380° соединение теряет половину молекулы лиганда (убыль массы 32,22%), при 435—490° одну молекулу лиганда (убыль массы 52,77%) и при экзотермическом эффекте при 570° соединение окисляется и разлагается с образованием CaCl<sub>2</sub>. Убыль массы 71,11% (теоретическое значение 71,61%).

**Ca(ДГ)<sub>2</sub>Cl<sub>2</sub>**

0,8 г дигидразидглутаровой кислоты растворяли в 50 мл горячего диметилформамида. В раствор вводили 0,547 г кристаллического CaCl<sub>2</sub>·6H<sub>2</sub>O. При остывании выделялись белые игольчатые кристаллы, которые промывались спиртом и эфиром. На дифференциальной кривой нагревания Ca(ДГ)<sub>2</sub>Cl<sub>2</sub> (рис. 1б) первый эндотермический эффект при 260° соответствует удалению двух молекул гидразина. Убыль массы составляет 14,61% (теоретическое значение 14,39%). В пределах температур 475—600° соединение полностью разлагается с образованием CaCl<sub>2</sub>. Убыль массы составляет 74,35% (теоретическое значение 74,26%).

$\text{Sr}(\text{ДГ})_2\text{Cl}_2 \cdot 2\text{H}_2\text{O}$

Соединение получается взаимодействием хлорида стронция и дигидразидглутаровой кислоты при соотношениях 1:1, 1:2, 1:3 как в водно-спиртовой среде, так и в среде диметилформамида.

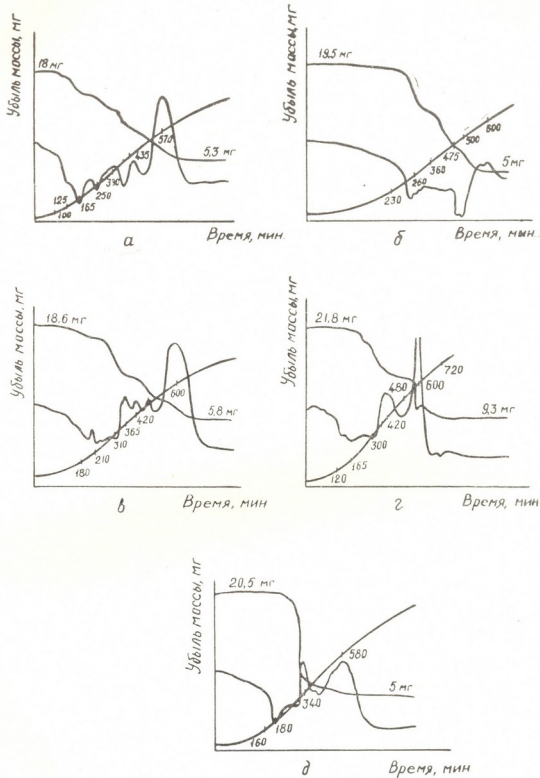


Рис. 1. Термограммы: а— $\text{Ca}(\text{ДГ})_{1.5}\text{Cl}_2 \cdot 3\text{H}_2\text{O}$ , б— $\text{Ca}(\text{ДГ})_2\text{Cl}_2$ , в— $\text{Sr}(\text{ДГ})_2\text{Cl}_2 \cdot 2\text{H}_2\text{O}$ , г— $\text{Sr}(\text{ДГ})_{0.5}(\text{NO}_3)_2 \cdot 2\text{H}_2\text{O}$ , д— $\text{Sr}(\text{ДГ})_2(\text{NO}_3)_2$

На термограмме  $\text{Sr}(\text{ДГ})_2\text{Cl}_2 \cdot 2\text{H}_2\text{O}$  (рис. 1в) имеются два эндотермических и множество экзотермических эффектов. При 180° и 210° постепенно удаляются две молекулы воды. При 365—420° начинается от-

щепление лиганда, а при  $600^{\circ}$  комплекс окисляется и разрушается образованием хлорида стронция. Убыль массы составляет 68,80% (теоретическое значение 69,20%).

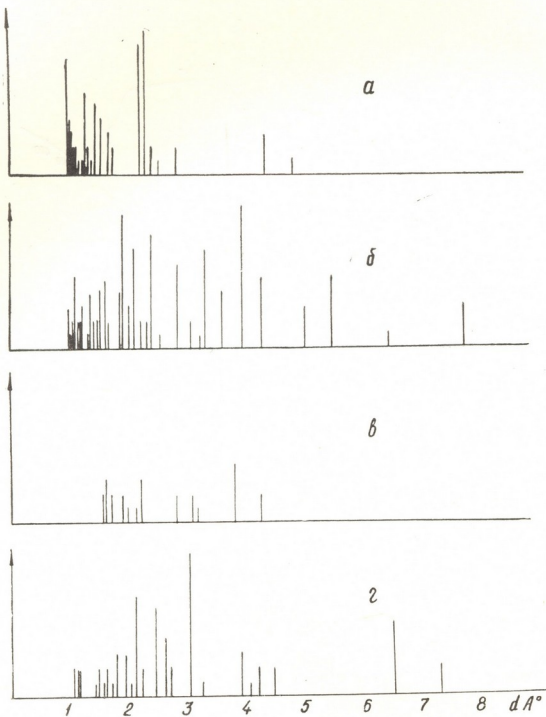


Рис. 2. Штрихдиаграммы: а— $\text{Sr}(\text{ДГ})_{0,5}(\text{NO}_3)_2 \cdot 2\text{H}_2\text{O}$ , б— $\text{Mg}(\text{ДГ})_2(\text{NO}_3)_2 \cdot \text{H}_2\text{O}$ , в— $\text{Sr}(\text{ДГ})_2(\text{NO}_3)_2$ , г— $\text{Sr}(\text{ДГ})_2\text{Cl}_2 \cdot 2\text{H}_2\text{O}$

### $\text{Sr}(\text{ДГ})_{0,5}(\text{NO}_3)_2 \cdot 2\text{H}_2\text{O}$

2,837 г  $\text{Sr}(\text{NO}_3)_2 \cdot 4\text{H}_2\text{O}$  растворяли в 30 мл спирта и 0,8 г  $\text{C}_5\text{H}_{12}\text{N}_4\text{O}_2$  в 50 мл спирта. Растворы нагревали и смешивали, при этом выделялся белый кристаллический осадок, который промывался спиртом и эфиром и сушился на воздухе.

На кривой нагревания  $\text{Sr}(\text{ДГ})_{0,5}(\text{NO}_3)_2 \cdot 2\text{H}_2\text{O}$  (рис. 1г) при температуре  $120^\circ$  наблюдается эндотермический эффект без убыли массы, соответствующий плавлению соли. При  $165^\circ$  удаляется кристаллизационная вода. Убыль массы  $6,42\%$  (теоретическое значение  $5,81\%$ ). В

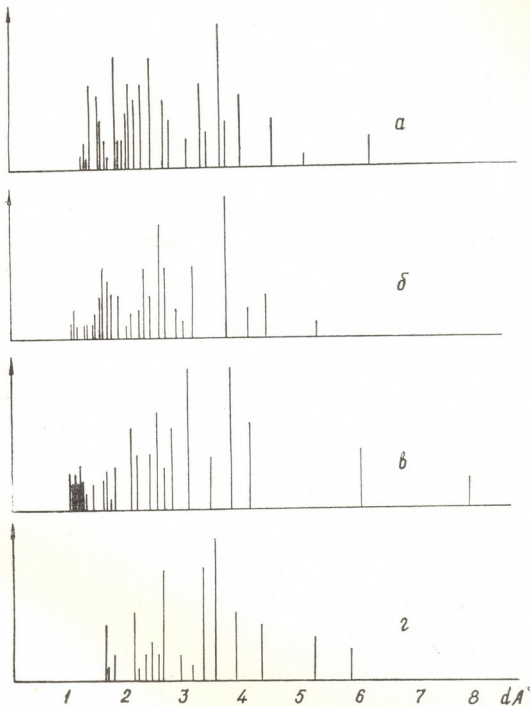


Рис. 3. Штрихдиаграммы: а— $\text{Mg}(\text{ДГ})_{1,5}\text{Cl}_2 \cdot 2\text{H}_2\text{O}$ , б— $\text{Ca}(\text{ДГ})_{1,5}\text{Cl}_2 \cdot 3\text{H}_2\text{O}$ , в— $\text{Ca}(\text{ДГ})_2\text{Cl}_2$ , г— $\text{Ca}(\text{ДГ})_2(\text{NO}_3)_2 \cdot \text{H}_2\text{O}$

интервале температур  $420$ — $500^\circ$  соединение разлагается с образованием  $\text{SrO}$ . Убыль массы составляет  $31,65\%$  (теоретическое значение  $31,67\%$ ).

### $\text{Sr}(\text{ДГ})_2(\text{NO}_3)_2$

2,837 г  $\text{Sr}(\text{NO}_3)_2 \cdot 4\text{H}_2\text{O}$  и 3,2 г  $\text{C}_5\text{H}_{12}\text{N}_4\text{O}_2$  растворяли в 40 мл воды. К раствору по каплям, при постоянном помешивании, до помутнения

раствора добавляли этиловый спирт. Смесь при комнатной температуре отставали в продолжение 48 часов. Образовавшееся крупнокристаллическое прозрачное вещество промывали спиртом и эфиром.

Аналогичным методом получен комплекс  $\text{Ca}(\text{ДГ})_2(\text{NO}_3)_2 \cdot \text{H}_2\text{O}$ . Из термограммы  $\text{Sr}(\text{ДГ})_2(\text{NO}_3)_2$  (рис. 1д) видно, что эндотермический эффект при  $180^\circ$  не влечет за собой изменения массы и отвечает плавлению соли (что подтверждается результатом визуального наблюдения процесса нагревания  $\text{Sr}(\text{ДГ})_2(\text{NO}_3)_2$ ). При  $340^\circ$  отмечен значительный экзотермический эффект, соответствующий окислению и отщеплению обеих молекул дигидразидглутаровой кислоты. Убыль массы составляет 60,46% (теоретическое значение 60,68%).

### $\text{Mg}(\text{ДГ})_2(\text{NO}_3)_2 \cdot \text{H}_2\text{O}$

1,282 г  $\text{Mg}(\text{NO}_3)_2 \cdot 6\text{H}_2\text{O}$  и 1,6 г  $\text{C}_5\text{H}_{12}\text{N}_4\text{O}_2$  растворяли в 50 мл этанола. В раствор постепенно добавляли этиловый эфир до полного выделения осадка, который промывали эфиrom и сушили в вакуум-термостате при температуре  $40^\circ$ . Соль гигроскопична и хорошо растворима в спирте и диметилформамиде.

Для синтезированных соединений получены дебаеграммы, показывающие, что все рассмотренные соединения являются кристаллическими. На рисунках 2 и 3 приведены штрихдиаграммы исследованных соединений.

Обменные реакции синтезированных соединений с  $\text{KBr}$  и  $\text{KJ}$  протекают во внешней сфере с образованием новых комплексных соединений, содержащих в качестве анионов бром и иод, что свидетельствует о прочной связи дигидразидглутаровой кислоты с центральным ионом.

Институт неорганической химии и  
электрохимии АН ГССР

Поступило 12.VI.1974

Б. 8032, З. 808070, З. 808070

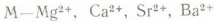
გლუთარის მეთას დიადრაზიდთან ტუტების ლითონიას  
კომპლექსების სინთეზი და შესავალი

### რ ე ზ ი უ ბ ე

შესწავლილია ტუტების ლითონების ქლორიდებისა და ნიტრატების ურთიერთქმედების რეაქციები გლუტარის მევას დიპილტაზიდთან ( $\text{H}_2\text{N}-\text{HN}-\text{CO}-(\text{CH}_2)_3-\text{CO}-\text{NH}-\text{NH}_2$ ) სპირტ-წყალსნარში და დიმეთილფორმალდიდის გარემოში. გამოყოფილია და შესწავლილია შემდეგი ტიპის ნაერთები:



სადაც



მოცემულია ქიმიური ანალიზის, მოლეკულური ელგამტარობის, ლლობის ტემპერატურების, დებაგრამების და თერმული კვლევის შედეგები.

მოლეკულური ელგამტარობის მონაცემებით ნაერთები მიეკუთვნება განაკვეთის სამინისტროს ელექტროლიტებს. თერმოგრაფიული ანალიზის მეთოდით დადგენილია, რომ ნაერთები განიცდიან დეპიდრატაციას  $125^{\circ}$ — $200^{\circ}$  ზე, პროცესი მიმდინარეობს საფეხურებრივად. გაუწყლოებული კომპლექსების შემდგომი გახურებით  $300^{\circ}$ — $600^{\circ}$  ტემპერატურის ფარგლებში ძირითადად იშლებან  $\text{MX}_2$ -ის წარმოქმნით. დებაეგრამებით დადგენილია სინთეზირებულ ნაერთთა ინდივიდუალობა.

N. N. VEKUA, P. V. GOGORISHVILI, V. N. GAPRINDASHVILI

## SYNTHESIS AND STUDIES OF COMPLEX COMPOUNDS OF ALKALI-EARTH METALS WITH DIHYDRAZIDGLUTARIC ACID

### Summary

Reactions of interactions of chlorides and nitrates of alkali-earth metals with dihydrazidglutaric acid  $\text{H}_2\text{N}-\text{HN}-\text{CO}-(\text{CH}_2)_3-\text{CO}-\text{NH}-\text{NH}_2$  (DG) were studied in aqueous—ethanol and dimethyl formamide media. The compounds of the type  $M(\text{DG})_{1-5}\text{X}_2 \cdot n\text{H}_2\text{O}$ ;  $M(\text{DG})_{1-5}\text{X}_2 \cdot n\text{H}_2\text{O}$ ;  $M(\text{DG})_2 \cdot \text{X}_2 \cdot n\text{H}_2\text{O}$ , where  $M=\text{Mg}^{2+}$ ,  $\text{Ca}^{2+}$ ,  $\text{Sr}^{2+}$ ,  $\text{Ba}^{2+}$ ;  $\text{X}=\text{Cl}^-$ ,  $\text{Br}^-$ ,  $\text{NO}_3^-$  are isolated and characterized. The results of chemical and thermal analysis, of studies of molecular electrical conductivity, melting temperatures and Debyegrams are given. According to the data on electrical conductivity these compounds are considered to be three ion electrolytes. It is established by the method of TGA that the compounds begin to dehydrate at  $125$ — $200^{\circ}$ , this process proceeds by steps. At the further heating dehydrated complexes are decomposed, basically, with the formation of  $\text{MX}_2$  within the temperature range  $300$ — $600^{\circ}$ .

### ЛІТЕРАТУРА — REFERENCES

1. Гогоришвили П. В., Векуа Н. Н., Гаприндашвили В. Н., Исследования в области химии комплексных и простых соединений некоторых переходных и редких металлов, Вып. 2, Изд. «Механичеса», Тб., 117—121, 1974.
2. Кост А. И., Сагитуллин Р. С., Усп. химии, 33, 361 (1964).
3. Щукина М. Н., Сычева Т. П., Хим. наука и промышленность, 4, 419 (1956).
4. Dutta Ahmed, Mandal K. and Ray Chauhantri, J. of Inorganic and Nuclear Chemistry, 28, № 12, 2951—53 (1966).
5. Dutt N. K. and A. Sen Gupta, J. of Inorganic and Nuclear Chemistry, 33, № 12, 4185—89 (1971).
6. Supp G. K., Anal. Chem., № 1—5, 981 (1968).

УДК 546.666:547.461.2

Е. Г. ДАВИТАШВИЛИ, М. Е. МОДЕБАДЗЕ, Н. Г. ШЕЛИЯ

## О КОМПЛЕКСНЫХ ОКСАЛАТАХ ЭРБИЯ

Данные литературы о комплексных оксалатах эрбия весьма ограничены. Имеются сведения [1] о растворимости нормального оксалата эрбия в растворах  $KClO_4 + K_2C_2O_4$  при постоянной ионной силе  $\mu=0,1$  и переменной концентрации  $K_2C_2O_4$ . Вычислены термодинамические константы нестойкости предполагаемых в растворе комплексных ионов  $[ErC_2O_4]^+$ ,  $[Er(C_2O_4)_2]^-$  и  $[Er(C_2O_4)_3]^{3-}$ , равные  $K_1=1,5 \cdot 10^{-5}$ ;  $K_2=6,2 \cdot 10^{-9}$ ;  $K_3=9,4 \cdot 10^{-11}$  соответственно.

Продолжая изучение механизма реакций между солями редкоземельных элементов и оксалатами щелочных металлов в водных растворах [2—7], была поставлена задача определить состав и области существования малорастворимых продуктов взаимодействия нитрата эрбия с  $M_2C_2O_4$ . С этой целью были исследованы изомолярные серии смесей растворов  $Er(NO_3)_3 \cdot 6H_2O$  и  $M_2C_2O_4$  (где  $M=Li^+, Na^+, K^+, Cs^+, NH_4^+$ ) методом остаточных концентраций по И. В. Тананаеву, а также путем измерения pH жидкой фазы смесей.

Концентрация исходных растворов оксалатов щелочных металлов и аммония определялась объемным методом с помощью перманганата калия. Титр исходного раствора нитрата эрбия устанавливался весовым оксалатным методом.

Приготовление рабочих смесей, а также методики исследования и химического анализа описаны в [2].

После установления равновесия анализировали жидкую фазу, а в некоторых случаях и воздушно-сухие твердые фазы.

Анализ жидкой фазы включал определение pH среды и остаточных концентраций эрбия и  $C_2O_4^{2-}$ -ионов. В твердой фазе кроме этих ионов определялись также щелочной металл и кристаллизационная вода.

Растворимость в системах  $Er(NO_3)_3 - M_2C_2O_4 - H_2O$  ( $25^\circ C$ ) изучали при постоянном содержании эрбия 0,02 г-ион/л и изменяющихся соотношениях исходных компонентов ( $n=M_2C_2O_4:Er(NO_3)_3$ ) от 0,5 до 30.

Термическое разложение этих соединений изучалось в атмосфере воздуха на саморегистрирующем пирометре Н. С. Курнакова с одновременной записью дифференциально-термической и термогравиметрической кривых нагревания. Скорость нагрева 10 град/мин. Для расшифровки термограмм производился химический анализ промежуточных продуктов нагревания.

Данные по растворимости в системе  $Er(NO_3)_3 - Li_2C_2O_4 - H_2O$  ( $25^\circ C$ ) приведены в таблице 1. Как показывают значения  $n_1$  (отношение  $C_2O_4^{2-}:Er^{3+}$  в осадке) реакция между нитратом эрбия и оксалатом

лития протекает в три стадии. На первой стадии при  $n=0,5-1,5$  происходит осаждение эрбия в виде нормальной соли  $[Er_2(C_2O_4)_3 \cdot xH_2O]$ ; вторая стадия ( $1,5 < n \leq 2,5$ ) характеризуется образованием твердых фаз переменного состава, в которых по мере увеличения  $n$  возрастает доля оксалата лития. При  $n \geq 2,75$  заканчивается формирование соединений постоянного состава с отношением оксалата к эрбию, равным 2 и отвечающим формуле  $Li[Er(C_2O_4)_2] \cdot xH_2O$ . Как показывают значения  $n_1$  и химический анализ твердых фаз, состав комплексной соли не изменяется от  $n=2,75$  до  $n=20$ . От  $n=2,5$  в равновесном растворе обнаруживаются ионы эрбия, что свидетельствует о растворимости диоксалатоэрбиата лития в избытке осадителя. При  $n=20$  все взятое количество эрбия находится в растворе в виде  $Li_3[Er(C_2O_4)_3]$ .

Таблица 1

Растворимость и состав твердых фаз в системе  $Er(NO_3)_3 - Li_2C_2O_4 - H_2O$  ( $25^\circ C$ )

$\frac{Li_2C_2O_4}{Er(NO_3)_3}$ в исходной смеси	Найдено в равновесном растворе, г-ион/л $\times 100$		$n_1 = \frac{C_2O_4^{2-}}{Er^{3+}}$ в твердой фазе	Состав твердой фазы	
	$Er^{3+}$	$C_2O_4^{2-}$			
0,50	1,37	0,07	1,47	5,1	
1,00	0,67	0,03	1,48	5,3	
1,50	—	—	1,50	5,8	
2,00	—	0,90	1,55	7,5	
2,50	0,05	1,52	1,78	7,5	
2,75	0,06	1,63	2,00	7,5	
3,00	0,07	2,16	1,99	7,6	
8,00	0,47	12,91	2,01	7,6	
14,00	1,31	26,57	2,07	7,6	
20,00	2,00	40,00	—	7,6	

Ниже приводятся результаты химического анализа (средние значения) твердых фаз, выделенных из раствора при  $n=3,0$  и  $8,0$ .

Найдено, %:  $Er^{3+} - 37,81$ ;  $C_2O_4^{2-} - 39,82$ ;  $Li^+ - 1,64$ ;  $H_2O - 20,38$ .

Вычислено для  $Li[Er(C_2O_4)_2] \cdot 5H_2O$ , %:

$Er^{3+} - 37,99$ ;  $C_2O_4^{2-} - 39,88$ ;  $Li^+ - 1,57$ ;  $H_2O - 20,44$ .

На термограмме диоксалатоэрбиата лития (рис. 1а) наблюдаются два эндотермических эффекта при  $130$  и  $230^\circ C$ , отвечающие потере 3-х и 2-х молекул воды соответственно, и один экзотермический эффект при  $400-520^\circ C$ , соответствующий разложению соли с постепенным превращением в оксалато-карбонатные и окси-карбонатные промежуточные соединения. Нагревание образца до  $\sim 700-800^\circ C$  приводит к образованию  $LiErO_2$  (потеря массы по анализу составляет 51,47%, вычислено — 53,16%).

В результате исследования системы  $Er(NO_3)_3 - M_2C_2O_4 - H_2O$  ( $25^\circ C$ ), где  $M = Na^+$ ,  $NH_4^+$  (табл. 2) установлено образование нормального —  $Er_2(C_2O_4)_3 \cdot xH_2O$  и комплексного —  $M[Er(C_2O_4)_2] \cdot xH_2O$  оксалатов эрбия. Образование нормального оксалата эрбия начинается при  $n=0,5$  и заканчивается при  $n=1,5$ . Далее реакция протекает в твердой фазе; избыток осадителя, взаимодействуя с образовавшимся нормальным оксалатом эрбия, превращает его сначала в смешанные соли переменного состава ( $2 \geq n \geq 1,5$ ), а от  $n=2$  до исследованных концентраций ( $n=10$ ) состав твердой фазы отвечает формуле —  $M[Er(C_2O_4)_2] \cdot xH_2O$ . Дальнейшее увеличение  $n$  не влияет на состав

комплексных солей (что подтверждается постоянством  $n_1$ ), но, начиная от  $n=8$ , происходит растворение  $M[Er(C_2O_4)_2] \cdot xH_2O$  в избытке осадителя.

Для подтверждения данных, полученных по методу остаточных концентраций, нами были подвергнуты химическому анализу твердые фазы, выделенные в системах при  $n=2,0$  и  $8,0$ .

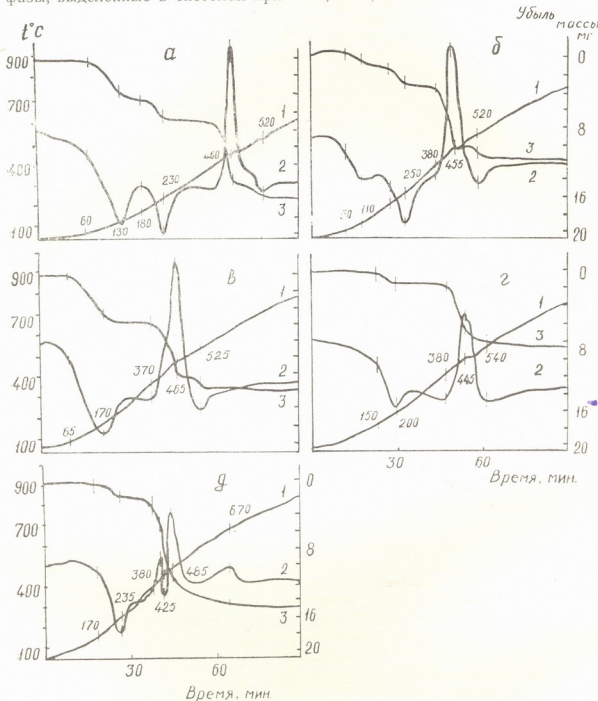


Рис. 1. Термограммы: а— $Li[Er(C_2O_4)_2] \cdot 5H_2O$ , б— $Na[Er(C_2O_4)_2] \cdot 5H_2O$ , в— $K[Er(C_2O_4)_2] \cdot 4H_2O$ , г— $Cs[Er(C_2O_4)_2] \cdot 1,5H_2O$ , д— $NH_4[Fr(C_2O_4)_2] \cdot 1,5H_2O$ . 1— $t^{\circ}C$ ; 2— $\Delta t$ , град; 3—убыль массы, мг.

Ниже приводятся средние значения этих определений.

Найдено, %:  $Er^{3+}$ —36,49;  $C_2O_4^{2-}$ —38,51;  $Na^+$ —5,12;  $H_2O$ —19,66.

Вычислено для  $Na[Er(C_2O_4)_2] \cdot 5H_2O$ , %:

$Er^{3+}$ —36,66;  $C_2O_4^{2-}$ —38,57;  $Na^+$ —5,03;  $H_2O$ —19,72.

Найдено, %:  $\text{Er}^{3+}$ —43,13;  $\text{C}_2\text{O}_4^{2-}$ —45,33;  $\text{NH}_4^+$ —4,68;  $\text{H}_2\text{O}$ —6,85  
Вычислено для  $\text{NH}_4[\text{Er}(\text{C}_2\text{O}_4)_2] \cdot 1,5\text{H}_2\text{O}$ , %:

$\text{Er}^{3+}$ —43,07;  $\text{C}_2\text{O}_4^{2-}$ —45,32;  $\text{NH}_4^+$ —4,64;  $\text{H}_2\text{O}$ —6,95.

Таблица 2

Данные по растворимости и pH в системах  $\text{Er}(\text{NO}_3)_3 - M_2\text{C}_2\text{O}_4 - \text{H}_2\text{O}$  ( $25^\circ\text{C}$ )

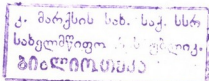
n	Найдено $\text{Er}^{3+}$ в растворе, г-ион/л	$n_1$	pH	Найдено $\text{Er}^{3+}$ в растворе, г-ион/л	$n_1$	pH
	M = $\text{Na}^+$			M = $\text{NH}_4^+$		
0,50	0,0142	1,43	5,8	0,0138	1,50	5,2
1,50	0,0005	1,50	6,1	Не обнаруж.	1,49	5,7
1,75	Не обнаруж.	1,75	6,3	"	1,75	5,9
2,00	"	2,00	6,7	"	2,00	6,3
3,00	"	2,00	7,3	"	2,00	6,3
8,00	0,0004	2,03	7,3	0,0002	1,99	6,5
9,00	0,0005	2,03	7,3	—	—	—
10,00	0,0011	2,02	7,3	0,0005	1,99	6,5
12,00	—	—	—	0,0008	2,00	6,5
	M = $\zeta^+$			M = $\text{Cs}^+$		
0,50	0,0155	1,62	5,3	0,0143	1,49	5,3
1,00	—	—	—	0,0082	1,61	5,3
1,50	0,0053	2,00	5,4	0,0011	1,97	5,4
1,75	0,0028	2,01	5,5	0,0025	1,97	5,4
2,00	Не обнаруж.	2,00	5,7	Не обнаруж.	2,00	5,8
8,00	"	2,03	7,3	0,0004	2,03	6,2
10,00	"	2,04	7,3	—	—	—
20,00	0,0010	2,04	7,3	0,0040	2,08	6,2
30,00	0,0043	2,04	7,3	—	—	—

12.998

При термографическом изучении диоксалатоэрбиата натрия (рис. 1б) установлено, что обезвоживание кристаллогидрата происходит в две стадии: в интервале температур  $50-110^\circ\text{C}$  удаляется  $3\text{H}_2\text{O}$ , а в интервале  $150-250^\circ\text{C}$  оставшиеся  $2\text{H}_2\text{O}$ . Продолжающаяся потеря массы выше  $380^\circ\text{C}$  обусловлена разложением  $\text{Na}[\text{Er}(\text{C}_2\text{O}_4)_2]$  и сопровождается сложным тепловым эффектом — с одной стороны экзотермическим, с максимумом при  $455^\circ\text{C}$ ; с другой — эндотермическим с минимумом при  $520^\circ\text{C}$ . Горизонтальная площадка в области температур  $250-380^\circ\text{C}$  отвечает существованию безводного диоксалатоэрбиата натрия. Конечным продуктом при  $\sim 700-800^\circ\text{C}$  является  $\text{NaErO}_2$ .

Дегидратация  $\text{NH}_4[\text{Er}(\text{C}_2\text{O}_4)_2] \cdot 1,5\text{H}_2\text{O}$  (рис. 1д) происходит при  $170-235^\circ\text{C}$ ; убыль массы при этом составляет 6,85% (теоретически 6,95%). Безводная соль устойчива до  $380^\circ\text{C}$ . При дальнейшем повышении температуры до  $670^\circ\text{C}$  происходит разложение соли с образованием конечного продукта  $\text{Er}_2\text{O}_3$ .

Процесс взаимодействия компонентов в системах с оксалатами калия и цезия отличается от описанного выше для систем  $\text{Li}_2\text{C}_2\text{O}_4$ , а также с  $\text{Na}_2\text{C}_2\text{O}_4$  и  $(\text{NH}_4)_2\text{C}_2\text{O}_4$ . Как видно из таблицы 2, в этих системах уже от  $n > 0,5$  до  $n = 20$   $n_1$  равно не 1,5, как предполагалось, а 2. Следовательно образующееся соединение имеет состав





$K(Cs)[Er(C_2O_4)_2]$ . Образование же нормального оксалата эрбия в этих системах происходит только при  $n \leq 0,5$ .

Растворимость  $K(Cs)[Er(C_2O_4)_2]$  в избытке оксалатов калия и цезия при  $n \leq 20$  незначительна. При  $n=20$  она равна  $1 \cdot 10^{-3}$  г-ион/л  $Er^{3+}$  в системе с  $K_2C_2O_4$  и  $4 \cdot 10^{-3}$  г-ион/л  $Er^{3+}$  в системе с  $Cs_2C_2O_4$ . В насыщенных растворах оксалатов калия и цезия эрбий почти полностью находится в растворе в виде  $K_3(Cs_3)[Er(C_2O_4)_3]$ .

Химический анализ твердых фаз, выделенных из раствора при  $n=2$ , показал следующее:

найдено, %:  $Er^{3+}-36,72$ ;  $C_2O_4^{2-}-38,54$ ;  $K^+-8,65$ ;  $H_2O-16,03$ .

вычислено для  $K[Er(C_2O_4)_2] \cdot 4H_2O$ , %:

$Er^{3+}-36,81$ ;  $C_2O_4^{2-}-38,73$ ;  $K^+-8,60$ ;  $H_2O-15,84$ .

найдено, %:  $Er^{3+}-33,42$ ;  $C_2O_4^{2-}-34,84$ ;  $Cs^+-26,23$ ;  $H_2O-5,27$ .

вычислено для  $Cs[Er(C_2O_4)_2] \cdot 1,5H_2O$ , %:

$Er^{3+}-33,24$ ;  $C_2O_4^{2-}-34,97$ ;  $Cs^+-26,41$ ;  $H_2O-5,36$ .

Изучение термического разложения  $K[Er(C_2O_4)_2] \cdot 4H_2O$  (рис. 1в) показало, что потеря 16,66% массы в интервале температур 65—170°C соответствует удалению 4 молей воды. Безводная соль существует до 370°C, о чем свидетельствует горизонтальная линия на гравиметрической кривой. Нагревание соли при температуре выше 370°C вызывает ее разложение, сопровождающееся экзотермическим эффектом с максимумом 465°C и большой потерей массы, составляющей 46,13% (вычислено для  $KErO_2-47,54\%$ ). Отсюда следует, что при 650—750°C продуктом термического разложения  $K[Er(C_2O_4)_2] \cdot 4H_2O$  является  $KErO_2$ .

При термическом исследовании  $Cs[Er(C_2O_4)_2] \cdot 1,5H_2O$  (рис. 1г) выяснилось, что эндотермический эффект с минимумом 200°C отвечает потере кристаллизационной воды и образованию безводной соли, которая устойчива до 380°C. По данным анализа и расчета по гравиметрической кривой, соль, нагретая до 200°C, теряет 5,27%, что отвечает 1,5 молекулам воды. В интервале температур 380—600°C происходит разложение комплексного оксалата (убыль массы 32,14%) до  $CsErO_2$  (вычисленная для  $CsErO_2$  убыль массы составляет 33,99%).

Институт физической и органической химии им. П. Г. Меликишивили АН ГССР

Поступило 13.VI.1974

О. АЗОТОВА ЗЕНОНА, Б. ЧИЛДА

БИБЛИОГРАФИЧЕСКАЯ СПИСОК УЧЕБНИКОВ

### რ ე ზ ი უ მ ე

ნარჩენი კონცენტრაციებისა და pH-ის გაზომვის მეთოდებით შეცვალილია სისტემები  $Er(NO_3)_3 - M_2C_2O_4 - H_2O$ , სადაც  $M = Li^+, Na^+, K^+, Cs^+, NH_4^+$  ( $25^\circ C$ ). დაფენილია, რომ მორეაგირე ნივთიერებათა ფარდობის, სარეაციო გარემოს pH-ისა და  $M_2C_2O_4$ -ში შემავალი კათიონისაგან დამოკიდებულებით თანამდევრობით წარმოქმნება ერბიუმის ნორმალური —  $Er_2(C_2O_4)_3 \cdot 10H_2O$  და კომპლექსური —  $M[Er(C_2O_4)_2] \cdot xH_2O$  მარილები, რომლებიც ხასიათდებიან განსხვავებული ხსნადობით შესაბამის ტუტე ლითონის ოქსალატის სიჭარბეში. ხსნადობა ლითოუმის ოქსალატში მკვეთრად განსხვავდება სხვა ტუტე ლითონების ოქსალატებში ხსნადობისაგან. ასე, მაგალითად, გამოსავალ ხსნარში მორეაგირე კომპლექსების მაღალ ფარდობაზე ლითოუმის ოქსალატიან სისტემაში ერბიუმის

მთელი აღებული რაოდენობა გადადის ხსნარში, მაშინ, როდესაც ცეზიუმის ოქსალოტიან სისტემაში ამავე ფარდობაზე ხსნარში გადადის მხოლოდ  $4 \cdot 10^{-3}$  გ-იონი/ლ  $\text{Er}^{3+}$ , ანუ ერბიუმის გამოსავალი რაოდენობის 20%.

შესწავლითა M[ $\text{Er}(\text{C}_2\text{O}_4)_2$ ]·xH<sub>2</sub>O თერმული დაშლა თერმოგრაფიული მეთოდით. დადგენილია, რომ ერბიუმის კომპლექსური ოქსალოტების თერმული დაშლა მიმდინარეობს სხვადასხვა სახის აქსლატურ-კარბონატული და ოქსი-კარბონატული შუალედური პროდუქტების წარმოქმნით, რომელთა დაშლის საბოლოო პროდუქტს,  $800^{\circ}\text{C}$ -მდე განურებისას კომპლექსის გარე სფეროში შემავალ კათიონისაგან დამკიდებულებით წარმოადგენს  $\text{M}\text{ErO}_2$  ან  $\text{Er}_2\text{O}_3$ .

E. G. DAVITASHVILI, M. E. MODEBADZE, N. G. SHELIA

### ON COMPLEX OXALATES OF ERBIUM

#### Summary

Using the methods of residual concentrations according to I. V. Tanaev and measurements of concentrations of hydrogen ions, the systems  $\text{Er}(\text{NO}_3)_3 - \text{M}_2\text{C}_2\text{O}_4 - \text{H}_2\text{O}$ , where  $\text{M} = \text{Li}^+, \text{Na}^+, \text{K}^+, \text{Cs}^+, \text{NH}_4^+$  were studied ( $25^{\circ}\text{C}$ ). It is established that depending on the ratio of the reacting components, pH of the reacting medium and cation, entering  $\text{M}_2\text{C}_2\text{O}_4$  in sequence the normal oxalate of erbium— $\text{Er}_2(\text{C}_2\text{O}_4)_3 \cdot x\text{H}_2\text{O}$  and complex salts with the common formula  $\text{M}[\text{Er}(\text{C}_2\text{O}_4)_2]x\text{H}_2\text{O}$ , which are characterized by different solubility in the excess of the corresponding oxalate of alkaline metal. Solubility in lithium oxalate sharply differs from solubility in oxalates of other alkaline metals. Thus, in the original mixture, at the ratio of the reacting components equal to 20, in the system with lithium oxalate, all taken amount of erbium is in the solution, while in the system with cesium oxalate solubility is  $4 \cdot 10^{-3}$  g-ion/1  $\text{Er}^{3+}$ , i.e. 20% of the original erbium amount.

Thermal decompositon of the isolated compounds was studied by the method of thermogravimetry. It is established that thermal decomposition of complex erbium oxalates proceeds in two stages with the gradual delivery of crystallization water (endothermal effects) and oxalate decomposition (exothermal effects) with formation of different oxalate-carbonate and oxo-carbonate intermediate compounds, the final product of decomposition of which, at their heating to  $800^{\circ}\text{C}$  depending on the cation complexes of the external sphere, is  $\text{M}\text{ErO}_2$  or  $\text{Er}_2\text{O}_3$ .

#### ლიტერატურა — REFERENCES

1. Андреева З. Ф., Колосов И. В., Изв. Тимирязевск. с.-х. акад., 1, 212 (1962).
2. Давиташвили Е. Г., Модебадзе М. Е., Сообщения АН ГССР, 39, 2, 305 (1965).
3. Давиташвили Е. Г., Шелия Н. Г., Модебадзе М. Е., Сообщения АН ГССР, 51, 3, 595 (1968).
4. Давиташвили Е. Г., Шелия Н. Г., Модебадзе М. Е., Журнал неорган. химии, 14, 4, 917 (1969).
5. Давиташвили Е. Г., Модебадзе, М. Е., Шелия Н. Г., Журнал неорган. химии, 16, 3, 655 (1971).
6. Давиташвили Е. Г. Модебадзе М. Е., Шелия Н. Г., Сообщения АН ГССР, 63, 1, 73 (1971).
7. Давиташвили Е. Г., Модебадзе М. Е., Шелия Н. Г., Сообщения АН ГССР, 67, 1, 77 (1972).

## ОРГАНИЧЕСКАЯ ХИМИЯ

УДК 547.62:547.65:547.67

Л. Д. МЕЛИКАДЗЕ, Н. Н. СХИРТЛАДЗЕ,  
А. А. ДЗАМУКАШВИЛИ, М. П. ГЕЦАДЗЕ

### СИНТЕЗ 1-МОНОАРИЛПРОИЗВОДНЫХ АДАМАНТАНА

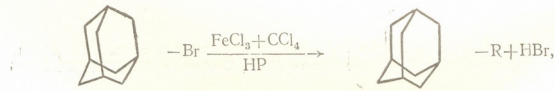
Оmonoарилпроизводных адамантана в литературе имеются весьма ограниченные сведения. Известен лишь 1-фениладамантан [1], полученный взаимодействием 1-бромадамантана с бензолом в присутствии катализатора — сухого треххлористого железа и 1-(п-толил)-адамантан [2], полученный взаимодействием п-толуола с 1-бромадамантаном в присутствии воды без катализатора.

По указанным методам получить другие арилпроизводные адамантана нам не удалось. Вместе с тем они представляют большой научный и практический интерес с точки зрения модельных соединений для исследования вещественного состава нефтий.

В связи с этим, целью настоящей работы являлась разработка нового удобного метода синтеза 1-моноарилпроизводных адамантана.

Проведенными исследованиями установлено, что для получения арилпроизводных адамантана — 1-нафтил-, 1-( $\beta$ -метилнафтил)-, 1-бифенил-, 1-антрил-, 1-фенантрил- и 1-флуорениладамантана, взаимодействием 1-бромадамантана с соответствующими ароматическими углеводородами в присутствии сухого треххлористого железа, решающее значение имеет реакционная среда — растворитель, в котором проводится указанная реакция. Реакция взаимодействия соответствующих реагентов осуществляется только лишь в растворителе, не содержащем атомов водорода, например, четыреххлористом углероде. В бензole, хлороформе и в других водородсодержащих растворителях интересующие нас 1-моноарилпроизводные адамантана не образуются.

Реакция протекает по следующей схеме:



где R-нафтил-, метилнафтил-, бифенил-, антрил-, фенантрил- и флуоренил-. После соответствующей хроматографической очистки и перекристаллизации (из этилового спирта) были получены белые кристаллические вещества со следующими температурами плавления:

1. 1-нафтиладамантан  $t$  пл. = 124—125°C  
2. 1-( $\beta$ -метилнафтил) адамантан  $t$  пл. = 140—142°C

- |                                    |                          |
|------------------------------------|--------------------------|
| 3. 1-( <i>p</i> -бифенил)адамантан | <i>t</i> пл. = 120—122°C |
| 4. 1-(2-антрил)адамантан           | <i>t</i> пл. = 170—171°C |
| 5. 1-(2-фенантрил)адамантан        | <i>t</i> пл. = 146—147°C |
| 6. 1-(2-флуоренил)адамантан        | <i>t</i> пл. = 173—174°C |

Структура вышеуказанных соединений подтверждена элементным анализом, молекулярным весом, ИК- и УФ-спектрами поглощения. Для выяснения места замещения в случае нафтиладамантана в нафталиновом кольце учитывалось то положение, что монозамещенные нафталины в  $\alpha$ -положении имеют в ультрафиолетовом спектре крайнюю длинноволновую полосу поглощения (на длине волн 314  $\text{мкм}$ ), а у нафталинов с заместителями в  $\beta$ -положении эта полоса смешается в сторону более длинных волн и располагается на волне 319—320  $\text{мкм}$  [3]. В нашем случае в УФ-спектре поглощения указанная полоса находится на длине волн равной 314  $\text{мкм}$  (рис. 1), что указывает на то, что адамантан замещает нафталиновое кольцо в  $\alpha$ -положении. Это было подтверждено также ИК-спектрами поглощения. Известно, что в случае замещения нафталинового кольца в  $\alpha$ -положении должны наблюдаться две интенсивные полосы поглощения в интервалах 735—770  $\text{см}^{-1}$  и 750—810  $\text{см}^{-1}$ , а в случае замещения в  $\beta$ -положении полосы поглощения располагаются в интервалах 735—770  $\text{см}^{-1}$  и 810—860  $\text{см}^{-1}$  [4]. В инфракрасном спектре поглощения исследуемого вещества вышеуказанные полосы расположены на частотах 745 и 805  $\text{см}^{-1}$ , что соответствует  $\alpha$ -монозамещенной нафталиновой структуре (рис. 2).

В случае 1-( $\beta$ -метилнафтил)-адамантана в ИК-спектре наблюдаются характерные полосы поглощения как для адамантилового радикала, так

и для  $\beta$ -замещенного нафталинового ядра. Отсутствие полосы поглощения в интервале 735—770  $\text{см}^{-1}$ , которая соответствует четырем соседним незамещенным атомам водорода, указывает на то, что заместители находятся у различных колец нафталиновой структуры. Наличие полос поглощения в интервалах 800—860  $\text{см}^{-1}$  и 860—900  $\text{см}^{-1}$ , которые указывают на присутствие в данном случае атома водорода, находящегося между двумя заместителями, и двух соседних незамещенных атомов водорода, позволяет сделать вывод, что заместители у нафталинового ядра находятся в положении 2 и 7 (рис. 2) [4].

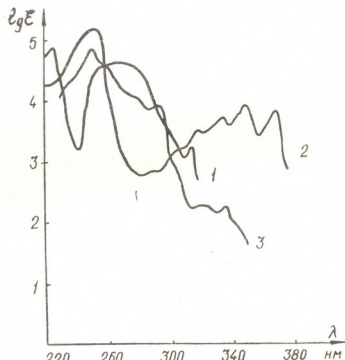


Рис. 1. УФ-спектры поглощения в гексане:  
 1—1-нафтиладамантан, 2—1-(2-антрил)-адамантан,  
 3—1-(2-фенантрил)-адамантан

В ИК-спектре 1-бифениладамантана наблюдаются характерные полосы поглощения как для адамантилового радикала, так и для мещений бифенильной системы. По характеру поглощения в области

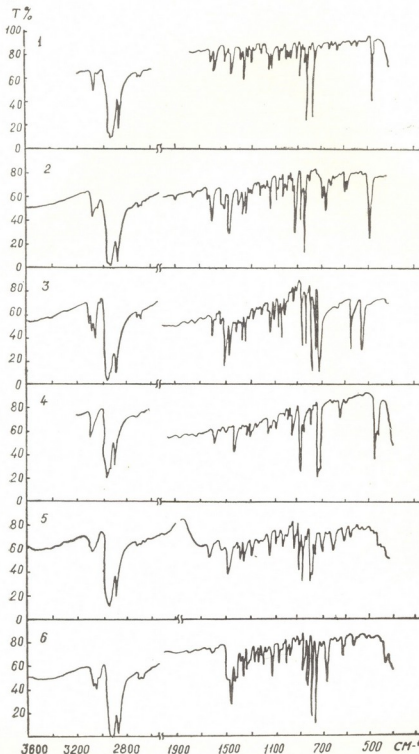


Рис. 2. ИК-спектры: 1—1-нафтиладамантан, 2—1-(7- $\beta$ -метилнафтил)-адамантан, 3—1-(п-бифенил)-адамантан, 4—1-(2-антрил)-адамантан, 5—1-(2-фенантрил)-адамантан, 6—1-(2-флуоренил)-адамантан

700—900 см<sup>-1</sup> можно заключить, что адамантиловый радикал находится в пара- положении (рис. 2) [4].

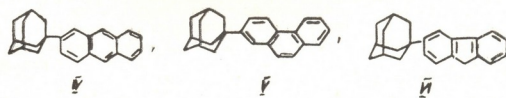
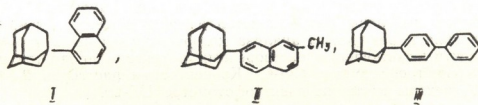
УФ-спектры поглощения 1-антрил- и 1-фенантрил адамантана (рис. 1) соответствуют монозамещенным антрацену и фенантрену. В ИК-спектрах в обоих случаях наблюдаются полосы поглощения, характерные как для адамантилового радикала, так и для монозамещенных антраценового и фенантренового ядер.

По поглощению в области 700—900 см<sup>-1</sup> можно заключить, что заместитель как у антраценового, так и у фенантренового ядер находится в положении 2 (рис. 2) [4].

То же самое наблюдается в случае 1-флуорениладаманта, ИК-спектр которого идентичен со спектром производного флуорена. В спектре наблюдаются как полосы поглощения, характерные для адамантилового радикала, так и полосы соответствующие монозамещенной флуореновой структуре. По полосе поглощения в области 700—900 см<sup>-1</sup> можно утверждать, что заместитель у флуоренового ядра находится в положении 2 (рис. 2) [4].

Таким образом, спектральными исследованиями установлено, что адамантиловый радикал в нафталине замещается в  $\alpha$ -положении, а в других ароматических углеводородах, т. е. в антрацене, фенантрене, флуорене,  $\beta$ -метилнафталине — в  $\beta$ -положении. В бифениле адамантан замещается в пара-положении.

Структуры вышеуказанных соединений можно изобразить следующим образом:



Физико-химические константы синтезированных соединений приведены в таблице 1.

Таблица 1

Данные, характеризующие синтезированные соединения

Наименование синтезированных соединений	Выход, %	Темп. пл., °C	M	Найдено, %		Формула	Вычислено, %	
			найдено	вычисл.	C		C	H
1-нафтиладамантан	33	124—125	250	262	91,30	8,22	C <sub>20</sub> H <sub>22</sub>	91,25 8,74
1-(2-антрил)-адамантан	15	170—171	308	312	92,63	7,41	C <sub>24</sub> H <sub>24</sub>	92,30 7,69
1-(п-бифенил)-адамантан	17	120—122	284	288	91,30	8,58	C <sub>22</sub> H <sub>24</sub>	91,66 8,34
1-( $\beta$ -метилнафтил)-адамантан	20	140—142	271	277	90,70	8,97	C <sub>21</sub> H <sub>25</sub>	90,97 9,02
1-(2-фенантрил)-адамантан	20	146—147	300	312	92,36	8,13	C <sub>24</sub> H <sub>24</sub>	92,30 7,69
1-(2-флуоренил)-адамантан	10	173—174	314	300	91,78	8,30	C <sub>23</sub> H <sub>24</sub>	92,00 8,00

## ЭКСПЕРИМЕНТАЛЬНАЯ ЧАСТЬ

ЗАРУБЕЖНЫЕ  
ИССЛЕДОВАНИЯ

В трехгорловую колбу емкостью 250 мл, снабженную механической мешалкой, обратным холодильником и капельной воронкой, помещали 50 мл сухого четыреххлористого углерода, ароматический углеводород (например, 3 г (0,023 г-мол) нафталина, 3 г (0,021 г-мол)  $\beta$ -метилнафталина, 3,5 г (0,02 г-мол) бифенила, 4 г (0,022 г-мол) антрацена, 4 г (0,022 г-мол) фенантрена или 3,8 г (0,02 г-мол) флуорена) и 1,4 г треххлористого железа. Колбу с содержимым нагревали до кипения четыреххлористого углерода в течение 0,5 часа на водяной бане, после чего по каплям добавляли 5 г 1-бромадаманта, растворенного в четыреххлористом углероде.

После этого реакционную смесь продолжали нагревать в течение 4—5 часов, охлажденную смесь сливали в соляную кислоту, в которую предварительно были опущены кусочки льда. Продукты реакции экстрагировали эфирем, эфирный слой промывали водой до нейтральной реакции и обезвоживали с помощью хлористого кальция. После удаления эфира перегонкой оставшуюся твердую массу растворяли в петролейном эфире (с точкой кипения 40—70°C) и подвергали хроматографической очистке в колонках с окисью алюминия. Целевые продукты содержались во второй фракции элюатов. Первая фракция содержит не вошедший в реакцию 1-бромадамантан, а третья фракция — исходные ароматические углеводороды и адамантан.

После перекристаллизации полученных ариладамантов из этилового спирта выделены белые кристаллические вещества, температура плавления и результаты анализа которых приведены в таблице.

УФ-спектры поглощения растворенных в гексане продуктов изучались на спектрофотометре СФ-4. Концентрация растворов  $2-10^{-3}$  мол/л. ИК-спектры сняты на спектрофотометре UR-20.

Таким образом был синтезирован ряд 1-арилпроизводных адамантана, не описанных в литературе 1-( $\alpha$ -нафтил)-, 1-(7- $\beta$ -метилнафтил)-, 1-( $\pi$ -бифенил)-, 1-(2-антрил)-, 1-(2-фенантрил)- и 1-(2-флуоренил)-адамантан. Взаимодействием указанных углеводородов с 1-бромадамантаном в присутствии треххлористого железа получаются вышеуказанные углеводороды. Установлено, что данная реакция протекает только лишь в среде растворителей, не содержащих водород, и, в частности, в четыреххлористом углероде.

Институт физической и органической химии им. П. Г. Меликишвили АН ГССР

Поступило 31.V.1974

Л. 8040280, 6. 86010280, 5. 82828280, 8. 807080

ადამანტანის 1-არილარილარამოვაულების სინთეზი

რ ე ზ ი უ გ ე

სინთეზირებულია აღმანტანის მთელი რიგი 1-არილწარმოებულები, რომელ ც ლიტერატურაში აჩ არის აღწერილი: 1-( $\alpha$ -ნაფტტილ), -1(7- $\beta$ -მეთილნაფტილ)-, 1-(3-ბიფენილ)-, 1-(2-ანტრილ)-, 1-(2-ფენანტრილ)- და 1-(2-ფლუორენილ)-ადამანტანი 1-ბრომადამანტანის ურთიერთქმედებით შესაბამის არომატულ ნახშირწყალბადებთან სამჯლორიანი რეაქციის თანაბაძისას. დადგინდა, რომ აღნიშნული რეაქცია მიმდინარეობს მხოლოდ არაწყალბადშემცველ გამხსნელში — ოთხლორიან ნახშირბადში. წყაბლადშემცველ გამხსნელების თან-

ობისას, მაგალითად, ბენზოლში, ქლოროფორმში და სხვა, აღნიშნული რეაქციებით მომდინარეობს. ამ ნაერთების სტრუქტურა დადასტურებულია ელემენტური ანალიზით, მოლეკულური წონით, ულტრაინსფერი და ინფრაწითელი შთანთქმის სპექტრებით.

L. D. MELIKADZE, N. N. SKHIRTADZE, A. A. DZAMUKASHVILI,  
M. P. GETSADZE

## SYNTHESIS OF 1-MONOARYLDERIVATIVES OF ADAMANTAN

### Summary

Since very scarce data are available in literature concerning monoaryl-derivatives, the purpose of this work was working out of a new convenient method of 1-monoaryl derivatives of adamantan synthesis.

Studies have shown that to obtain 1-monoaryl derivatives of adamantan—1- $\alpha$ -naphthyl—,  $\beta$ -methylnaphtyl—, 1-biphenyl—, 1-antryl—, 1-phenanthryl—and 1-fluoreniladamantan, by interaction of 1-bromineadamantan with the corresponding aromatic hydrocarbons in the presence of dry-iron trichloride the crucial role has the reaction medium—dissolvent in which the above-mentioned reaction takes place. It is shown that the reaction of interaction of the corresponding components is realized only in the medium of dissolvents not containing hydrogen and, in particular, in carbon tetrachloride. In benzen, chloroform and other dissolvents containing hydrogen, 1-monoaryl derivatives interesting for us are not formed.

Thus, by the above-given method some of 1-monoaryl derivatives of adamantan, not described in literature, were synthesized: such as 1-( $\alpha$ -naphthyl)—, 1-(7- $\beta$ -methylnaphtyl)—, 1-(p-biphenyl)—, 1-(2-antryl)—, 1-(2-phenanthryl)— and 1-(2-fluorenyl)—adamantan. The structure of the above-mentioned compounds was established by the element analysis, molecular weight, UV and IR spectra.

### ლიტერატურა — REFERENCES

1. Stetter H., Schwarz M., Hirschhorn A., Ber., 92, 1629 (1959).
2. Stetter H., Weber J., Wulff C., Ber., 97, 3488 (1964).
3. Friedel R. A. and Orchin M., Ultraviolet spectra of aromatic compounds, New-York, 1951.
4. Беллами Л., Инфракрасные спектры сложных молекул, М., изд. ИЛ., 1963.



УДК 547.269.1

М. К. ГАДЖИЕВ

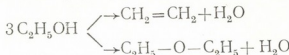
## ПРЕВРАЩЕНИЕ ПЕРВИЧНОГО, ВТОРИЧНОГО, ТРЕТИЧНОГО БУТАНТИОЛОВ И ИЗОБУТАНТИОЛА В ПРИСУТСТВИИ ПРИРОДНОГО АЛЮМОСИЛИКАТА

В работах [1—3] установлено, что природный алюмосиликат гумбрин (Грузинская ССР), в зависимости от температуры превращает тиоспирты алифатического и циклического ряда в соответствующие углеводороды и тиоэфиры с выделением сероводорода.

Известно, что на направление реакции дегидратации спиртов в присутствии контактов влияет не только температурный фактор, но и строение исходных спиртов.

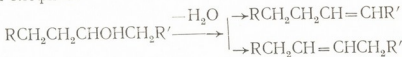
Так, третичные спирты дегидратируются при нагревании с большей скоростью, чем вторичные, а вторичные — быстрее первичных [4].

На примере этилового спирта показано [5], что в зависимости от температуры реакцию можно направить в сторону образования этилена или диэтилового эфира [6].



Простые эфиры из вторичных спиртов получаются с трудом, а из третичных они почти не образуются [4].

Вторичные спирты при дегидратации могут превращаться в два изомерных олефина:



Во многих случаях эта реакция протекает гораздо сложнее из-за вторичных процессов изомеризации.

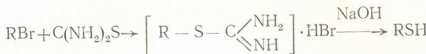
В простейшем случае при дегидратации третичных спиртов с одинаковыми радикалами получается только один изомер:



Для выяснения возможности протекания аналогичной реакции в случае тиоспиртов, в присутствии природного алюмосиликата-гумбрин, подвергались превращению н.бутантиол-1, вторичный бутантиол, третичный бутантиол и изобутантиол.

### ЭКСПЕРИМЕНТАЛЬНАЯ ЧАСТЬ

Первичный бутантиол нормального и изостроения получается в результате следующей реакции:



Вторичный и третичный бутантиолы синтезированы при взаимодействии спирта с тиомочевиной:



Методом газо-жидкостной хроматографии было установлено, что указанные тиоспирты характеризуются 99% чистотой.

Опыты по каталитическим превращениям осуществлялись на установке проточного типа, обеспечивающей практически постоянную температуру в реакционном пространстве и равномерную скорость подачи сырья при атмосферном давлении в среде азота.

100 мл катализатора в виде цилиндрических зерен вводилось в реакционную трубку, где нагревалось при 450°C в токе сухого воздуха пока не прекращалось выделение воды. Во всех опытах использовались свежие образцы катализатора. До и после опытов система в течение 15—20 мин продувалась азотом, очищенным от кислорода и воды.

Сероводород улавливался 25% раствором хлористого кадмия и определялся в виде CdS.

Таблица 1

Результаты превращения первичного, вторичного и третичного бутантиолов и изобутантиола в присутствии природного алюмосиликата при 300°C и объемной скорости 0,1 час<sup>-1</sup>

Наименование тиоспирта	Степень превращения, %	Результаты анализа катализаторов											
		жидкого продукта, % вес.		газообразного продукта, об. %									
		R—SH	R—S—R	Водород	Метан	Пропан	Пропилен	Изобутан	Изобутилен	н. Бутан	н. Бутен-1	Бутен-2	
н. бутантиол-1	59	60,0	40,0	3,1	—	—	—	—	—	33,0	49,6	10,7	3,6
вт. бутантиол	83	99,7	0,3	1,8	5,3	1,5	2,4	3,6	19,8	6,4	0,8	23,0	35,4
трет. бутантиол	100	—	—	1,1	1,8	0,3	8,2	10,2	60,4	—	0,4	12,9	4,7
Изобутантиол	70	64,5	35,5	1,5	0,5	2,0	1,6	4,8	76,1	0,6	0,9	10,0	2,0

Газообразные углеводороды и жидкие катализаторы анализировались на хроматографах ХТ-2М и на УХ-1 по известной методике.

Опыты проводились при температуре 300°C и объемной скорости 0,1 час<sup>-1</sup>. Результаты исследования представлены в таблице 1.

В одинаковых условиях опыта степень превращения н.бутантиола составила 59,0%, вторичного — 83,0%, третичного — 100%, а изобутантиола — 70%.

Сопоставление этих величин показывает, что сульфгидрильная группа отщепляется от первичного тиоспирта труднее, чем от тре-



тичного. С другой стороны, изобутилмеркаптан распадается быстрее, чем первичный и.бутантиол-1 и труднее, чем третичный. Следовательно, на стабильность тиоспирта влияет, главным образом, связь сульфогидрильной группы с первичным и третичным углеродным атомами, а изомеризация скелета играет меньшую роль.

В газообразных продуктах идентифицированы водород, предельные и непредельные углеводороды и их изомеры.

Приношу благодарность академику АН ГССР Х. И. Арешидзе за внимание, проявленное при выполнении данной работы.

Институт физической и органической химии  
им. П. Г. Меликишвили АН ГССР

Поступило 4.VI.1974

### 8. გაველი

3063040, მთარადი, მასაგადი გუთანთიოლების და იზოგუთანთიოლების  
გარდაქმნა გუნდარის ალფასილიკატის თანდასწრებით

### რეზიუმე

შესწავლითა პირველადი, მეორადი, მესამადი ბუთანთიოლების და იზობუთანთიოლის გარდაქმნის რეაქცია ბუნებრივი ალფასილიკატის — გუმბრინის თანდასწრებით  $300^{\circ}\text{C}$  ტემპერატურისა და  $0.1 \text{ л/т}^{-1}$  მოცულობითი სიჩქარის პირობებში. აღნიშნულ ნივთერებათა გარდაქმნები ხატარებულია გამდინარე ტიპის დანადგარზე, რომელიც იძლეოდა სარეაქციო არის პრეტიკულად თანაბარ ტემპერატურას და ნედლეულის მიწოდების თანაბარ სიჩქარეს ატმოსფერულ წნევაზე აზოტის არეში. ყველა ცდის დროს გამოიყენებოდა კატალიზატორის ახალი ნიმუშები.

აირადი ნახშირწყალბადების და თხევადი კატალიზატების ანალიზი ტარდებოდა XT—2M და XY—1 მარკის ქრომატოგრაფებზე ცნობილი მეთოდიყოთ.

თანაბარი პირობების მიუხედავად გარდაქმნების ხარისხი შეადგენდა: ნ-ბუთილთიოლ-I-ის — 59,0%, მეორადის — 83,0%, მესამადის — 100%, ხოლო იზობუთანთიოლისა — 70%. მიღებული სიღიღეების შედარებით ნაჩვენებია, რომ სულფჰიდრილური ჯგუფი პირველადი თოსპირტისაგან უფრო ძნელია წყდება, ვიდრე მესამადისაგან. მეორე მხრივ იზობუთანთიოლი უფრო ძვილება, ვიდრე პირველადი და უფრო ძნელად, ვიდრე მესამადი. ამრიგად, თოსპირტის სტაბილურობაზე ძირითად გავლენას ახდენს სულფჰილური ჯგუფის ბმა პირველადი და მესამადი ნახშირბადის ატმებთან, ხოლო ჩონჩხის იზომერიზაციას უფრო ნაკლები მნიშვნელობა აქვს.

აირადი პროდუქტები შეიცვლენ წყალბადს, ნაფერ და უფერ ნახშირწყალბადებს.

M. K. GADZHIEV

### TRANSFORMATION OF PRIMARY, SECONDARY, TERTIARY, BUTANETHIOLS AND OF ISOBUTANETHIOL IN THE PRESENCE OF NATURAL ALUMINOSILICATE

#### Summary

Reactions of transformation of primary, secondary, tertiary butanethiols and isobutane thiol in the presence of a natural aluminosilicate, gumbrine, have been studied at the temperature of  $300^{\circ}\text{C}$  and the bulk speed

0.1 hour<sup>-1</sup>. Experiments on transformation of studied substances were carried out with the installation of flowing type, providing in fact the constant temperature of reaction space and uniform speed of raw material supply in nitrogen medium at the atmospheric pressure. Fresh samples of the catalyst were used in all the experiments.

Gaseous hydrocarbons and liquid catalysts were analysed in a chromatograph XT—2M and UX—I using the known procedure.

In spite of the same conditions for the experiments, the degree of transformation of n. butanethiol was 59.0%, of the secondary butanethiol—83.0% and of tertiary—100%, while of isobutanethiol—70%. The comparison of the obtained data has shown that sulfohydride group is splitted from the primary thioalcohol with greater difficulty than from the tertiary one. On the other hand, isobutanethiol decomposes easier than primary n. butanethiol and more difficult than tertiary one. Thus, the stability of thioalcohol is influenced mainly by the bond of sulfohydride group with primary and tertiary hydrogen atoms, while isomerization is of less importance. It is shown that gaseous products consist of hydrogen, saturated and unsaturated hydrocarbons.

#### ԾՈՑՈՒՅԹԸՆ — ЛИТЕРАТУРА — REFERENCES

1. Арешидзе Х. И., Гаджиев М. К., Сообщения АН ГССР, 68, 346 (1972).
2. Арешидзе Х. И., Гаджиев М. К., Нефтехимия 14, 1, 135, 1 (1974).
3. Арешидзе Х. И., Гаджиев М. К., Тезисы докладов XII научной сессии по химии и технологии органических соединений серы и сернистых нефтий. Изд. «Зинатне», Рига, 315 (1971).
4. Долгов Б. Н., Катализ в органической химии. Госхимиздат, 451 (1959).
5. Арешидзе Х. И., Киквидзе А. В., Труды Ин-та химии им. П. Г. Меликис-швили АН ГССР, X, 19, 37 (1953).
6. Топчиева К. В., Юн-Пин К., Вестник Московского университета, 12, 39 (1952).

УДК 547.94

Э. З. ДЖАКЕЛИ, К. С. МУДЖИРИ, Ю. Н. ШЕЙНКЕР

## 16-КАРБОКСИГЕРБАВИН ИЗ БАРВИНКА ТРАВЯНИСТОГО, ПРОИЗРАСТАЮЩЕГО В ГРУЗИИ

Из корней барвинка травянистого (*Vinca herbacea* W. K.) нами выделены белые кристаллы с т. пл. 258—260° (метанол), которые дают одно пятно с  $R_f=0,42$  (силикагель КСК, система хлороформ-метанол 9:1,5), положительно реагирующее с реагентом Драгендорфа и не окрашивающееся сульфатом церия.

УФ-спектр соединения ( $\lambda_{\text{max}}$   $\text{CH}_3\text{OH}$  225 нм ( $\lg \varepsilon$  4,02)) характерен для оксиндольных производных.

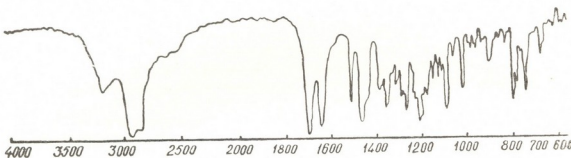


Рис. 1. ИК-спектр 16-карбоксигербавина (вазелиновое масло, спектрофотометр фирмы Perkin—Elmer, модель 457)

ИК-спектр (рис. 1) сходен со спектром алкалоида гербавина [1]; содержит полосы поглощения 3175 (NH), 1685 (амидный карбонил, возможны и другие карбонильные группы), 1635 (двойная связь), 790, 778 и 740  $\text{cm}^{-1}$  (неплоские деформационные колебания CH ароматического кольца). В спектре отсутствует полоса в области 1710—1740  $\text{cm}^{-1}$ , характерная для сложноэфирной группы  $\text{COOCCH}_3$  пентациклических оксиндольных алкалоидов.

В ЯМР-спектре (рис. 2) проявляются все характерные сигналы алкалоидов типа карапанаубина-майдина [2—4], кроме сигнала при 3,60 м. д. обусловленного группировкой  $\text{CH}_3\text{OCO}$  — у C-16. В частности, синглет при 8,32 м. д. (NH), синглет при 7,45 м. д. (протон при C-17), квадруплет при 6,88; 6,81 и 6,51; 6,43 м. д. (орторасположенные ароматические протоны), мультиплет 4,3 м. д. (протон при C-19), дублет с центром при 1,35 м. д. (метильная группа при C-19), интенсивный синглет при 3,80 м. д., обусловленный, по-видимому, двумя метоксилиами бензольного кольца. Последнее предположение подтверждается расщеплением указанного синглета на два сигнала

одинаковой интенсивности при 3,75 м. д. и 3,67 м. д. после добавления к дейтерохлороформному раствору нескольких капель бензола (рис. 3).

В масс-спектре (рис. 4) соединения наблюдаются следующие основные пики: молекулярного иона с  $m/e$  414 (92%), ионов с  $m/e$  399 (3%), 397 (6%), 383 (4%), 370 (4%), 369 (13%), 219 (16%), 209 (100%), 206 (13%), 204 (16%), 194 (19%), 190 (8%), 166 (16%) и 69 (83%).

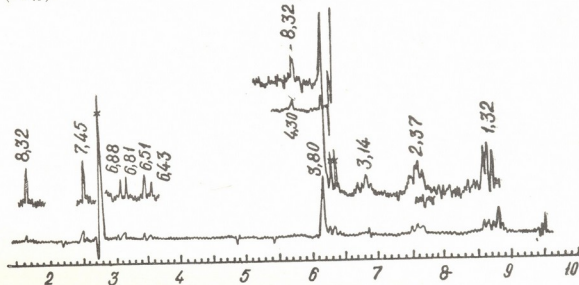


Рис. 2. ЯМР-спектр 16-карбоксигербавина в  $\text{CDCl}_3$  (0—тетраметилсиликат, прибор JNH-4H—100)

На основании сопоставления данных масс-спектров исследуемого соединения и известных оксиндолевых производных, в том числе и алкалоида гербавина [1—5], можно полагать, что пики с  $m/e$  219, 206, 204 и 190 должны соответствовать фрагментам оксиндолевой части молекулы при наличии двух метоксильных заместителей в ароматическом кольце, тогда как пики с  $m/e$  209, 194 и 69—фрагментам алициклической части.

Карапанаубин-майдин и рассматриваемое соединение дают одни и те же фрагменты, соответствующие оксиндолевой части молекулы. Следовательно, разность молекулярных весов карапанаубина-майдина и исследуемого соединения, равная 14, должна быть обусловлена различием в алициклической части молекулы. Наиболее интенсивным пиком в масс-спектрах алкалоидов типа карапанаубина-майдина является пик со значением  $m/e$  223, соответствующий алициклическому фрагменту I. В масс-спектре исследуемого соединения самый интенсивный пик отвечает значению  $m/e$  209, что позволяет предположить для соответствующего фрагмента строение II. В пользу такого выбора

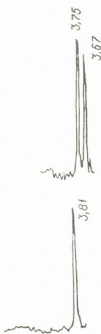


Рис. 3. Часть ЯМР—спектра 16-карбоксигербавина в  $\text{CDCl}_3 + \text{C}_6\text{D}_6$  (0—тетраметилсиликат, прибор JNH-4H—100)

ОТНОСИТЕЛЬНАЯ ИНТЕНСИВНОСТЬ %

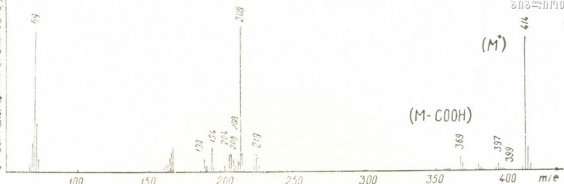
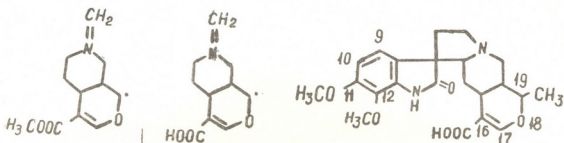


Рис. 4. Масс-спектр 16-карбоксигербавина

структуры для фрагмента с  $m/e$  209 свидетельствует наличие пика с  $m/e$  369, рассматриваемого нами, как результат отщепления карбоксильной группы от молекулярного иона ( $M^+ - COOH$ ). На основании



вышеизложенного мы предполагаем для выделенного соединения структуру III, которая соответствует данным ИК-, ЯМР- и масс-спектров.

В соединении ароматические метоксины должны находиться в положении 11 и 12. Данное решение основано на полном совпадении сигналов ароматических протонов ЯМР-спектров 16-карбоксигербавина с таковыми алкалоида майдина, для которого доказано именно такое расположение указанных заместителей [7].

Институт фармакохимии им. И. Г. Кутателадзе  
АН ГССР

Поступило 7.VI.1974

Օ. ՋԱԳՈՂՅՈ, Տ. ԹԵՂՈՂՅՈ, Ռ. ՑՈՒՆԵՎՈՅՈ

Տարածության գույնական և սպեկտրալ 16-կարբօքազինաթափուն  
ցանցավագան շահագույն գույնական առաջարկություններ

Հ Յ Ց Օ Ց Ց Ց

Տայարական մոխարդությունը գույնական և սպեկտրալ առաջարկությունները նշանակած են բարձր գույնական գույնական առաջարկությունների համար (տ լլ. 258—260°C),  $R_f$ -0,42 (խոհեղեղի սոլոյացըլո ԿԿ, սոլուտը՝  $CHCl_3 - CH_3OH$ , 9:1,5), մոլ. նոհա 414 (թականական պայմաններում) և 225 պմ ( $Ige = 4,02$ ). Օճախական առաջարկությունը առաջարկված է սպեկտրալ մոխարդությունում (առաջարկությունը առաջարկված է սպեկտրալ մոխարդությունում) և առաջարկված է սպեկտրալ մոխարդությունում:



გან განსხვავებით არ შეიცავს C-16 მდგომარეობაში არსებული რთული ეთერის განცემული კერძო განვითარების დამასაცავების ზოლს (1710—1740 სმ<sup>-1</sup>). პროტონული მანიტური რეზონანსის სპექტრის მიხედვით ნივთიერებას უნდა ჰქონდეს ბენზოლის ბირთვში ორი მეთოქსილის ჩამანაცვლებლის შემცველი პენტაცილური ოქსინდოლის სტრუქტურა, სადაც C—16-თან რთული ეთერის განვითარების ნაცვლად წარმოდგენილია კარბოქსილის გაფური. ყოველივე ზემოთ აღნიშნული სრულიად ეთანხმება მასს—სპექტრომეტრული ფრაგმენტაციის ანალიზით მიღებულ შედეგებს.

ნივთიერება გამოყოფილია პირველად, ავლენს მსგავსებას ჩვენს მიერ ამავე მცენარიდან მიღებულ ილკალოიდ ჰერბავინთან, რის გამოც ვუწოდეთ 16-კარბოქსიპენტაცინი.

E. E. JAKELI, K. S. MUDZHIRI, Yu. N. SHEINKER

## 16-CARBOXYHERBAVIN FROM GRASSY PERIWINKLE GROWING IN GEORGIA

### Summary

White crystals with the melting temperature of 258—260°C (methanol),  $R_f=0.42$  (silicagel KSK system of chloroform—methanol 9:1.5), molecular weight 414, UV—spectrum typical for oxindole derivatives ( $\lambda_{\text{max}} \text{CH}_3\text{CH}$  225 nm,  $Ig\epsilon=4.02$ ) were isolated from grassy periwinkle growing in Georgia. IR spectrum resembles those of pentacyclic oxindole alkaloids, but unlike them it has no band caused by ester group at C—16 (1710—1740 cm<sup>-1</sup>). According the data of NMR—spectrum, the compound must have the structure 11, 12 dimethoxy pentacyclic alkaloids, in which instead of ester group, a carbonyl group is found at C—16. The above—said is in complete agreement with the data of the analysis of mass—spectrum. The found difference in the molecular weight of the studied compound and alkaloids of the type of maidin is caused by their difference in the acyclic part of the molecule.

The compound shows a considerable similarity with earlier isolated herbavin (isomer of maidin), differing from it by one methyl group, isolated by us from the same plant, it is called by the authors 16—carboxyherbavin.

### ЛІТЕРАТУРА — REFERENCES

- Джакели Э. З., Муджири К. С., Сообщения АН ГССР, 57, 2 (1970).
- Ягудаев М. Р., Абдурахимова Н., Юнусов С. Ю., ХПС, 3, 197 (1968).
- Абдурахимова Н., Юлдашев П. Х., Юнусов С. Ю., ХПС, 5, 310 (1967).
- Ognyanov J., Pyuskyulev B., Kompiš J., Sticzay T., Shamma M. and Shine R. J., Tetrahedron 24, 13, 4641, 1968.
- Gilbert B., Brissolese J. A., Finch N., Taylor W. I., Budzikiewicz H., Wilson J. M. and Djerassi C., J. Amer. Chem. Soc., 85, 1524 (1963).
- Budzikiewicz H., Djerassi C., Williams D. H., Interpretation of mass spektra of Organic compounds. [2d print], San-Francisco, Holden-Day, 150, 1965.
- Ягудаев М. Р., Маликов В. М., Юнусов С. Ю., ХПС, 1, 70 (1973).
- Химическая серия, т. 1, № 2



УДК 547.915.665.3

Ц. М. ДАЛАКИШВИЛИ, С. Д. ГУСАКОВА, Э. П. КЕМЕРТЕЛИДЗЕ

### ИССЛЕДОВАНИЕ ОМЫЛЯЕМОЙ ЧАСТИ МАСЛА HELLEBORUS ABHASICUS A. Br.

Из корней и корневищ растения *Helleborus abchasicus* A. Br. — «морозник абхазский» было выделено и химически исследовано жирное масло, которое в эксперименте проявляет противоопухолевую активность [1, 2].

Данная работа касается изучения омыляемой части липидов морозника абхазского. Основные методы исследования описаны в [3].

Разделение свободных жирных кислот и триглицеридов осуществляется

Таблица 1

Результаты количественного ГЖХ анализа метиловых эфиров жирных кислот масла м. абхазского

Кислоты	А-ТК	А-ИК	А-К	Б-К
C <sub>7:0</sub>	—	—	—	1,5
C <sub>8:0</sub>	—	1,5	—	0,7
X <sub>1</sub>	0,2	—	—	—
X <sub>2</sub>	0,2	—	—	—
C <sub>9:0</sub>	—	0,3	0,3	0,4
C <sub>10:0</sub>	—	—	0,2	0,2
C <sub>11:0</sub>	—	—	—	0,7
C <sub>13:0</sub>	—	0,3	—	—
Δ?—C <sub>13:1</sub>	—	—	—	0,4
X <sub>3</sub>	—	0,6	—	—
C <sub>14:0</sub>	—	—	—	1
Δ5—C <sub>14:1</sub>	—	—	—	1
C <sub>16:0</sub>	9,3	10,8	9,2	46,6
Δ?—C <sub>16:1</sub>	—	—	—	8,8
Δ?—C <sub>16:2</sub>	—	0,5	—	—
C <sub>17:0</sub>	—	—	—	0,8
Δ8—C <sub>17:1</sub>	—	—	—	0,2
C <sub>18:0</sub>	0,2	0,6	0,3	1,9
Δ9—C <sub>18:1</sub>	5,5	5,1	4,6	11,9
Δ9,12—C <sub>18:2</sub>	82,7	79,4	84,6	23,9
Δ?—C <sub>18:2</sub>	0,8	—	—	—
Δ9,12,15—C <sub>18:3</sub>	1,1	0,9	0,8	—

Обозначения: цифры до двоеточия — число углеродных атомов, после двоеточия — число двойных связей, Δ — положение двойной связи в молекуле кислоты, считая от COOH, x — неидентифицированные фрагменты.

вляли по методу Джетри и др. [4]. Меркурирование метиловых эфиров кислот и препаративное разделение их методом тонкослойной хроматографии (ТСХ) проводили по методу, описанному Штalem [5].

Исследовались параллельно два образца: слабо окисленное (А) и глубоко окисленное (В) масло, полученное соответственно холодной и горячей экстракцией. Из масла А и В выделялись раздельно свободные кислоты (А-СК, В-СК), триглицеридные кислоты (А-ТК, В-ТК) и сумма кислот (А-К, В-К). Поскольку фракции СК и ТК по качественному и количественному составу оказались почти идентичными, то в дальнейшем исследовались лишь А-К и В-К.

Газожидкостную хроматографию (ГЖХ) метиловых эфиров кислот проводили на полярной колонке. Кислоты идентифицировали графическим методом [6–8]. Результаты анализа даны в таблице 1.

Данные ИК-спектрального анализа образцов масел и метиловых эфиров кислот представлены в таблице 2.

Сравнивая данные таблиц 1 и 2, можно сделать вывод, что в масле морозника идет обычный, достаточно изученный процесс свободнорадикального аутоокисления, когда в реакцию с кислородом воздуха вступают соседние C=C атомы углерода молекулы кислоты, образуя на начальных стадиях окисления гидроперекиси, а на более глубоких стадиях — кетопроизводные кислот и продукты их деструкции [9–11].

Масло А содержит значительные количества алкильных (800–900, 1330, 3400–3500 см<sup>-1</sup>) и ацильных (1100–1300, 1755 см<sup>-1</sup>) гидроперекисей. Сильная полоса деформационных колебаний в области 995 см<sup>-1</sup> объясняется транс-положением гидроперекисной группы и транс-транс-сопряженными диенами, появляющимися при аутоокислении [9, 10]. Хотя масло А содержит значительное количество свободных кислот, в его ИК-спектре отсутствует характерная для димеров кислот полоса в области 2500–2700 см<sup>-1</sup>, а полоса деформационных колебаний OH в COOH имеет очень слабую интенсивность. Возможно, это объясняется

образованием ацильных гидроперекисей типа R—C=O  
 $\backslash$   
 O—OH

С увеличением глубины окисления масла (масло В) в ИК-спектре исчезают полосы колебаний перекисных и гидроперекисных групп и появляются колебания, характерные для  $\alpha$ - $\beta$ -ненасыщенных кетонов (1600–1700 см<sup>-1</sup>), свободных кислот (950, 2700–2500 см<sup>-1</sup>), уменьшается интенсивность полос колебаний неокисленных олефинов (3020, 1660, 730 см<sup>-1</sup>). Эти изменения отражаются и на химических показателях: увеличиваются кислотное число, коэффициент рефракции, число омыления, уменьшается йодное число масла. Небольшое снижение йодного числа масла, но значительное уменьшение количества линолевой кислоты C<sub>18:2</sub> (табл. 1) говорит о том, что одна C=C в молекуле кислоты блокирована. Известно, что в области 800–900 см<sup>-1</sup> поглощают как гидроперекисная, так и эпокисная группы [12]. Поскольку эпокиси появляются на более глубоких стадиях окисления, а в масле В поглощение в этой области отсутствует, можно заключить, что образование эпокисей при аутоокислении масла морозника не наблюдается, а сам процесс распада гидроперекисей направлен на образование карбонильных производных кислот.

Сумма А-К разделялась по степени ненасыщенности препартивной ТСХ в виде меркурометокси производных. Получены 3 зоны с Rf 0,09; 0,5 и 0,8. После выделения с адсорбента и регенерации кис-

Результаты ИК-спектрального анализа образцов масел и метиловых эфиров  
жирных кислот масла м. абхазского

Масла А	Полосы поглощения в ИК-спектре см <sup>-1</sup>				Литера- тура
	Мет. эф. А-К	Мет. эф. А-СК	Масло В	Отнесение	
720 с	730 с	730 с	730 с	$\begin{array}{c} \text{H} & \text{H} \\   &   \\ -\text{C}=\text{C}- & , -(CH_2)_4- \\   &   \\ -(\text{CH}_2)_3- & \end{array}$	[12]
760 с	—	—	—	$\begin{array}{c} 0=0 \\   \\ \text{O}-\text{O} \end{array}$ гидроперекиси	[13, 14]
860 сл	855 сл	860 сл	—	$\begin{array}{c} 0=0 \\   \\ \text{O}-\text{O} \end{array}$ гидроперекиси	"
885 сл	885 сл	885 сл	—	$\begin{array}{c} 0=0 \\   \\ \text{O}-\text{O} \end{array}$ гидроперекиси	"
920 сл	925 сл	930 сл	—	$\begin{array}{c} 0=0 \\   \\ \text{O}-\text{H} \text{ в COOH} \end{array}$	[12]
950 сл	—	—	950 сп	$\begin{array}{c} \text{H} \\   \\ -\text{C}=\text{C}-\text{H} \\   \\ \text{изомер} \end{array}$ тр, транс, транс $\begin{array}{c} \text{C}=\text{C}, \\ \text{транс}-\text{OOH} \end{array}$	[12, 15] [9, 12]
995 с	960 сл 1000 сп	960 сп 1000 сп	—	$\begin{array}{c} \text{C}-\text{O} \text{ в COOH} \\ \text{C}-\text{O} \end{array}$	[16] [12]
1020 сп	1030 сп	1030 сл	1030 сл	$\begin{array}{c} \text{C}-\text{O} \\ \text{C}-\text{O} \end{array}$	[12]
1055 сл	—	—	—	$\begin{array}{c} \text{C}-\text{O} \\ \text{C}-\text{O} \end{array}$	[12, 15]
—	1070	—	—	$\begin{array}{c} \text{C}-\text{O} \\ \text{C}-\text{O} \end{array}$	[16]
1110 сл	1110 сп	1110 сл	1100 сл	$\begin{array}{c} \text{C}-\text{O} \\ \text{C}-\text{O} \end{array}$ , $\text{C}-\text{C}$	[12, 15] [16]
1120 сл	—	1120 сл	—	$\begin{array}{c} \text{C}-\text{O} \text{ в COOH} \\ \text{C}-\text{O} \text{ в RCOOR}_1 \text{ перекиси} \end{array}$	[12, 13]
1170 с	1170 с	1180 л	1170 сп	$\begin{array}{c} \text{C}-\text{O} \text{ в RCOOR}_1 \\ \text{C}-\text{O} \text{ в RCOOR}_1 \end{array}$	[12]
1210 сп	1210 с	1210 с	—	$\begin{array}{c} \text{C}-\text{O} \text{ в RCOOR}_1 \\ \text{C}-\text{O} \text{ в RCOOR}_1 \end{array}$	"
1250 сп	1250 сп	1260 сп	1250 сп	$\begin{array}{c} \text{C}-\text{O} \text{ в RCOOR}_1 \\ \text{C}-\text{O} \text{ в COOH} \end{array}$	[13, 17]
1280 сп	—	—	1290 сп	$\begin{array}{c} \text{C}-\text{O} \text{ в RCOOR}_1 \\ \text{C}-\text{O} \text{ в COOH} \end{array}$	[12]
1325 сл	1330 сл	1330 сп	—	$\begin{array}{c} \text{C}-\text{O} \text{ в COOH} \\ \text{C}-\text{O} \text{ в RCOOR}_1 \end{array}$	"
1370 с	1370 сп	1370 сп	1380 сл	$\begin{array}{c} \text{C}-\text{O} \text{ в COOH} \\ \text{C}-\text{O} \text{ в RCOOR}_1 \end{array}$	[12]
—	1390 сп	1390 сп	—	$\begin{array}{c} \text{C}-\text{O} \text{ в COOH} \\ \text{C}-\text{O} \text{ в RCOOR}_1 \end{array}$	"
1400 сл	1410 сл	1410 сл	1410 сп	$\begin{array}{c} \text{C}-\text{C} \\ \text{C}-\text{CH}_3 \end{array}$	[12, 18] [12]
1445 с	1450 с	1450 с	—	$\begin{array}{c} \text{C}-\text{CH}_3 \\ \text{C}-\text{CH}_2 \end{array}$	"
1470 с	1480 с	1480 с	1470	$\begin{array}{c} \text{C}-\text{CH}_2 \\ \text{C}-\text{CH}=\text{CH}_2 \text{ в цикле CO} \end{array}$	[12, 18] "
1600 сл	—	—	1630 сл	$\begin{array}{c} \text{C}-\text{CH}=\text{CH}_2 \\ \text{CO}-\text{CH}=\text{CH}_2, \text{C}=\text{C} \text{ в цикле CO} \end{array}$	[12, 18]
—	—	—	1660 сл	$\begin{array}{c} \text{C}-\text{CH}=\text{CH}_2 \\ \text{CO}-\text{CH}=\text{CH}_2, \text{C}=\text{C} \text{ в цикле CO} \end{array}$	"
1665 сп	1670 сл	1670 сл	1670 сл	$\begin{array}{c} \text{C}-\text{C} \\ \text{C}-\text{CH}=\text{CH}_2 \\ \text{транс} \end{array}$	"
1690 сп	—	—	1690 с	$\begin{array}{c} \text{C}-\text{O} \text{ в COOH} \\ \text{C}-\text{O} \text{ в RCOOR}_1 \end{array}$	"
1710 сп	—	1720 с	1710 с	$\begin{array}{c} \text{C}-\text{O} \text{ в RCOOR}_1 \\ \text{C}-\text{O} \text{ в COOH} \end{array}$	"
1730 с	—	—	1730 с	$\begin{array}{c} \text{C}-\text{O} \text{ в COOH} \\ \text{C}-\text{O} \text{ в RCOOR}_1 \end{array}$	"
1745 с	—	—	—	$\begin{array}{c} \text{C}-\text{O} \text{ в COOH} \\ \text{C}-\text{O} \text{ в RCOOR}_1 \end{array}$	"
—	1755 с	1755 с	—	$\begin{array}{c} \text{R}-\text{C} \\ \diagup \\ \text{O}-\text{OR}_1 \end{array}$	[13]
—	2380 сл	—	—	$\begin{array}{c} \text{R}-\text{C} \\ \diagup \\ \text{O}-\text{OR}_1 \end{array}$ в окисленном олеате	[14]
—	—	—	2500—2700	$\begin{array}{c} \text{R}-\text{C} \\ \diagup \\ \text{O}-\text{H} \cdots \text{O}-\text{CR} \\ \diagdown \\ \text{O}-\text{H} \cdots \text{O} \end{array}$	[12]
2850 с	2870 с	2870 с	2870 с	$\begin{array}{c} \text{C}-\text{O} \text{ в COOH} \\ \text{C}-\text{O} \text{ в RCOOR}_1 \end{array}$	[12]
2940 с	2940 с	2940 с	2940 с	$\begin{array}{c} \text{C}-\text{O} \text{ в COOH} \\ \text{C}-\text{O} \text{ в RCOOR}_1 \end{array}$	"

Полосы поглощения в ИК-спектре см <sup>-1</sup>					Литера-тура
Масла А	Мет. эф. А- $\text{C}_\infty$	Мет. эф. А-С $\text{C}_\infty$	Масло В	Отношение	
2970 с	2970 с	2970 с	2970 с	=CH <sub>3</sub> —	[12]
3010 с	3020 с	3020 с	3015 сл	—CH=CH—	"
—	3150 сл	3120 сл	—	—O—H—O—	[18]
3430 с	3450 сп	3450 сп	3470 сл	—OH, OH в O—OH	[12, 13]
3570 сл	3570 сл	3570 сл	—	OH в O—OH	"

Обозначения: С—сильная, сл—слабая, сп—средняя интенсивность.

лот изучались их физико-химические свойства и продукты окислительной деструкции.

На основании полученных данных нами сделан вывод, что зона с Rf 0,09 содержит смесь циклических перекисей и перэфириров, а зона с Rf 0,8 — смесь гидроперекисей C<sub>18:1</sub>, C<sub>18:2</sub> и моноены.

По данным ГЖХ, ТСХ и Б/Х, зона с Rf 0,5 (диены) содержит C<sub>18:2</sub>. В ИК-спектре наблюдается поглощение изолированной транс-олефиновой связи (980 см<sup>-1</sup>). Окисление JО<sub>4</sub><sup>-</sup>/MnO<sub>4</sub><sup>-</sup> дало в дикарбоновой фракции глутаровую — (2%), пробковую — (1,6%) и азеланиновую — (96,4%) кислоты. В монокарбоновой фракции получены капроновая (84,7%), гептановая (6,3%), каприловая (3,9%) и каприновая (5,1%) кислоты. Наряду с обычной  $\Delta 9,12-\text{C}_{18:2}$  в смеси диенов присутствуют  $\Delta 5,10$ ;  $\Delta 8,10$  и  $\Delta 8,11$ -изомеры линолевой кислоты.

Смесь метиловых эфиров В-К разделялась по степени насыщенности препаративной ТСХ с добавкой 30% AgNO<sub>3</sub>. Получено 6 зон с Rf 0; 0,09; 0,12; 0,3; 0,6 и 0,75. Первые 3 зоны (Rf 0; 0,09; 0,12), по данным ГЖХ, бумажной хроматографии (Б/Х) и окислительной деструкции, представляют собой продукты аутоокисления C<sub>18:1</sub> и C<sub>18:2</sub> различной степени полярности. Зона 6 содержит насыщенные кислоты C<sub>15:0</sub>, C<sub>16:0</sub> и C<sub>18:0</sub>. Зона 4 (диены) содержит 13,6% неидентифицированных компонентов, C<sub>14:0</sub>—1,2%, C<sub>16:2</sub>—29,8%, C<sub>18:2</sub>—55,4%. При деструктивном окислении получены: C<sub>6:0</sub>—57,3%, C<sub>7:0</sub>—4,1%, C<sub>8:0</sub>—2,5%, C<sub>9:0</sub>—15,6%, C<sub>10:0</sub>—3,3%, C<sub>11:0</sub>—17,2% (монокарбоновая фракция) и C<sub>12:0</sub>—0,8%, C<sub>5</sub> ди—2,1%, C<sub>14:0</sub>—1,1%, C<sub>8</sub> ди—3,2%, C<sub>16:0</sub>—2,7%, C<sub>9</sub> ди—90,1%. Зона 4 не содержит окисленных продуктов. Сравнивая результаты анализов, можно сказать, что кроме обычной линолевой кислоты и ее трех изомеров ( $\Delta 5,10-\text{C}_{18:2}$ ,  $\Delta 8,10-\text{C}_{18:2}$  и  $\Delta 8,11-\text{C}_{18:2}$ ), зона 4 содержит  $\Delta 5-\text{C}_{16:1}$  и  $\Delta 5,7-\text{C}_{16:2}$ —кислоты.

Зона 5 (насыщенные+моноены) содержит C<sub>15:0</sub>—0,4%, C<sub>16:0</sub>—67,5%, C<sub>16:1</sub>—2,1%, C<sub>18:1</sub>—30%. При окислительной деструкции получены в дикарбоновой фракции C<sub>15:0</sub>—0,8%, C<sub>16:0</sub>—70,9%, C<sub>9</sub> ди—20%, C<sub>10</sub> ди—0,5%, C<sub>18:0</sub>—3,4%, C<sub>11</sub> ди—4,4%, в монокарбоновой: C<sub>7:0</sub>—5,3%,

$C_{8:0}$ —2,8%,  $C_{9:0}$ —87,5%,  $C_{10:0}$ —4,4%. Итак, в исходной смеси присутствуют  $\Delta 8-C_{18:1}$ ,  $\Delta 9-C_{18:1}$ ,  $\Delta 10-C_{18:1}$ ,  $\Delta 11-C_{18:1}$  и  $\Delta 9-C_{16:1}$ .

Кислоты с  $\Delta 5$  ненасыщенностью найдены в маслах семян семейства Ranunculaceae, Compositae и др., в некоторых бактериальных липидах [11]. Предполагают, что  $\Delta 5$ ,  $\Delta 9$  и  $\Delta 13$ -положение двойной связи в молекуле линолевой кислоты может иметь специальное значение в метаболизме полиненасыщенных кислот.

Трудно объяснимо повышенная способность масла к аутоокислению. Можно предположить, что масло содержит катализатор аутоокисления жирных кислот. Известно, что в растениях содержатся различные вещества, являющиеся либо катализаторами, либо ингибиторами окисления [10], однако, природа и механизм действия этих соединений не определены. Таким образом установлено, что масло обладает повышенной скоростью свободнорадикального аутоокисления, а процесс аутоокисления на глубоких стадиях направлен на образование карбонильных производных и свободных кислот. В слабо окисленном масле, кроме обычных кислот, установлено присутствие 3-х изомеров линолевых кислот с  $\Delta 5,10$ -,  $\Delta 8,10$ - и  $\Delta 8,11$ -положением двойной связи, а в глубокоокисленном масле 4-х изомеров олеиновой ( $\Delta 8$ -,  $\Delta 9$ -,  $\Delta 10$ - и  $\Delta 11-C_{18:1}$ ), 2-х изомеров пальмитолеиновой ( $\Delta 5$ - и  $\Delta 9-C_{16:1}$ ) и  $\Delta 5,7$ -гексадекадиеновой кислот.

Институт фармакохимии им. И. Г. Кутателадзе  
АН ГССР

Поступило 14.VI.1974

С. Азазашвили, Н. Гашвадзе, О. Гомиашвили

აცხაზური ხარისხირას ცხიმის გასაპული ნაწილის შესრულება

### რეზუმე

შესწავლით აფხაზური ხარისხირას სუსტად და ღრმად დაქანგული ცხიმის გასაპული ნაწილი.

თხელფენოვანი, გაზსითხოვანი ქრომატოგრაფიული და ინფრაჭითელი სპექტრული ანალიზების მონაცემების მიხედვით, სუსტად და ღრმად დაქანგულ ცხიმში ცხიმოვანი მჟავების შემცველობის მხრივ თვალსაჩინო განსხვავება შეიძჩევა.

დაგდენილა, რომ აფხაზური ხარისხირას ცხიმში მიმდინარეობს რადიკალების განთავისუფლების თვითდახუანგვის პროცესი ზექანგების, ჰიდროზექანგების, ხოლო უფრო ღრმა სტადიაში კეტონწარმოებულების და მათი დესტრუქციის პროდუქტების წარმოქმნით.

ინდივიდუალური ცხიმოვანი მჟავების გამოყოფა ტარდება  $Hg$  ორგანულ ნაერთების სახით პრეპარატული თხელფენოვანი ქრომატოგრაფიის მეთოდით.

ცხიმოვანი მჟავების დაქანგვის პროდუქტების შესწავლით გაზსითხოვან ქრომატოგრაფიული მეთოდით სუსტად დაქანგულ ცხიმში, გარდა ნორმალური  $\Delta 9$ , 12-ლიონოლის მჟავისა, იდენტიფიცირებულია ლინოლის მჟავას 3 იზომერი ( $\Delta 5,10$ ;  $\Delta 8,10$ ;  $\Delta 8,11$ ); ღრმად დაქანგულ ცხიმში კი ოლეინის მჟავას 4 იზომერი ( $\Delta 8$ ;  $\Delta 9$ ;  $\Delta 10$ ;  $\Delta 11$ ). პლატიტოლეინის მჟავას 2 იზომერი  $\Delta 5$ ,  $\Delta 9$ , და  $\Delta 5,0$ — ჰექსადეკადიენის მჟავა.

Ts. M. DALAKISHVILI, S. D. GUSAKOVA, E. P. KEMERTELIDZE

STUDIES OF THE SAPONIFIED PART OF THE OIL OF  
HELLEBORUS ABCHASICUS A. BR.

Summary

The saponified part of weakly and deeply oxidized oil of roots and rhizome of *Helleborus abchasicus* has been studied.

It has been established by chromatographic and IR methods that the process of free radical autoxidation takes place in the *Helleborus abchasicus* oil, when adjacent C=C carbon atoms of an acid molecule enter the reaction with the air oxygen, forming hydroperoxides at the initial stages of oxidation and at deeper stages ketoderivatives of acids and the products of their destruction.

Using the method of preparative thin layer chromatography and gas—liquid chromatography the products of oxidation of fatty acids have been studied. In a weakly oxidized oil, in addition to the normal  $\Delta 9,12$  linoleic acid, the presence of isomers of linoleic acids with  $\Delta 5,10-$ ,  $\Delta 8,10$  and  $\Delta 8,11$  position of the double bond was established, while in deeply oxidized oil, four isomers of oleic acid  $\Delta 8,-, \Delta 9-, \Delta 10-$  and  $\Delta 11-$ , two isomers of palmitic acid  $\Delta 5-$  and  $\Delta 9$  and  $\Delta 5,7$  of hexadecadienoic acid were found.

ლიტერატურა — REFERENCES

1. Далакишили Ц. М., Кемертелидзе Э. П., Растительные ресурсы, 5, 70 (1970).
2. Далакишили, Ц. М., Кемертелидзе Э. П., Сообщения АН ГССР, 3 (1970).
3. Гусакова С. Д., Умаров А. У., Химия природных соединений, 1, 27, (1972).
4. Jattrie P. H., Bailey R. A., Kortes M., Arch. of Bioch. and Bioph., 78, 319 (1958).
5. Шталь Э., Хроматография в тонких слоях, М., 177, 1965.
6. Ackman R. G., J. Am. Oil Chem. Soc., 40, 558, 1963.
7. Берч菲尔д Т., Сторре Э., Газовая хроматография в биохимии, М., 494, 1964.
8. Haken I. K., J. Chrom., 23, 374 (1966).
9. Ackman R. G., Burgher R. D., J. Chrom., 11, 185 (1963).
10. Хавкинс Э. Д., Органические перекиси, их получение и реакции, М.-Л., 1964.
11. Holman R. T., Progr. in the chem. of Fats and other Lip. Y-9, 1971.
12. Иванов К. И., Промежуточные продукты и промежуточные реакции аутоокисления углеводородов, М.-Л., 1949.
13. Беллами Л., Инфракрасные спектры сложных молекул. М., 1963.
14. Успехи химии органических перекисных соединений и аутоокисления. Под ред. Н. М. Эмануэля. М., 1969.
15. Holman R. T., Progr. in the chem. of Fats and other Lip. Y-2, 1954.
16. Freeman N. K., J. Amer. Oil Chem. Soc., 45, 798 (1968).
17. Руководство по методам исследования, техническому контролю и учету производства в масложировой промышленности, Л., 1, 1967.
18. Mercuri O., Carraroni N. E., Brenner R. R., J. Amer. Oil. Chem. Soc., 41, 89 (1964).
19. O'Connor R. T., J. Amer. Oil. Chem. Soc., 33, 3 (1956).
20. Holman R. T., Progr. in the chem. of Fats and other Lip. Y-8, 1966.

УДК 542.952.6+547.56

Г. Ш. ПАПАВА, Н. А. МАЙСУРАДЗЕ, Л. В. ДУБРОВИНА

## ИССЛЕДОВАНИЕ ГИДРОДИНАМИЧЕСКИХ СВОЙСТВ ПОЛИАРИЛАТОВ С НОРБОРНАНОВОЙ ГРУППИРОВКОЙ В ЦЕПИ

В отличие от ранее исследованных полиарилатов [1], полиарилат на основе терефталевой кислоты и 4,4-(гексагидро-4,7-метилендинан-5-илиден)дифенола (полиарилат Б-VI) имеет объемную норборнановую группировку в мономерном звене. Целью настоящей работы являлось проследить влияние этой группировки на гидродинамические свойства этого полиарилата.

При исследовании зависимости вискозиметрических свойств полиарилатов от строения мономерного звена было замечено, что с увеличением размера боковой группы у центрального углеродного атома бисфенола зависимость характеристической вязкости от молекулярного веса ослабевает. С увеличением  $\Delta M$  ( $\Delta M$  — молекулярный вес замещенной группы у центрального углеродного атома бисфенола) уменьшается величина параметра « $a$ » в уравнении Марка-Куна-Хаувиника [2].

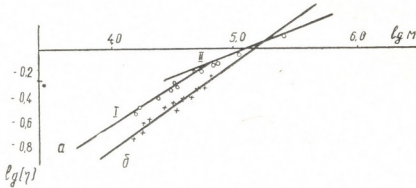


Рис. 1. Зависимость характеристической вязкости от молекулярного веса: а—полимер Б-VI, б—полимер Ф-2

Для сопоставления мы взяли уже исследованный полиарилат Ф-2 (полиарилат на основе хлорангидрида терефталевой кислоты и фенол-фталеина), имеющий почти такую же по молекулярному весу боковую группу, но отличающуюся от норборнановой тем, что она имеет плоское строение.

Сравнивая значение параметров « $a$ » уравнения Марка-Куна-Хаувиника (табл. 1), следует отметить, что у полимера Б-VI этот параметр несколько меньше.

Кроме того, в высокомолекулярной части на рис. 1 четко проявляется прямая II с наклоном « $a$ »=0,43. Наличие двух участков на гра-

фике зависимости  $\lg [\eta] \sim \lg M$  было отмечено ранее [1] и объяснено либо возможным разветвлением, либо изменением конформаций макромолекул.

Известно, что в той области молекулярных весов, где макромолекулярный клубок не является гауссовым, конформационные параметры непостоянны. Именно эту область непостоянства конформационных параметров, очевидно, и захватывают фракции исследованных полимеров (рис. 2). Следовательно, для оценки невозмущенных размеров в

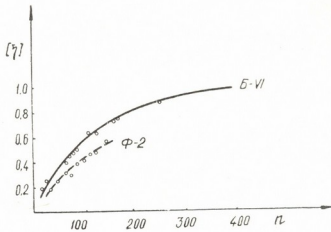


Рис. 2. Зависимость характеристической вязкости от степени полимеризации

Таблица 1

Значения параметров уравнения Марка-Куна-Хаувинка и размеры сегментов полиарилатов

Повторяющееся звено полимера	$M_0$	Параметры уравнения Марка-Хаувинка		Статистический сегмент по Хирсту, $\text{\AA}$	Гидродинамический диаметр, $\text{\AA}$
		$\alpha_{\text{av}}^*$	$K_\eta$		
	448	0,70	$2,42 \cdot 10^{-4}$	30,0	2,7
	450	0,62 0,43**	$7,25 \cdot 10^{-4}$ $6,25 \cdot 10^{-3}$	32,3	5,8

\* Растворитель — тетрахлорэтан

\*\* В диапазоне молекулярных весов от 50000 до 250000

данном случае не применим метод Фиксмана-Штокмайера [3], более распространенный в настоящее время. Поэтому для оценки невозмущенных размеров для полиарилатов Б-VI и Ф-2 мы использовали уравнение Хирста (для персистентных цепей). Исходя из вискозиметрических данных, мы рассчитали размеры статистического сегмента Куна и гидродинамический диаметр по уравнению Хирста [4]:

$$\frac{M}{[\eta]} = \frac{1}{0,43 N_A} \cdot \left[ \left( \frac{M_0}{lA} \right)^{3/2} V \bar{M} + \left( 2,31 \lg \frac{A}{d} - 1,6 \right) \left( \frac{M_0}{l} \right)^2 \frac{1}{A} \right],$$

где  $N_A$ —число Авогадро,  $l$ —контурная длина звена,  $d$ —эффективный гидродинамический диаметр звена,  $A$ —статистический сегмент Куна,  $M_0$ —молекулярный вес звена,  $M$ —молекулярный вес полимера.

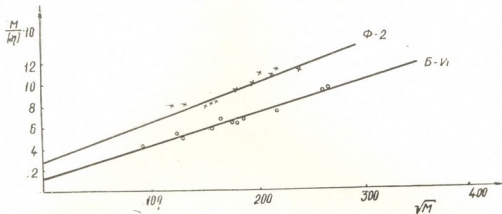


Рис. 3 Зависимость  $\frac{M}{[\eta]} \sim \sqrt{M}$  (по уравнению Хирста)

Как видно из приведенных на рис. 3 и в табл. 1 результатов, размеры сегментов очень близки. На этом основании можно сделать вы-

таблица 2

Результаты фракционирования полиарилата на основе хлорангидрида терефталевой кислоты и 4,4-(гексагидро-4, 7-метилендинан-5-илиден)-дифенола

фракции	$W$ весовая доля	$[\eta]$ дл/гТХЭ	$\bar{M}_n$ светорас.	$\bar{M}_{\eta}$
1	0,0704	0,204	8600	8500
2	0,0618	0,288	15000	14900
3	0,032	0,314	—	17000
4	0,0509	0,324	16400	17900
5	0,0883	0,400	24100	22000
6	0,015	0,403	27400	23400
7	0,0860	0,463	30200	30700
8	0,0582	0,475	31000	33100
9	0,0552	0,490	31700	34800
10	0,0626	0,510	34700	37100
11	0,0609	0,630	47200	52200
12	0,0439	0,640	52700	53500
13	0,069	0,725	67800	68100
14	0,0479	0,740	73700	71500
15	0,0444	0,880	107300	107000
16	0,0455	0,960	168000	131600
17	0,0223	1,000	—	144500
18	0,0525	1,260	246000	248700

$$[\eta] = 0,550; \sum W_i [\eta]_i = 0,556; \sum W_i \cdot M_i = 55200; M_n = 29100;$$

$$\bar{M}_w \text{ (светорассеяние)} = 42700; \frac{\bar{M}_w}{M_n} = 1,4$$

вод, что на термодинамическую жесткость цепей полиарилатов емность заместителей не оказывает существенного влияния.

В то же время более слабая зависимость  $[\eta]$  от  $M$  в случае полиарилата Б-VI является косвенным указанием на большее гидродинамическое взаимодействие звеньев цепи в клубке.

### ЭКСПЕРИМЕНТАЛЬНАЯ ЧАСТЬ

Полиарилат Б-VI был получен высокотемпературной поликонденсацией. Фракционирование образца полимера проводили методом распределения между жидкими фазами. Растворитель — смесь тетрахлорэтана и фенола в соотношении 3:1, осадитель — н-гептан, температура фракционирования  $28 \pm 0,1^\circ\text{C}$ . Характеристические вязкости изме-

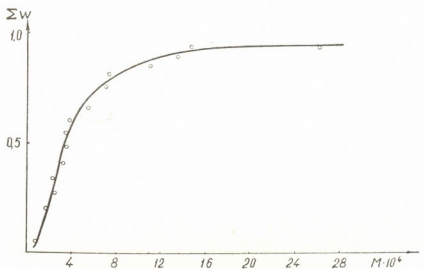


Рис. 4 Кривая молекулярного весового распределения полиарилата Б-VI

ряли в капиллярном вискозиметре с «висячим» уровнем  $20 \pm 0,1^\circ\text{C}$ . Растворитель — тетрахлорэтан (ТХЭ). Молекулярные веса определяли на фотогениодиффузометре фирмы «Sofica», растворитель — хлороформ, инкремент показателя преломления  $\frac{\Delta H}{\Delta C} = 0,163$ . Результаты

фракционирования приведены в табл. 2 и на рис. 4.

Институт физической и органической химии  
им. П. Г. Меликишвили АН ГССР

Поступило 19.VI.1974

გ. პარავანა, ნ. გაისურაძე, ლ. დუბოვიძე

სორიზონანის ჯგუფის შემცველი პოლიარილათების პიდროვინამიური  
თვისებების კვლევა

რ ე ც ი უ გ

შესწავლითა ტერეფტალის მევას და 4,4-(ჰექსაჟიდრო-4,7-მეთილენიძ-ლან-5-ილიდენ) დიფენოლის საფუძველზე მიღებული პოლიარილატის ჰიდროლიზაციური თვისებები.

ვისკოზიმეტრული მონაცემებითან გამომდინარე, გამოთვლილია კუნძულების სტატისტიკური სეგმენტის ზომები და ჰიდროდინამიკური დიამეტრი ხილსტრის განტოლების მხედვით, აგრეთვე მარკ-კუნ-ხაუვინკის განტოლების «ა» პარამეტრის მნიშვნელობა.

მიღებული შედეგების შედარებისას უკვე შესწავლილი ფენოლფტალეინის ბაზაზე მიღებული პოლიარილატის შესაბამის პარამეტრებთან. აღმოჩნდა, რომ საკვლევი პოლიარილატისათვის მარკ-კუნ-ხაუვინკის განტოლების «ა» პარამეტრის მნიშვნელობა შედარებით მცირდა. ახლოსაა აგრეთვე სტატისტიკური სეგმენტის ზომები.

ამის საფუძველზე გაეთვალია დასკვნა, რომ ბისფენოლის მოლეკულაში ცენტრალურ ნახირბადის ატომთან ჩამნაცვლებლის მოცულობა არ ახდენს მნიშვნელოვან გავლენას პოლიარილატის გაშვის ჰიდროდინამიკურ სიხისტეზე.

G. Sh. PAPAVA, N. A. MAISURADZE, L. V. DUBROVINA

## STUDIES OF HYDRODYNAMICAL PROPERTIES OF POLYARYLATE WITH NORBORNAN GROUP IN THE CHAIN

### Summary

Hydrodynamical properties of polyarylate were studied on the basis of terephthalic acid and 4,4-(hexahydro-4,7-methylene-indan-5-ylidene) diphenol, containing voluminous norbornan group in the polymer chain. The purpose of the present work was to follow the influence of this group on hydrodynamical properties of polyarylate.

Proceeding from viscosimetric data, the dimensions of Kuhn statistical segment were calculated as well as the hydrodynamic diameter by Hirst equation, and values of the parameters «a» in the equation of Mark-Kuhn-Hawink.

At the comparison of the values of the parameters «a» of the equation of Mark-Kuhn-Hawink for polyarylate with a horbornan group in the polymer chain and polyarylate F-2 (polyarylate on the basis of terephthalic acid and phenolphthalein), it was found that this parameter for the studied polymer is somewhat smaller than for polyarylate F-2, the side phthalide group of which little differs from the norbornan group by its molecular weight, but unlike the latter has a flat structure.

The dimensions of the statistic Kuhn's segment are very close for the compared polymers. Therefore, a conclusion is made that three dimensional volume of substituents near the central carbon atom of biophenol, does not influence considerably the hydrodynamical rigidity of the chains of polyarylates. At the same time a weaker dependence of  $\eta$  on  $M$  is an indirect indication on larger hydrodynamical interactions of chain links in a coil.

### ლიტერატურა — ЛИТЕРАТУРА — REFERENCES

1. Дубровина Л. В., Кандидатская диссертация, М., 1966.
2. Павлова, С. А., Докторская диссертация, М., 1970.
3. Stockmayer W. H., Fixman M., Y. Pol. Sci., c 1, 137 (1963).
4. Hearst J. E., J. Chem. Phys. 37, 2547 (1962). J. Chem. Phys. 38, 1062 (1963); J. Chem. Phys 40, 1506 (1964).

УДК 547.754.07

Д. Р. ЛАГИДЗЕ, Л. Я. ТАЛАКВАДЗЕ, Л. А. ЦУЛУКИДЗЕ  
Р. М. ЛАГИДЗЕ

## СИНТЕЗ НЕКОТОРЫХ НОВЫХ ЖИРНОАРОМАТИЧЕСКИХ АНАЛОГОВ МЕЛАТОНИНА

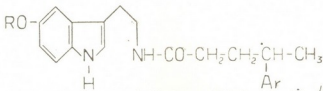
Среди различных производных важного биогенного амина—серотонина значительный интерес заслуживает N-ацетил-5-метокситриптомин или мелатонин и его структурные аналоги. Имеются указания, что мелатонин, будучи гормоном шишковидной железы (эпифиза), проявляет различные фармакологические свойства [1—4]. Так, например, в процессе работы [5] было выявлено, что удаление шишковидной железы у некоторых животных вызывает ускорение роста трансплантированной меланомы и этот процесс можно предотвратить только путем внутримышечного введения определенных доз мелатонина. Таким образом было показано, что рост опухоли в данном случае обусловлен недостатком эндогенного мелатонина. Имеются также указания, что серотонин и мелатонин оказывают антагонистическое влияние на продуцирование альдостерона и кортикостерона, участвующих в регуляции обмена электролитов в тканях сердечно-сосудистой системы, и тем самым играют определенную роль в нейрогуморальной регуляции сосудистого тонуса [6]. Наконец, следует отметить, что в последнее время все большее внимание уделяется поиску новых соединений в области индолилалкиламинов, среди которых были обнаружены довольно эффективные радиопротекторы [7].

Исходя из вышеизложенного, нам представлялось интересным осуществление синтеза некоторых новых производных 5-бензилокси- и 5-метокситриптомина на основе сравнительно мало изученной группы жирноароматических кислот.

В качестве исходных продуктов в данной работе были использованы ранее описанные нами  $\gamma$ -арилвалериановые кислоты [8]. Взаимодействием их хлорангидридов с 5-метилокситриптомином и 5-бензоксилокситриптомином получены и охарактеризованы 12 новых соединений, которые могут быть рассмотрены как интересные структурные аналоги мелатонина.

Основные показатели синтезированных соединений даны в таблице 1.

В ИК-спектрах всех указанных соединений наблюдается характерная полоса поглощения для NH-группы индольного кольца в области  $3380\text{ cm}^{-1}$ . Полосы поглощения в области  $1640$ — $1660\text{ cm}^{-1}$  и  $1530$ — $1560\text{ cm}^{-1}$  характерны для амидной группы C=O (полосы поглощения амид I и амид II соответственно), а полоса поглощения в области  $3250\text{ cm}^{-1}$  указывает на присутствие NH-амидной группы.



ФИЗИКО-ХИМИЧЕСКИЕ КОНСТАНТЫ СОЕДИНЕНИЙ /I-XII/

№	R	Ar	Выход %	$t_{\text{пл}}^{\circ}\text{C}$	Вычислено, %			Брутто формула	Найдено, %		
					C	H	N		C	H	N
I	CH <sub>3</sub>	C <sub>6</sub> H <sub>5</sub>	78	101-102	75,42	7,43	8,00	C <sub>22</sub> H <sub>26</sub> N <sub>2</sub> O <sub>2</sub>	75,17	7,25	8,07
II	CH <sub>3</sub>	n-CH <sub>3</sub> -C <sub>6</sub> H <sub>4</sub>	65	97-99	75,82	7,69	7,69	C <sub>23</sub> H <sub>28</sub> N <sub>2</sub> O <sub>2</sub>	76,11	7,84	7,67
III	CH <sub>3</sub>	n-C <sub>2</sub> H <sub>5</sub> -C <sub>6</sub> H <sub>4</sub>	73	88-90	76,19	7,93	7,40	C <sub>24</sub> H <sub>30</sub> N <sub>2</sub> O <sub>2</sub>	76,20	8,03	7,85
IV	CH <sub>3</sub>	n-(CH <sub>3</sub> ) <sub>2</sub> C <sub>6</sub> H <sub>3</sub>	61	МАСЛО	76,19	7,93	7,40	C <sub>24</sub> H <sub>30</sub> N <sub>2</sub> O <sub>2</sub>	75,89	8,05	6,95
V	CH <sub>3</sub>	M-(CH <sub>3</sub> ) <sub>2</sub> C <sub>6</sub> H <sub>3</sub>	58	МАСЛО	76,19	7,93	7,40	C <sub>24</sub> H <sub>30</sub> N <sub>2</sub> O <sub>2</sub>	75,92	7,92	7,26
VI	CH <sub>3</sub>	O-(CH <sub>3</sub> ) <sub>2</sub> C <sub>6</sub> H <sub>3</sub>	60	МАСЛО	76,19	7,93	7,40	C <sub>24</sub> H <sub>30</sub> N <sub>2</sub> O <sub>2</sub>	75,98	7,69	7,08
VII	C <sub>6</sub> H <sub>5</sub> -CH <sub>2</sub>	C <sub>6</sub> H <sub>5</sub>	81	112-113	78,87	7,04	6,57	C <sub>28</sub> H <sub>30</sub> N <sub>2</sub> O <sub>2</sub>	78,60	7,05	6,97
VIII	C <sub>6</sub> H <sub>5</sub> -CH <sub>2</sub>	n-CH <sub>3</sub> -C <sub>6</sub> H <sub>4</sub>	80	97-98	79,09	7,27	6,36	C <sub>29</sub> H <sub>32</sub> N <sub>2</sub> O <sub>2</sub>	79,23	7,25	6,73
IX	C <sub>6</sub> H <sub>5</sub> -CH <sub>2</sub>	n-C <sub>2</sub> H <sub>5</sub> -C <sub>6</sub> H <sub>4</sub>	72	107-108	79,29	7,48	6,16	C <sub>30</sub> H <sub>34</sub> N <sub>2</sub> O <sub>2</sub>	79,35	7,31	6,58
X	C <sub>6</sub> H <sub>5</sub> -CH <sub>2</sub>	n-(CH <sub>3</sub> ) <sub>2</sub> C <sub>6</sub> H <sub>3</sub>	62	МАСЛО	79,29	7,48	6,16	C <sub>30</sub> H <sub>34</sub> N <sub>2</sub> O <sub>2</sub>	78,93	7,74	5,78
XI	C <sub>6</sub> H <sub>5</sub> -CH <sub>2</sub>	M-(CH <sub>3</sub> ) <sub>2</sub> C <sub>6</sub> H <sub>3</sub>	61	МАСЛО	79,29	7,48	6,16	C <sub>30</sub> H <sub>34</sub> N <sub>2</sub> O <sub>2</sub>	78,98	7,40	6,22
XII	C <sub>6</sub> H <sub>5</sub> -CH <sub>2</sub>	O-(CH <sub>3</sub> ) <sub>2</sub> C <sub>6</sub> H <sub>3</sub>	59	МАСЛО	79,29	7,48	6,16	C <sub>30</sub> H <sub>34</sub> N <sub>2</sub> O <sub>2</sub>	78,92	7,63	6,54

### ЭКСПЕРИМЕНТАЛЬНАЯ ЧАСТЬ

ИК-спектры соединений снимали на спектрофотометре DS-301 (прессованные таблетки с КBr и для пленки маслообразных веществ между пластинками из NaCl).

Используемые в работе хлорангидриды  $\gamma$ -арилвалериановых кислот получали взаимодействием хлористого тионила с соответствующими кислотами:  $\gamma$ -фенилвалерилхлорид (т. кип. 90—91°/2 мм,  $n_D^{20}$  1,5162,  $d_4^{20}$  1,0923);  $\gamma$ -(п-толил)валерилхлорид (т. кип. 88—90°/1 мм,  $n_D^{20}$  1,5151,  $d_4^{20}$  1,0690);  $\gamma$ -(п- этилфенил)валерилхлорид (т. кип. 95—96°/1 мм,  $n_D^{20}$  1,5170,  $d_4^{20}$  1,0718);  $\gamma$ -(o-ксилил)валерилхлорид (т. кип. 94—95°/1 мм,  $n_D^{20}$  1,5212,  $d_4^{20}$  1,0630);  $\gamma$ -(m-ксилил)валерилхлорид (т. кип. 93—94°/1 мм,  $n_D^{20}$  1,5198,  $d_4^{20}$  1,0671) и  $\gamma$ -(п-ксилил)валерилхлорид (т. кип. 97—98°/1 мм,  $n_D^{20}$  1,5183,  $d_4^{20}$  1,0701).

5-метокситриптамид  $\gamma$ -фенилвалериановой кислоты (I).

К смеси 1 г (0,005 М) 5-метокситриптамина (основание, с т. пл. 122°), 15 мл бензола и 8 мл 0,5N NaOH при комнатной температуре добавляли по каплям раствор 1,4 г (0,007 М)  $\gamma$ -фенилвалерилхлорида в 15 мл бензола. Затем смесь при непрерывном перемешивании нагревали до 80° в течение 40 минут. Охлажденную реакционную массу



подкисляли разбавленной соляной кислотой и продукт реакции извлекали хлороформом ( $3 \times 50$  мл). Объединенный хлороформенный экстракт промывали водой, сушили над  $\text{Na}_2\text{SO}_4$  и растворитель отгоняли. Остаток обрабатывали эфиром и образовавшуюся кристаллическую массу (т. пл.  $100-101^\circ$ ) перекристаллизовывали из смеси бензола и петролейного эфира (1:1). Получено 1,3 г (I) с т. пл.  $101-102^\circ$ .

Соединения (II-VI) получали аналогично. Из них триптамиды о-, м- и п-ксилил  $\gamma$ -валериановых кислот (IV-VI) представляют собой маслообразные вещества, которые очищали в хроматографической колонке с  $\text{Al}_2\text{O}_3$  (акт. II степ., элюент — эфир). Чистоту соединений проверяли тонкослойной хроматографией на  $\text{Al}_2\text{O}_3$  (акт. II ст., растворитель — хлороформ).

5-бензилокситриптамид  $\gamma$ -фенилвалериановой кислоты (VII).

К смеси 1,5 г (0,005 М) 5-бензилокситриптамина (основание, с т. пл.  $90^\circ$ ) в 20 мл бензола и 10 мл 0,5Н NaOH добавляли раствор 1,75 г (0,0075 М)  $\gamma$ -фенилвалерилхлорида в 20 мл бензола. Реакцию проводили в условиях аналогичных синтезу соединения (I). Получено 2,3 г (VII) с т. пл.  $109-110^\circ$ . После перекристаллизации из смеси петролейного эфира и этилацетата (1:1) получено 2,32 г (VII) с т. пл.  $112-113^\circ$ .

Соединения (VIII—XII) получали аналогично продукту (VII). Из них триптамиды о-, м- и п-ксилил- $\gamma$ -валериановых кислот (X—XII) представляют собой маслообразные вещества, которые очищали хроматографированием аналогично триптамидам (IV—VI).

Грузинский политехнический институт

им. В. И. Ленина.

Институт физической и органической  
химии им. П. Г. Меликишивили АН ГССР

Поступило 19.VI.1974

ქ. ლალიბა, ლ. თალაპებამ, ლ. ჭლუკიძე, რ. ლალიბა

ხელამონის გოგიართი ახალი ალივატურ-არომატული ანალიზის სინთეზი

რ ე ჟ ი უ მ ე

მნიშვნელოვანი ბიოგენური ამინის სეროტონინის სხვადასხვა წარმოებულებს შორის განსაკუთრებულ ყურადღებას იმსახურებს მელატონინი( $N$ -აცეტილ-5-მეტოქსიტრიპტამინი), რომელიც ხასიათდება მთელი რიგი ფარმაცოლოგიური თვისებებით. ამის გამო უკანასკნელ ხანებში გაცხოველებული ქვევა-ძიება წარმოებს მელატონინის ახალი სტრუქტურული ანალიზების მისაღებად და მათი თვისებების შესწავლის მიმართულებით.

აღნიშნული მიზნით ჩვენს მიერ განხორციელებულია მელატონინის 12 ახალი ანალიზის სინთეზი, ჩვენს მიერ წინათ აღწერილი  $\gamma$ -არილვალერიანის მუავების ქლორანტიდრიდების ურთიერთქმედებით 5-მეტოქსიტრიპტამინთან. სინთეზირებული ნაერთების სტრუქტურები დადგენილია მათი ანალიზური მონაცემების და სპეციფიკოსკოპული გამოკვლევების საფუძველზე.

SYNTHESIS OF SOME NEW ALIPHATIC-AROMATIC  
ANALOGS OF MELATONINE

## Summary

Among different derivatives of most important biogenic amine serotonin, melatonine (*N*-acetyl-5-methoxytryptamine) is of special interest, it exhibits different pharmacological properties. Thus, for instance, intramuscular injections of certain doses of melatonine prevents in some animals tumor growth. There are also indications that melatonine and its analogs are successfully used in medicine as effective radioprotectors. In this connection, recently, vast search work is carried on in the field of synthesis and finding new structural analogs of melatonine with the purpose of studies of their biological activity.

Proceeding from the above-said, this paper gives the results of the synthesis of 12 new analogs of melatonine, by means of interaction of 5-methoxytryptamine with chloranhydride of  $\gamma$ -arylvaleren acids. The structure of all synthesized compounds is determined on the basis of the data of elemental analysis and spectroscopic studies.

## ლიტერატურა — REFERENCES

1. Вигдорчик М. М., Оладько Р. П., Костюченко И. П., Суворов Н. Н., ДАН СССР, 193, 2 (1970).
2. Жеребченко П. Г., Суворов Н. Н., Мурашева В. С., Мед. радиология, 27 (1961).
3. Жеребченко П. Г., Головчинская Е. С., Суворов Н. Н., Тезисы докл. Ин-та экспериментальной патологии и терапии АМН СССР по проблеме «Ост-рая лучевая болезнь и ее отдаленные последствия», Сухуми, 10 (1960).
4. Горелова Н. В., Шашков В. С., Васин М. В., Суворов Н. Н., Антипов В. В., Саксонов П. П., Радиобиология, 10, 5, 758 (1970).
5. Cancer Research, 33, 11, 2830 (1973).
6. Громова Е. А., Краус М. К., Кшечек Ю. И., Труды Ин-та нормальной и патологической физиологии АМН СССР, X, 5—6, 1967.
7. Жеребченко П. Г., Противолучевые свойства индолилалкиламинов, М., «Атомиздат», 1971.
8. Лагидзе Д. Р., Саникидзе Н. С., Малацидзе Ю. Л., Сообщения АН ГССР, 57, 2, 333 (1970).

## ФИЗИЧЕСКАЯ ХИМИЯ

УДК 54.544

Т. Г. АНДРОНИКАШВИЛИ, О. С. БАНАХ, Г. В. ЦИЦИШВИЛИ

### ХРОМАТОГРАФИЧЕСКИЕ СВОЙСТВА ЦЕОЛИТОВ ТИПА У, С ВЫСОКИМ СОДЕРЖАНИЕМ КАТИОНОВ ЩЕЛОЧНЫХ МЕТАЛЛОВ

Адсорбционно-хроматографические свойства цеолитов зависят как от типа цеолита, так и от природы, степени замещения и распределения катионов по участкам кристаллической решетки [1—5]. В литературе отсутствуют полные данные, относящиеся к цеолитам типа У, содержащим катионы щелочных металлов. Представляет интерес изучение образцов с высокой степенью замещения, так как у них следует ожидать заселения самых доступных  $S_{III}$  и  $S_{II}$  — позиций элементарной ячейки различными по природе катионами, которые смогут оказывать специфическое действие на адсорбируемые молекулы.

В работе был использован кристаллический цеолит NaY-II-1298 (ГОБ ВНИИНП). Состав дегидратированного образца выражался формулой: 0,96  $\text{Na}_2\text{O} \cdot \text{Al}_2\text{O}_3 \cdot 4,55\text{SiO}_2$ . Из него путем ионного обмена получены образцы, содержащие высокие количества замещенного катиона щелочного металла, которые таблеттировались прессованием и после нагревания и измельчения переводились в гранулы (1—0,5 мм). Их характеристики приведены в табл. 1.

Плотность гранул определялась пикнометрически при 20°C, а пористость рассчитывалась как отношение общего объема пор [6], найденного по адсорбции паров воды, к объему гранул в гидратированном виде.

Хроматографические свойства цеолитов изучались в колонках (длиной 1 м, внутр. диаметр 3 мм) хроматографа «Цвет-4» после активации гранул при 300°C в токе газа-носителя (Ag, He) в течение трех часов с использованием детектора по тепlopроводности для регистрации газовых пиков в интервале от 0° до 300°C. На протяжение всех опытов поддерживалась постоянная скорость газа-носителя — 50 мл/мин.

Характеристика образцов цеолитов

Таблица 1

Обозначение образцов	Степень замещения $\text{Na}^+$ (вес. %)	Плотность гранул, $\text{г}/\text{см}^3$		Пористость, %
		гидратирован.	дегидратиров.	
LiY	86,3	1,90	2,67	47,0
NaY	100,0	1,94	2,72	45,7
KY	97,6	1,95	2,82	40,4
RbY	82,0	2,18	2,93	39,0
CsY	73,0	2,34	3,18	38,5

Были вычислены удерживаемые объемы  $V_v$ , рассчитанные на единицу объема дегидратированного цеолита. Для насыщенных углеводородов величины  $V_v$  оказались почти в прямолинейной зависимости от поляризуемости катионов в кристалле (рис. 1) вследствие возрастания дисперсионных и поляризационных взаимодействий. Для CO и частично для  $C_2H_4$ , как и следовало ожидать по аналогии с цеолитами типа X [4], объемы  $V_v$  несколько уменьшаются при переходе к более крупным катионам. Объемы удерживания олефинов  $C_3$ — $C_4$  на цеолитах типа Y, в отличие от цеолитов типа X, повышаются при переходе от литиевых к цезиевым формам, причем это повышение пропорционально длине углеводородного звена в молекуле олефина, усиливающего взаимодействие с более крупными катионами (табл. 2). Заметно заниженные объемы  $V_v$  для  $N_2$ , CO и олефинов на образце LiY по сравнению с NaY обусловлены, по-видимому, тем, что литиевый цеолит содержит частично водородную форму, ухудшающую его хроматографические свойства.

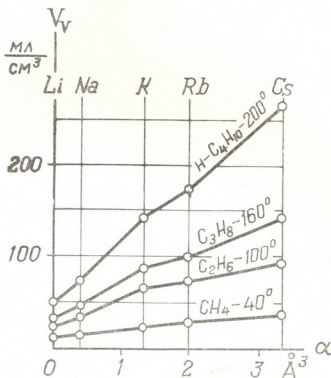


Рис. 1. Влияние поляризуемости ( $\alpha$ ) катионов на удерживаемые объемы  $V_v$  алканов

Природа катиона и температура сильно влияют на характер разделения, что хорошо видно на примере смесей CO— $CH_4$ ,  $C_2H_4$ — $C_3H_8$  и  $C_3H_6$ — $C_4H_{10}$ . На цеолитах CsY, RbY, KU все эти газы полностью разделяются в указанной последовательности выхода пиков, за исключением смеси CO— $CH_4$ , которая неразделима лишь на образце KU (рис. 2). Вследствие повышенного сродства небольших катионов ( $Li^+$ ,  $Na^+$ ) к молекулам, содержащим  $\pi$ -связи, при низких температурах наблюдается обратный порядок проявления этих компонентов из колонки, заполненной гранулами LiY или NaY. С ростом температуры на этих цеолитах ухудшается разделение упомянутых смесей, потом же

Удерживаемые объемы  $V_e$  (мл/см<sup>3</sup>)

t°, °C:	40		160		200		бутылен (260°)			
	исследуемое соединение									
цеолит	O <sub>2</sub>	N <sub>2</sub>	CO	C <sub>2</sub> H <sub>4</sub>	C <sub>3</sub> H <sub>6</sub>	i—C <sub>4</sub> H <sub>10</sub>	i—	α—	цик—	транс—
Li Y	3,8	7,7	24,1	27,8	49,2	49,2	57,4	42,1	42,7	41,8
NaY	4,0	9,8	28,2	40,3	86,3	73,1	87,9	73,2	81,2	63,8
KY	5,1	9,6	21,1	35,3	83,5	141,7	87,1	81,2	83,5	80,3
RbY	5,3	9,4	20,0	36,7	95,9	176,0	111,3	93,9	105,0	101,3
CsY	5,7	9,1	19,1	48,1	137,3	266,0	157,2	125,9	154,2	143,4

они становятся неразделимыми, после чего может наступить инверсия порядка элюирования компонентов, как это показано на рис. 3 с помощью коэффициента  $\delta$  [7] для неполного разделения смеси C<sub>2</sub>H<sub>4</sub> — C<sub>3</sub>H<sub>8</sub>. Наличие катионов K<sup>+</sup>, Rb<sup>+</sup>, и Cs<sup>+</sup> сильно улучшает разделение этой смеси, причем коэффициент полного разделения K<sub>I</sub> [8] практически прямолинейно повышается с уменьшением температуры колонки. Эти катионы повышают также критерий селективности разделения K<sub>c</sub> [9] для большинства смесей (табл. 3).

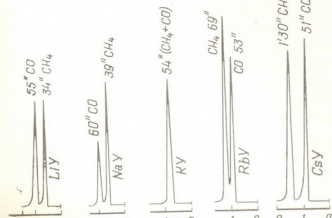


Рис. 2. Хроматограммы разделения смеси CO—CH<sub>4</sub> на цеолитах (температура колонок 40°C), газ—носитель Ar для LiY, NaY, KY и He для RbY, CsY

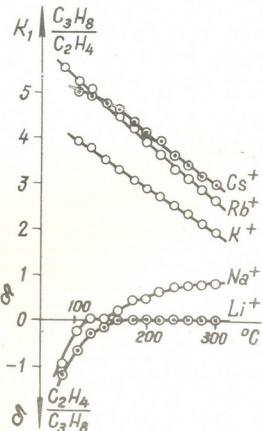


Рис. 3. Зависимость коэффициентов разделения (K<sub>I</sub> и  $\delta$ ) смеси C<sub>2</sub>H<sub>4</sub>—C<sub>3</sub>H<sub>8</sub> от температуры и природы катионов на цеолите типа Y

Компонент смеси, записанный первым, раньше покидает хроматографическую колонку, а знак минус обозначает изменение указанной последовательности на обратную.

На цеолитах типа У, содержащих катионы  $\text{Cs}^+$ , оказалось возможным разделять изомеры бутилена, которые различаются положением двойной связи в молекуле.

Таблица 3

Критерий селективности ( $K_c$ ) разделения смесей

Бинарная смесь	${}^\circ\text{C}$	Образцы				
		LiY	NaY	KY	RbY	CsY
$\text{O}_2-\text{N}_2$	40	0,332	0,419	0,321	0,270	0,226
$\text{CO}-\text{CH}_4$	40	-0,314	-0,245	0,054	0,137	0,328
$\text{C}_2\text{H}_4-\text{C}_3\text{H}_8$	160	-0,076	0,066	0,432	0,467	0,497
$\text{C}_3\text{H}_6-\text{C}_4\text{H}_{10}$	200	-0,027	-0,075	0,266	0,297	0,319
$\text{C}_2\text{H}_6-\text{C}_2\text{H}_4$	120	0,639	0,684	0,362	0,339	0,390
$\text{C}_2\text{H}_4-\text{C}_3\text{H}_6$	200	0,593	0,664	0,691	0,670	0,783
$\text{CH}_4-\text{C}_2\text{H}_6$	60	0,767	0,787	0,757	0,855	0,854
$\text{C}_2\text{H}_6-\text{C}_3\text{H}_8$	140	0,603	0,646	0,685	0,694	0,738

По хроматографическим данным нами рассчитаны [8] также теплоты адсорбции, которые возрастают для алканов по мере утяжеления катиона (табл. 4).

Таблица 4

Теплоты адсорбции углеводородов и CO (ккал/моль)

цеолит	исследуемое соединение						бутилен					
	$\text{CH}_4$	CO	$\text{C}_2\text{H}_6$	$\text{C}_2\text{H}_4$	$\text{C}_3\text{H}_8$	$\text{C}_3\text{H}_6$	бутан	н—изо—	изо—	$\alpha$ —	цис—	транс—
LiY	4,1	5,9	5,8	8,8	7,3	10,6	8,7	8,6	12,6	11,6	12,1	11,1
NaY	4,3	5,7	6,1	8,7	7,8	10,3	9,2	9,1	12,0	11,0	11,9	11,0
KY	4,6	4,9	6,8	7,9	8,6	10,2	10,3	10,2	11,7	11,6	11,4	11,6
RbY	5,0	5,2	7,1	8,3	9,3	9,8	10,4	10,5	11,7	11,7	11,4	11,7
CsY	5,5	5,3	7,7	8,7	9,4	11,1	11,6	11,7	13,4	13,0	12,7	13,2

Сопоставление объемов удерживания, критериев селективности и теплот адсорбции газов на цеолитах типа У с соответствующими данными [4] для типа X показывает, что катионы  $\text{Li}^+$  и  $\text{Na}^+$  в цеолитах типа У проявляют меньшую селективность к молекулам CO и олефинов, чем в цеолитах типа X. Это является следствием уменьшения силы адсорбционного поля, создаваемого катионами небольших радиусов в полостях [10] цеолитов типа У, которые, в отличие от типа X, содержат меньше этих катионов в элементарной ячейке.

Институт физической и органической химии  
им. П. Меликишили АН ГССР

Поступило 3.VI.1974

О. АБДУЛЛОЕВА, О. ЗАБАЕВА, З. СИЗИЧЕВА

ЗАДАЧА РАБОТЫ № 1  
Задача № 1. Рассчитать критерий селективности разделения смеси изобутилена и изопропилена на цеолите У.

Р е з у л т а т

Задача № 1. Рассчитать критерий селективности разделения смеси изобутилена и изопропилена на цеолите У.

უანგბადის, აზოტის, ნახშირუანგისა და  $C_1-C_4$  ნახშირუულბადების შემცველა აირთა მოდელური ნარევის გამოყენებით შესწავლილია მიღებული ნიმუშების ქრომატოგრაფიული თვისებები. სკეტის სიგრძე შეადგინდა ერთ მეტრს, ზოგა დიამეტრი — 3 მმ-ს, სორბენტის გრანულების ზომა — 1—0,5 მმ-ს. აირბაზარებლად გამოყენებული იყო ჰელიუმი ან არგონი. აირმატარებლის სიჩქარე შეადგენდა 50 მლ/წთ.

ნაჩვენებია, რომ მეთან-ნახშირუანგის ბინარული ნარევი იყოფა ნატრიუმისა და ლითიუმის შემცველ ფორმებზე. რუბიდიუმისა და ცეზიუმის. კათიონებით გამდიდრებულ ცეოლითებზე ასევე ხდება ამ ნარევის დაყოფა, მაგრამ იცვლება კომპონენტების ელუიტების მიმდევრობა.

X და Y ტიპის ცეოლითებზე მიღებული ექსპერიმენტული შედეგების შედარებამ გვიჩვენა, რომ ელემენტარულ უჯრედში ჩანაცვლებული კათიონების ბუნება და მათი განაწილება დიდ გავლენას ახდენს შესწავლილი მოდელური ნარევის დაყოფის ხსიათზე.

T. G. ANDRONIKASHVILI, O. S. BANAKH, G. V. TSITSISHVILI

## CHROMATOGRAPHIC PROPERTIES OF TYPE Y ZEOLITES WITH HIGH CONTENT OF CATIONS OF ALKALI METALS

### Summary

Taking the zeolite NaY, samples were obtained in which sodium is replaced by cations of alkali metals (Li-86.3; K-97.6; Rb-82; Cs-73%). Densities in hydrated and dehydrated states and total porosity were determined for the sample granules.

Chromatographic properties of these samples were studied in packed columns of chromatograph „Tsvet-4“ using the gases  $O_2$ ,  $N_2$ , CO and hydrocarbons  $C_1-C_4$ . It was found that retention volumes  $V_r$  and adsorption heat are increased for alkanes proportionally to polarizability of cations. The values of  $V_r$  for CO are decreased and for olefine  $C_3-C_4$  are increased according to the length of the molecule chain at an increase of the cation radius. The data obtained for zeolites of Type X and Y are compared. Chromotograms of separation of the mixture  $CH_4$ -CO on LiY and NaY are given, this mixture is unseparable on KY, while on zeolite RbY and CsY one observes inversion of elution sequence for these components.

A possibility of separation of butylene isomers on CaY is shown.

The predominant influence of the nature and population of cations per unit cell of Type Y zeolites on the character of separation is confirmed for the hydrocarbon mixtures under studies.

### ლიტერატურა — REFERENCES

1. Habgood H. W., Can. J. Chem., 42, 10, 2340 (1964).
2. Sherry H. S., J. Phys. Chem., 70, 4, 1158 (1966).
3. ანდრონიკაშვილი თ. გ., ციციშვილი გ. ვ., საბელაშვილი შ. დ., მუსიკა ან გეოლოგია, 56, 1, 113 (1969).
4. Tsitsishvili G. V., Andronikashvili T. G., J. Chromatogr., 58, 1, 39 (1971).



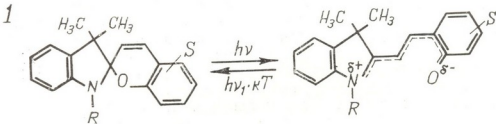
5. Анидроникашвили Т. Г., Атурян М. М., Цицишвили Г. В., С  
швили Ш. Д., Адсорбционные, хроматографические и катализитические свойства  
цеолитов. Тбилиси, «Мецниереба», 1972, 133.
6. Экспериментальные методы в адсорбции и молекулярной хроматографии (под  
ред. А. В. Киселева и В. П. Древинга), М., изд. МГУ, 1973, 225.
7. Struppe H. G., Symp I., Über Gaschromatogr., DDR, Berlin, Akademie-  
Verlag, 1968, 28.
8. Туркельтауб Н. М., Жуховицкий А. А., Газовая хроматография, М.,  
изд. АН СССР, 1960, 144.
9. Жуховицкий А. А., Тр. III Всесоюзн. конф. по газ. хроматографии, М., изд.  
«Наука», 1964, 6.
10. Egerton T. A., Stone F. S., J. Colloid and Interface Sci., 38, 1, 195 (1972).

УДК 543.42

К. Г. ДЖАПАРИДЗЕ, И. Я. ПАВЛЕНШВИЛИ

### ИК-СПЕКТРЫ И НЕКОТОРЫЕ ВОПРОСЫ СТРОЕНИЯ МОЛЕКУЛЫ ОКРАШЕННОЙ ФОРМЫ СПИРОХРОМЕНОВ

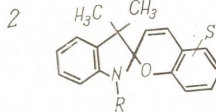
Спирохромены являются одним из интереснейших классов фотохромных соединений. Многочисленные исследования этих соединений показали, что процесс фотоокрашивания спирохроменов происходит вследствие раскрытия пиранового цикла по C<sub>спиро</sub>-O связи и последующей копланаризации молекулы:



В настоящее время информация об обратимом цветоизменении спирохроменов получена, в основном, с помощью электронных спектров. При исследовании другими методами различий между окрашенной и неокрашенной формами одного и того же вещества не наблюдалось. Однако естественно предположить, что фотопревращение с разрывом пиранового цикла должно сказаться также на ИК-спектрах. Трудности эксперимента были обусловлены отсутствием возможности получения растворов большой концентрации и с относительно высокой скоростью обесцвечивания окрашенных форм. Константа скорости «лучших» спирохроменов при комнатной температуре составляет  $10^{-2}$ — $10^{-3}$  сек<sup>-1</sup> [1—3], из-за чего зафиксировать ИК-спектры окрашенной формы спирохроменов не удается. Нам удалось синтезировать спирохромены с длинными алкильными радикалами (с числом атомов от 3 до 10), которые, наряду с хорошей растворимостью, обладают фотохромными свойствами в кристаллах и аморфном состоянии [4].

Это сыграло решающую роль при исследовании обратимых изменений ИК-спектров при фотохромном процессе, т. к. по сравнению с растворами процесс обесцвечивания фотоокрашенной формы спирохромена в конденсированной фазе идет на 2—3 порядка медленнее [5], что вполне достаточно для получения спектров.

Нами проведено исследование ИК-спектров спирохроменов индолинового ряда с общей формулой:



где R — алкил нормального строения от C<sub>1</sub> до C<sub>10</sub>, S — заместители. Измерение ИК-спектров проводилось в различных условиях (растворы в CCl<sub>4</sub>, пасты в вазелиновом масле, расплавы) на спектрометре UR-10.

Сопоставление ИК-спектров неокрашенных форм спирохроменов показывает, что заместители мало влияют на их характер. На основании исследования спектров большого количества неокрашенных форм незамещенных и некоторых монозамещенных индолиноспирохроменов даны отнесения некоторых полос [6]. Однако ценную информацию о строении и фотохромном поведении дают данные по ИК-спектрам 6-нитро- и 6-нитро-8-метоксизамещенных спирохроменов. Наличие фотохромных свойств в кристаллическом состоянии у этих соединений дает возможность изучить фотохромный процесс для образца в виде пасты в вазелиновом масле. В этом случае количество окрашенной формы спирохромена оказалось достаточным для обнаружения разности в ИК-спектрах окрашенной и неокрашенной форм.

Исследование фотохромного процесса проводилось следующим образом: снимали спектр конкретного соединения в вазелиновом масле, затем образец окрашивали УФ лучами и снимали спектр окрашенной формы. Обесцвечивание производилось освещением образца видимым светом. После обесцвечивания образца спектр снимали снова. Эффекты при этом закономерно повторялись.

Вышесказанное иллюстрируется рис. 1, на котором приводится спектр 6-нитро-2H-хромен-2-спиро-2-N-амил-3',3'-диметилиндолина в вазелиновом масле до и после освещения УФ-лучами.

Как видно из сравнения спектров неокрашенных и окрашенных форм индолиноспирохроменов, при фотохромном процессе наблюдаются обратимые изменения. Так, связь C—O в неокрашенной форме характеризуется полосой при 960—940 см<sup>-1</sup>, в окрашенной она смещается к 1210—1230 см<sup>-1</sup>. Увеличение частоты колебания C—O связи при размыкании пиранового цикла спирохромена указывает на увеличение кратности этой связи. Однако, если принять во внимание величину частоты этой группы, которая должна быть в хиноидной структуре спирохромена (1700—1750 см<sup>-1</sup>), то станет очевидным, что связь C<sub>ap</sub>—O ближе к простой, чем к двойной. Аналогичная картина наблюдается в ароматических N-окисях, в которых нет возможности образования N=O связи ( $\nu_s N=O = 1640 \text{ cm}^{-1}$ ), частота связи N—O<sup>+</sup> равна 1235—1250 см<sup>-1</sup>, тогда как соединения типа R<sub>3</sub>N—O поглощают при 950 см<sup>-1</sup>. Хотя аналогия между группами (C<sub>ap</sub><sup>+</sup>—O и N<sup>+</sup>—O<sup>-</sup>) из-за их разного характера не может быть далеко идущей, однако, некоторые общие штрихи у этих связей, безусловно, имеются.

Особый интерес для выяснения деталей строения окрашенной формы спирохроменов представляют динитропроизводные и бромнитропроизводные соединения. Сильное влияние электроноакцепторных групп NO<sub>2</sub>, NO<sub>2</sub><sup>+</sup> и NO<sub>2</sub><sup>+</sup> Br обуславливает кристаллизацию соответствую-

ющих индолиноспирохроменов в окрашенном состоянии. Растворы этих соединений также интенсивно окрашены, поэтому они являются прекрасными объектами для исследования ИК-спектров окрашенной формы. ИК-спектры этих соединений в пасте с вазелиновым маслом или в виде охлажденных расплавов являются «чистыми» спектрами окрашенного состояния. Эти спектры аналогичны спектрам фотохимически окрашенных форм спирохроменов. Если к этому добавить и

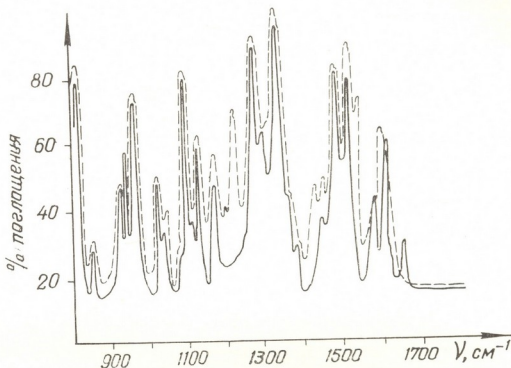


Рис. 1. ИК-спектр 6-нитро-2Н-хромен-2-спиро-2-N-амил-3',3'-диметилиндолина в вазелиновом масле. — до освещения;  
— — — после освещения УФ лучами

то, что есть возможность фотохимически обратимого обесцвечивания растворов динитрозамещенных индолиноспирохроменов, станет очевидной их важность в качестве объектов для наиболее полной и точной характеристики ИК-спектров окрашенного и бесцветного состояния спирохроменов.

ИК-спектр динитропроизводных спирохроменов дает убедительное подтверждение данным, полученным при исследовании окрашенных и неокрашенных форм нитро- и нитрометоксиспирохроменовых соединений. На рис. 2 приводится ИК-спектр охлажденного расплава 6,8-динитро-2Н-хромен-2-спиро-2-N-бутил-3',3'-диметилиндолина.

В ИК-спектре окрашенного состояния рельефно проявляются характерные отличия, наблюдавшиеся при фотохимическом окрашивании нитро- и нитрометоксиспирохроменов. В области 1550—1700  $\text{см}^{-1}$  наблюдается только одна полоса поглощения при 1615—1625  $\text{см}^{-1}$ , тогда как в неокрашенных спирохроменах в этой области наблюдаются три полосы. Полосы при 1210—1220  $\text{см}^{-1}$  и 1420—1435  $\text{см}^{-1}$  очень интенсивны. В области 1515—1550  $\text{см}^{-1}$ , наряду с полосой 1515—1530  $\text{см}^{-1}$ , характерной для  $C_{\text{ap}}-\text{NO}_2$  группировки, появляется полоса при 1530—1550  $\text{см}^{-1}$ . Эта полоса наблюдалась Шиле и Арнольдом [7] в ИК-спектре перхлоратов и относилась к  $C_{\text{ap}}-\text{O}$  связи. Однако легко убедиться, что в таких солях протон присоединяется к атому фенатного

кислорода, давая группировку  $C_{ap}-OH$ , где, естественно, частота связи  $C_{ap}-O$  не может быть столь высокой. По всей вероятности, это частота  $C^2-C^3$  связи в сопряженной системе молекулы открытой формы спирохроменов.

С целью сравнения ИК-спектров динитропроизводных спирохроменов в окрашенном и бесцветном состояниях мы воспользовались свойством этих веществ обратимо обесцвечиваться при экспонировании в видимых лучах. В твердом состоянии эти соединения не фоточромны, однако, их растворы в хлороформе легко обесцвечиваются.

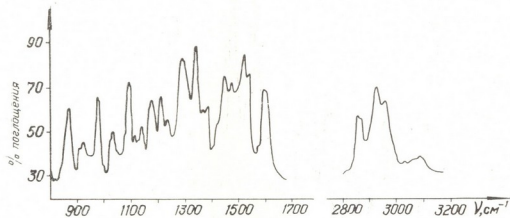


Рис. 2. ИК-спектр 6,8-динитро-2Н-хромен-2-спиро-2-N-бутил-3',3'-диметилиндолина в расплаве

Обесцвечивание сопровождается изменением ИК-спектра — появляется полоса поглощения при  $1580$  и  $1650$   $\text{см}^{-1}$  и исчезает поглощение при  $1210$   $\text{см}^{-1}$  (рис. 3). Через несколько часов окраска вновь появляется и восстанавливается первоначальный спектр.

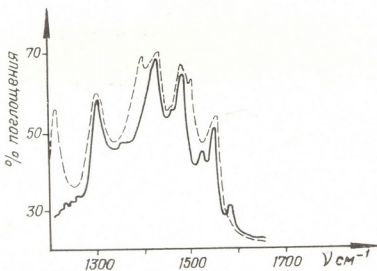
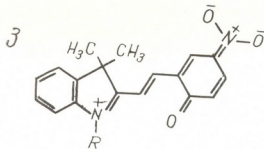


Рис. 3. ИЛ-спектр 6-нитро-8-бром-2Н-хромен-2-спиро-2-N-пропил-3',3'-диметилиндолина в хлороформе.  
 — неокрашенная форма;  
 - - - окрашенная форма

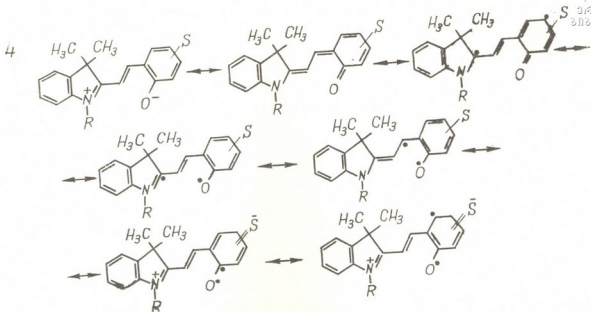
Мы старались найти смещение какой-либо полосы в ИК-спектрах окрашенной формы спирохроменов в зависимости от агрегатного со-

стояния, полярности растворителя и характера заместителя во всем диапазоне, где наблюдаются изменения в спектре при переходе от неокрашенного к окрашенному состоянию. Однако существенных смещений нам не удалось обнаружить. Небольшие смещения имеют место вблизи  $1210-1220 \text{ см}^{-1}$ . Наблюдается определенная тенденция к уменьшению частоты  $C_{ap}-O$  связи с увеличением электроноакцепторных свойств заместителя в хроменовой части спирохроменов. Например, частота колебания для 6,8-динитропроизводных соединений в окрашенном состоянии составляет  $1205-1210 \text{ см}^{-1}$ , тогда как для 6-нитро-производных она равна  $1220 \text{ см}^{-1}$ , а для 6-нитро-8-метоксизамещенных спиранов —  $1220-1225 \text{ см}^{-1}$ . Основываясь на существующем представлении об окрашенном состоянии, которое предполагает суперпозицию двух канонических предельных структур-цвиттерионного и хиноидного, частота колебания  $C-O$  связи должна возрастать, а не уменьшаться с увеличением электроноакцепторных свойств заместителей в хроменовой части молекулы. Соли спирохроменов со щелочами должны содержать максимально ионизированный фенантренильный ион (по сравнению с открытой формой тех же хроменов). В солях происходит гипсохромный сдвиг этой полосы на  $10-15 \text{ см}^{-1}$ . В этом случае направление сдвига совпадает с принятым представлением о строении открытой формы спиранов. Доказательством максимальной ионизации фенантренильного иона может служить уменьшение частоты, связанной с  $\text{NO}_2$ -группой, от  $1520$  до  $1510 \text{ см}^{-1}$  (соль), в которой кратность связи  $\text{N}-\text{O}$  уменьшается вследствие сосредоточения отрицательного заряда на атомах кислорода. В таком случае ясно, что вес нижеследующей структуры повышается:



ИК-спектры индолиновых спирохроменов с кислотами нам не удалось зафиксировать. Эти вещества после обработки хлористым водородом дают такой же спектр, как и исходные вещества. Поэтому судить о частоте колебания  $\nu_{C_{ap}}-\text{OH}$ , которая могла бы дать ценную информацию о смещении интересующей нас частоты, мы не можем.

На основании вышеприведенных фактов можно прийти к заключению, что связь  $C_{ap}-O$  в окрашенных спирохроменах гораздо ближе к простой, чем к двойной. Однако указанные данные говорят о том, что с увеличением электроноакцепторных свойств заместителей электронная плотность уменьшается не только на атоме кислорода, но и на  $C_{ap}-O$  связи. Это равносильно утверждению, что в динитропроизводных спиранах вес бирадикальных состояний увеличивается по сравнению с незамещенными или монозамещенными веществами. Таким образом, «окрашенная» молекула должна описываться суперпозицией не только цвITTERионной и хиноидной, но и бирадикальных структур:



Несмотря на необычность, такое представление биполярной молекулы с «размазанным» зарядом неспаренных электронов объясняет не только данные ИК-спектров, но и фотохимическое и химическое поведение спирохроменов: чем электроотрицательнее заместители S, тем меньше фотохимическая и химическая стабильность спирохроменов.

Если вышеприведенная схема правильно отражает действительность, то  $\nu_{C\cdots N}$  должна повышаться с увеличением электроотрицательности заместителей, что наблюдается в спектрах соответствующих веществ: величина  $\nu_{C\cdots N}$  для нитрозамещенных спирохроменов составляет  $1425 \text{ см}^{-1}$ , а для динитрозамещенных —  $1435 \text{ см}^{-1}$ .

По той же причине частота колебания в области  $1605-1620 \text{ см}^{-1}$ , соответствующая центральной  $\text{C}\cdots\text{C}$  связи, должна быть максимальной в динитропроизводных соединениях.

Экспериментальные значения  $\nu_{c-c}$  в этой области таковы: 1605 см<sup>-1</sup> для нитропроизводных и 1615 см<sup>-1</sup> для динитропроизводных спирохроменов, что находится в полном согласии с вышеприведенной схемой.

Институт кибернетики АН ГССР

Поступило 31.V.1974

ପ୍ରକାଶନକୁଳୀ, ପ୍ରକାଶକୁଳୀ

ନିର୍ମଳାକାରୀଙ୍କ ପରିଚାଳନାର ଦ୍ୱାରା ନିର୍ମଳାକାରୀଙ୍କ ପରିଚାଳନାର ଦ୍ୱାରା ନିର୍ମଳାକାରୀଙ୍କ ପରିଚାଳନାର ଦ୍ୱାରା

၁၅၈၀၁၂၃

ჩვენს მიერ შესწავლილია ინდოლინის რიგის ზოგიერთი სპიროქრომენტის ინტრაცენტროლი სპექტრული.

ეს ნაერთები ფოტოებრივმულ თვისებებს ამჟღავნებენ როგორც ხსარებში, ასევე კრისტალურ და ამორფულ მდგომარეობაში. გადაღებულია სპიროქრო-მინიბის როგორც შეთარავა: ასევე შეთარილო თორმის სპეციტრები.

სპიროგრამენების შეუფერავი და შეფერილი ფორმის ინტრაწითელი სპეც-არების შედარება გვიჩვენებს, რომ ფორმერომული პროცესის დროს ინტრა-წითელ სპექტრში დაიკვირვება შექცევადი ცვლილებები. ასე, მაგალითად, იზრ-დება C—O ბმის შესაბამისი სიხშირე, რაც მიზუთითებს ამ ბმის რიგის გაზრდაზე.

C<sup>2</sup>—C<sup>3</sup> ბმის სიხშირე ინაცვლებს მცირე სიხშირეებისაკენ, იზრდება აგრეთვე განვითარებულის C—N ბმის სიხშირე. სპიროქრომენის ქრომენულ ნაწილში ჩამნაცვლებლის ელექტრონულ აქცეპტორული ხასიათის გაზრდასთან ერთად მცირდება C<sub>ar</sub>—O ბმის სიხშირე, რაც მიუთითებს იმაზე, რომ ელექტრონული სიმკვრივე მცირდება არა მარტო უანგბადის არომაზე, არამედ C<sub>ar</sub>—O კავშირზედაც.

გროვნიტრო- და დინიტროჩანაცვლებული სპიროქრომენების შეფერილი ხსნარების ფოტოქრომული გაუფერულების შექცევადი პროცესის შესწავლამ დადასტურა მიღებული შედეგები.

მიღებულ ექსპერიმენტულ შედეგების საფუძველზე გაკეთებულია დასკვნა, რომ „შეფერილი“ მოლეკულა წარმოადგენს არა მარტო ცვიტერიონული და ქინიოდური ფორმების სუპერპოზიციას, არამედ ბირადიკალური სტრუქტურებისასაც.

K. G. JAPARIDZE, I. Ya. PAVLENISHVILI

### IR—SPECTRA AND SOME PROBLEMS OF STRUCTURE OF SPIROCHROMENE COLOURED FORM

#### Summary

IR—spectra of indolino—spirochromenes were studied.

These compounds show photochromic properties both in solutions and in crystals and amorphous state. That made possible to study spectra of both colourless and coloured forms of these compounds.

The comparison of IR-spectra of coloured and colourless forms of spirochromenes shows that at photochromic process reversible changes are observed. The frequency of C—O bond vibrations is increased showing an increase of multiplicity of this bond. The frequency of C<sup>2</sup>—C<sup>3</sup> bond is decreased. The frequency of C—N bond vibration is increased. A certain trend is observed to a decrease of the frequency of C<sub>ar</sub>—O bond with an increase of electronoacceptor properties of substituent in the chromene part of spirochromene, that says about a decrease of the electron density not only on oxygen atom, but on the C<sub>ar</sub>—O bond as well.

Studies of reversible changes at the photochromic cycle (decoloration-coloration) of dinitro—and bromo-nitro substituted indolino-spirochromenes confirm the obtained data.

A conclusion is made, on the basis of the obtained data, that a “coloured” molecule is described by superposition of not only zwitterion and quinoid structures, but also of biradical one.

#### ლიტერატურა—REFERNCES

1. R. Gautron, докт. дисс., Страсбург, 1967.
2. R. Gautron, Bull. Soc. Chem. Fr., 2237, 3190, 3200, (1968).
3. R. Gautron, Bull. Soc. Chem. Fr., 4235, (1970).
4. К. Г. Джапаридзе, докт. дисс., Тбилиси, 1972.
5. К. Г. Джапаридзе, Н. И. Мамиствалова. Сообщения АН ГССР, 62, 1, 69, 1971.
6. К. Г. Джапаридзе, И. Я. Павленишвили, М. Г. Гугава, Д. П. Майсурадзе, ВИНИТИ, 12/68.
7. C. Schiele, G. Arnold, Z. Naturf., 23, 5. 628, (1968).
8. Arnold, Z. Naturf., 24, 4, 410, (1969).



УДК 543.253

В. Ш. ЦВЕНИАШВИЛИ, Л. А. ЦКАЛОВАДЗЕ, В. Н. ГАПРИНДАШВИЛИ,  
Ф. С. МИХАИЛИЦЫН

## ПОЛЯРОГРАФИЧЕСКОЕ ИССЛЕДОВАНИЕ СУЛЬФОПРОИЗ- ВОДНЫХ БЕНЗ-2,1,3-ТИАДИАЗОЛА

Ранее при исследовании полярографического восстановления 2,1,3-тиадиазол-карбоновой и 2,1,3-тиадиазол-дикарбоновой кислот было показано, что наличие на фоне 0,1 M  $\text{LiClO}_4$  волн раздельного восстановления протонированных и непротонированных молекул деполяризатора обусловлено автопротонизацией за счет диссоциации карбоксильных групп [1]. Аналогичное явление, вызванное образованием внутримолекулярной водородной связи, имеет место и при полярографическом восстановлении оксипроизводных бенз-2,1,3-тиадиазола [2]. Раздельное восстановление протонированных и непротонированных молекул деполяризатора в нейтральных небуферных средах, наблюдаемое при полярографировании производных 2,1,3-тиадиазола, является необычным.

В развитие отмеченных работ в настоящем сообщении представлены результаты по изучению полярографического поведения новых сульфопроизводных бенз-2,1,3-тиадиазола в водных и диметилформамидных средах. Список исследованных соединений представлен в табл. 1. Среди изученных веществ имеются 7-бромбенз-2,1,3-тиадиазол-4-сульфоновая (I) и 7-бромбенз-2,1,3-тиадиазол-4-сульфиновая (II) кислоты. Можно было предположить, что по аналогии с 4-карбокси- и 4,5-дикарбокси-2,1,3-тиадиазолами [1], кислотные функции этих веществ смогли бы вызвать появление волны восстановления частично протонированных молекул деполяризатора в нейтральной небуферной среде.

Таблица 1  
Потенциалы полуволны сульфопроизводных бенз-2, 1, 3—тиадиазола в  
водной небуферной среде. Фон—0,1 M  $\text{LiClO}_4$

Соединение	— $E_{1/2}$ , в	
	I волна	II волна
4-бромбенз-2, 1, 3-тиадиазол	0,96	—
7-бромбенз-2, 1, 3-тиадиазол-4-сульфокислота	0,62	1,04
7-бромбенз-2, 1, 3-тиадиазол-4-сульфиновая кислота	0,55	1,02
7-бром-4-этилсульфонилбенз-2, 1, 3-тиадиазол	0,99	—
7-бром-4-сульфонамидобенз-2, 1, 3-тиадиазол	1,02	—

Синтез изученных соединений описан в [3]. Методика полярографических измерений аналогична приведенной в [1]. Значения потенциалов отнесены к водному насыщенному каломельному электроду.

В результате проведенных исследований было показано, что во всех изученных соединениях как в водных, так и в диметилформамидных средах отщепление брома от молекулы деполяризатора в процессе полярографирования не наблюдается. Ранее было установлено, что восстановление C—Cl связи в хлорбенз-2,1,3-тиадиазолах также не происходит во всех средах. Электроноакцепторные заместители облегчают восстановление тиадиазольного кольца; так же влияет хлор. Из табл. 1 следует, что введение брома в молекулу бенз-2,1,3-тиадиазола также облегчает полярографическое восстановление, сдвигая  $E_{1/2}$  к более положительным величинам.

За исключением соединений (I) и (II) на полярограммах изученных гетероциклов на фоне 0,1 M LiClO<sub>4</sub> — одна волна. Изучение природы этой волны показало, что волна имеет предельный ток, ограниченный скоростью диффузии деполяризатора к электроду. При потенциалах этой волны, как и в случае незамещенного бенз-2,1,3-тиадиазола [4], происходит необратимый перенос 6 электронов на каждую молекулу деполяризатора и в качестве конечного продукта реакции образуются соответствующие диамины и S<sup>2-</sup>. В тех же условиях 7-бромбенз-2,1,3-тиадиазол - 4-сульфоновая и 7 - бромбенз-2,1,3-тиадиазол-4-сульфиновые кислоты дают две волны. На рис. 1 в качестве примера представлена такая полярограмма для соединения (I). Высота волны, расположенной при более положительных потенциалах, растет с ростом концентрации посторонней минеральной кислоты и уменьшается при подщелачивании раствора. Следовательно, она отвечает восстановлению протонированной формы деполяризатора. Можно

предположить, что, как и в случае карбокси- и дикарбокси-2,1,3-тиадиазолов [1], протонизация в данном случае осуществляется за счет диссоциации кислотных фрагментов молекул (I) и (II).

В буферных средах все изученные соединения во всем интервале pH восстанавливаются в одну волну. Электрохимические характеристики сульфопроизводных бенз-2,1,3-тиадиазола в водных буферных средах сходны с электрохимическими характеристиками незамещенного бенз-2,1,3-тиадиазола. На подобное сходство в электрохимическом поведении в водно-спиртовых буферных средах между бисульфитными и небисульфитированными соединениями ароматических фуранозанов указано в работе [5]. В табл. 2 сведены значения констант диффузационных токов ( $K_d$ ), потенциалов полуволны и коэффициента в изученных сульфопроизводных бенз-2,1,3-тиадиазола при различных значениях pH. Значение предельных токов волн сохраняется постоянным как в кислой, так и в щелочной среде. Судя по коэффициенту «в», характеризующему наклон волн, процесс восстановления в этих средах

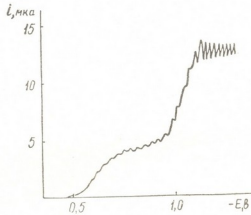


Рис. 1 Полярограмма 7-бромбенз-2,1,3-тиадиазол-4-сульфоновой кислоты. Фон 0,1M водный раствор LiClO<sub>4</sub>. Концентрация деполяризатора-10<sup>-3</sup> M.

Таблица 2

Некоторые характеристики волн восстановления сульфонпроизводных бенз-2, 1, 3-тиадиазолов в водных буферных средах

рН	4-бромбенз-2, 1, 3-тиадиазол			7-бромбенз-2, 1, 3-тиадиазол-4-сульфокислота			7-бромбенз-2, 1, 3-тиадиазол-4-сульфимовая кислота			7-бром-4-этилсульфонидбенз-2, 1, 3-тиадиазол			7-бром-4-сульфонамидобенз-2, 1, 3-тиадиазол		
	$K_d = \frac{i}{m^2/b_1^{1/6} C}$	$-E_{1/2}$ , В	$B$ , мВ	$K_d = \frac{i}{m^2/b_1^{1/6} C}$	$-E_{1/2}$ , В	$B$ , мВ	$K_d = \frac{i}{m^2/b_1^{1/6} C}$	$-E_{1/2}$ , В	$B$ , мВ	$K_d = \frac{i}{m^2/b_1^{1/6} C}$	$-E_{1/2}$ , В	$B$ , мВ	$K_d = \frac{i}{m^2/b_1^{1/6} C}$	$-E_{1/2}$ , В	$B$ , мВ
0,6		0,22	52		0,25	45		0,23	51		0,25	58		0,30	62
2,7		0,35	50		0,37	50		0,36	51		0,40	60		0,38	61
4,7	6,35	0,62	50	6,21	0,68	52	6,23	0,64	50	6,30	0,58	55	6,18	0,61	62
6,9		0,71	48		0,74	51		0,70	50		0,65	55		0,64	58
9,2		0,72	48		0,74	50		0,71	48		0,72	56		0,64	58
10,7		0,71	50		0,73	50		0,70	47		0,72	56		0,65	60

полностью необратим. Значение  $E_{1/2}$  сильно зависит от pH только в кислой среде. В щелочной области  $E_{1/2}$  перестает зависеть от pH, и деполяризатор восстанавливается без предшествующей протонизации.

В отличие от бисульфитных производных фуразана [5], все сульфопроизводные бенз-2,1,3-тиадиазола в диметилформамиде на фоне 0,05 M  $(C_2H_5)_4NI$  восстанавливаются постадийно. За исключением соединений (I) и (II) восстановление в этой среде протекает по механизму, аналогичному восстановлению других производных бенз-2,1,3-тиадиазола [4]. На полярограммах имеются две волны. Показано, что первая одноэлектронная волна отвечает образованию соответствующих анион-радикалов, а вторая — расщеплению связей N-S в гетероцикле.

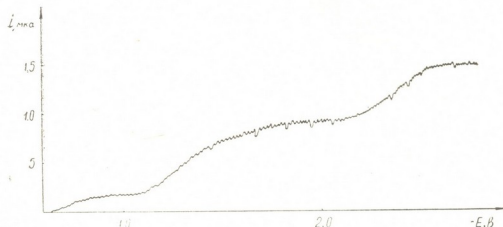


Рис. 2. Полярограмма 7-бромбенз-2, 1, 3-тиадиазол-4-сульфокислоты в диметилформамиде. Фон-0,05 M  $(C_2H_5)_4NI$ . Концентрация деполяризатора— $10^{-3}$  M

На рис. 2 представлена полярограмма соединения (I) на фоне 0,05 M  $(C_2H_5)_4NI$  в диметилформамиде. Вследствие автопротонизации на полярограммах появляется небольшая дополнительная волна при положительных потенциалах, а волна, соответствующая восстановлению с образованием анион-радикалов, завышена по сравнению с уровнем, соответствующим одноэлектронному процессу. Аналогично ведет себя в этой среде и соединение (II).

Институт неорганической химии  
и электрохимии АН ГССР

Поступило 29.V.1974

3. ԴՅԵԿԱՅՅՈՂՈ, Ա. ՇԱՀԱՐԱՋԱՅՈՂՈ, Յ. ԹԵԽԱՅՈՅՅՈՅՈ

ՀՅԵ-2,1,3-ԹՈԱԳՈԱՑՈՂՈ ՄՅԱԾՈՎԱԲՈՎՈՒՆ ՁՄԱԿՐՈՑԱՑՈՒՄՈ ՀԱՅԱՀԱՆՉԱ

#### Հ Յ Կ Ա Ց Ց Ո

Յամուցլեցողական ծրբ-2,1,3-թօագօանուուս և սլյուֆովարմուցուլեցու ծոլլարոցիացուուլո ալդցենա վյուլուս դա զօմետոլցումամօւուս արշո. Եահցենց-ծօա, հոմ ծրբ-2,1,3-թօագօանուուս և սեցա վարմուցուլեցուսացան յանսեցացեցու, 7-ծրկոմմեց-2,1,3-թօագօանուուս-4-սլյուֆոնուրո դա 7-ծրկոմմեց-2,1,3-թօա-

დიაზოლ-4-სულფინური მჟავების შემთხვევაში პოლაროგრამებზე დაიკვირვებული პროტონირებული მოლეკულების აღდგენის ტალღის წარმოქმნა არაბულებულ წყალსნარებში 0,1 M LiClO<sub>4</sub>-ის ფონზე. დიმეთილფორმამიდის არეში აღნიშულ ნაერთთა პოლაროგრამებზე შედარებით უფრო დადგენით პოტენციალზე ჩნდება დამატებითი ტალღა, ხოლო ერთეულექტრონიანი ალგენის შესაბამისი ტალღის სიმაღლე გაზრდილია ჩაუნაცვლებელი ბენზ-2,1, 3-თიადიაზოლის აღდგენის შესაბამისი ტალღის სიმაღლესთან შედარებით.

დადგენილია, რომ ბენზ-2,1,3-თიადიაზოლის ანიშნული სულფორმაბულების ანომალური პოლაროგრაფიული აღდგენა გამოწვეულია დეპოლარიზატორთა ავტოპროტონირებით. სხვა წარმოებულთაგან განსხვავებით შესწავლით სულფონენზ-2,1,3-თიადიაზოლები შეიცავენ პროტონულ-დონორულ თვისებების მქონე ჯგუფებს ( $-\text{SO}_3\text{H}$ ,  $-\text{SO}_2\text{H}$ ), რომელთა დისოციაციის ხარჯზე როგორც წყალსნარებში, ისევე დიმეთილფორმამიდის არეში, ხდება დეპოლარიზატორის მოლეკულების წინასწარი ნაწილობრივი პროტონირება. ამის გამო ელექტროდული პროცესი მოიცავს პროტონირებული და არაპროტონირებული მოლეკულების განცალკევებულ აღდგენას სხვადასხვა პოტენციალზე, რასაც პოლაროგრამებზე შეესაბამება ორი დამოუკიდებელი ტალღა. განსაზღვრულია შესწავლით სულფორმაბულების ზოგიერთი პოლაროგრაფიული ნახასიათებულები ბუფერულ წყალსნარებსა და დიმეთილფორმამიდის არეში.

V. Sh. TSEVENIA SHVILI, L. A. TSKALOBADZE, V. N. GAPRINDASHVILI,  
F. S. MIKHAILITSIN

## POLAROGRAPHY OF SULPHUR DERIVATIVES OF BENZ-2, 1, 3-THIADIAZOLE

### Summary

Polarographic behaviour of sulphur derivatives of benz-2, 1,3-thiadiazole was studied in aqueous and dimethyl formamide media. It is shown that, in difference from other derivatives of benz-2, 1, 3-thiadiazole, a wave of reduction of protonated molecules of depolarizer appears on polarograms of 7-bromine benz-2, 1, 3-thiadiazole-4-sulphonic and 7-bromine benz-2, 1, 3-thiadiazole-4-sulphonic acids in aqueous nonbuffer media on the background of 0,1 M LiClO<sub>4</sub>. This wave is localized at more positive potentials than the main wave. In the medium of dimethyl formamide an additional wave also appears on polarograms of the above-mentioned compounds, while the wave, corresponding to single electron reduction, is increased in comparison to the wave of unsubstituted benz-2, 1,3-thiadiazole in the same medium.

It is established that the mentioned anomalous polarographic behaviour of the studied sulphoacids of benz-2, 1, 3-thiadiazole is caused by auto-protonization of the depolarizer. In difference from other derivatives of benz-2, 1, 3-thiadiazole, sulphobenz-2, 1, 3-thiadiazoles have proton donor groups ( $-\text{SO}_3\text{H}$ ,  $-\text{SO}_2\text{H}$ ) in their molecule, due to dissociation of which a preliminary partial protonization of depolarizer occurs both in aqueous and dimethyl formamide media. Therefore the electrode process involv-

es separate reduction of protonated and nonprotonated molecules of the de-polarizer at different potentials, hence, there are two independent waves on polarograms. Some polarographic characteristics of the studied sulfoderivatives are determined in aqueous buffer and dimethyl formamide media.

ლიტერატურა — REFERENCES

1. Цвениашвили В. Ш., Гаприандашвили В. Н., Цкаладзе Л. А., Сергеев В. А., ЖОХ, 42, 2044 (1972).
2. Цвениашвили В. Ш., ЖОХ, 43, 1203 (1973).
3. Михайлицын Ф. С., ХГС, 319, (1973).
4. Тодрес З. В., Жданов С. И., Цвениашвили В. Ш., Изв. АН СССР, Сер. хим., 975 (1968).
5. Фодиман З. И., Тодрес З. В., Левин Э. С., ЖВХО им. Менделеева, 19, 236 (1974).

УДК 541.126

В. И. КОКОЧАШВИЛИ, К. З. ЛАБАДЗЕ, Л. М. СЕПИАШВИЛИ

## К ВОПРОСУ О ПРИРОДЕ САМОВОСПЛАМЕНЕНИЯ СМЕСЕЙ ХЛОРА С ПРОПИЛЕНОМ

Тепловую природу воспламенения горючей смеси можно установить сравнением экспериментально полученной и теоретически рассчитанной функциональной зависимости между давлением воспламенения смеси, ее процентным составом, теплопроводностью и пропорциональной ей величиной — теплопередачей.

С этой целью мы, в первую очередь, экспериментально изучили зависимость критического давления от состава смеси, т. е. область воспламенения, а затем построили теоретическую кривую этой области.

Исследования проводили в статических условиях на вакуумной установке, принципиальная схема которой приведена на рис. 1.

Для определения температуры самовоспламенения нами был выбран метод перепуска [1] в несколько измененном виде. Определенное количество одного из компонентов смеси поступало в предварительно нагретый до нужной температуры и вакуумированный реакционный сосуд, затем из перепускного сосуда перебрасывалось такое количество второго компонента, которое было необходимо для получения смеси нужного состава.

Для этого надо было проектировать систему: реакционный сосуд — перепускной сосуд в широком диапазоне давлений. Такая градуировка была проведена

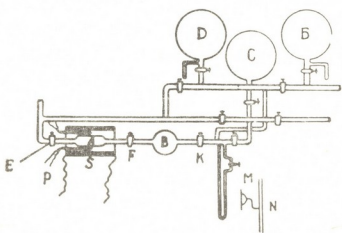


Рис. 1. Схема установки: Д, С, Б — колбы для хранения исходных газов, В — перепускной сосуд, М — манометр, Н — осветитель манометра, А — реакционный сосуд, Е — электрическая печь, Е, Р — термопара и термометр

на воздуху для смесей различного процентного состава при 300°C.

Опыты проводились в темноте. Смесь ипропилена и хлора с различным соотношением компонентов по отдельности воспламенялась и определялось давление самовоспламенения при 300°C. Таким образом определяли границу самовоспламенения по составу при 300°C (рис. 2).

Для нахождения минимального давления применялось выражение  $P = \frac{P_1 + P_2}{2}$ , где  $P_1$  — давление, при котором взрыв имеет место,

а  $P_2$  — давление, при котором взрыва не происходит.

Для одной и той же смеси давления наличия ( $P_1$ ) и отсутствия ( $P_2$ ) взрыва отличались не больше, чем на 0,5—1,3 мм рт. ст., что указывает на то, что взрывное давление можно фиксировать сравнительно точно.

Реакционный сосуд для определения области самовоспламенения представлял собой цилиндр, изготовленный из стекла пирекс (длина сосуда—13,5 см, а диаметр—3,5 см).

Как видно из рис. 2, область воспламенения имеет U—образный вид и смещена в сторону больших концентраций хлора. Смесь, содержащая от 15% до 55% пропилена, еще горит, а при 60%—уже не воспламеняется. Критическое давление смеси пропилена с хлором, как функция состава смеси, достигает минимума в смеси, содержащей 40% пропилена и 60% хлора.

Критическое условие воспламенения, к которому приходит Д. А. Франк—Каменецкий [2], в наших обозначениях может быть записано так:

$$\frac{E}{RT_0^2} \cdot \frac{Q}{\lambda} d^2 \cdot k \cdot e^{-E/RT} a^2 P^n [\text{C}_3\text{H}_6] \% [\text{Cl}_2] \% = 4B,$$

где  $n$  — порядок реакции.

Объединив в одну константу все величины, независящие от состава смеси, получим:

$$P^n = \frac{\text{Const} \cdot \lambda}{[\text{C}_3\text{H}_6] \% [\text{Cl}_2] \%}$$

Отсюда при  $n=1,5$

$$P = \frac{\text{Const} \cdot \lambda^{2/3}}{[\text{C}_3\text{H}_6]^{2/3} \% \cdot [\text{Cl}_2]^{2/3} \%} \quad (1)$$

Эта формула дает возможность теоретически определить соотношение между критическим давлением воспламенения и процентным составом смеси и ее теплопроводностью.

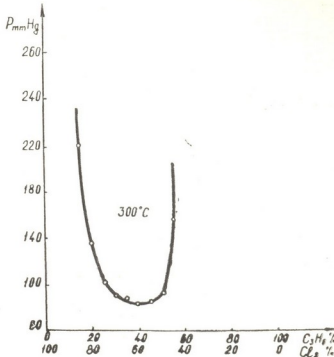


Рис. 2. Область самовоспламенения смесей пропилена с хлором при 300°C

Интересно было рассчитать теоретически с учетом теплопроводности давление воспламенения и сравнить его с результатами, полученными путем эксперимента.

Для определения давления воспламенения по формуле (1) необходимо было знание теплопроводности смеси. Прежде всего для этой цели нужно было вычислить теплопроводность отдельных компонентов для избранных нами температур.

Теплопроводность хлора при 300°, 360° и 400° мы вычислили по формуле Сезерленда:

$$\lambda_1 = \lambda_0 \left( \frac{273 + C}{T + C} \right) \left( \frac{T}{273} \right)^{3/2},$$

где  $\lambda$  — теплопроводность,

$C$  — постоянная Сезерленда, равная 351 в области 20—500°C.

Теплопроводность пропилена известна для температурного интервала 100—200°C [3]. Экстраполяцией этих данных были получены значения теплопроводности пропилена для 300, 360 и 400°C. В таблице при-

Таблица 1  
Коэффициенты теплопроводности  
хлора и пропилена

T°C	300	360	400
$\lambda_{\text{Cl}_2} \cdot 10^6$	57,66	40,93	43,16
$\lambda_{\text{C}_3\text{H}_6} \cdot 10^6$	58,65	63,70	67,10

ведены полученные нами значения теплопроводности хлора и пропилена.

Для вычисления теплопроводности смеси мы воспользовались логарифмическим линейным интерполяционным уравнением, предложенным В. И. Кокочашвили [4]:

$$\lg \lambda_{\text{смеси}} = \frac{[\text{C}_3\text{H}_6]\%}{100} \lg \lambda_{\text{C}_3\text{H}_6} + \frac{[\text{Cl}_2]\%}{100} \lg \lambda_{\text{Cl}_2}$$

Затем мы вычислили теоретически давление воспламенения как функцию теплопроводности и процентного состава смеси. На основании этих данных построены кривые, приведенные на рисунке 3.

Экспериментальные исследования показали (рис. 2), что критическое давление воспламенения как функция процентного состава смеси хлора с пропиленом достигает минимума в случае смеси, содержащей 40% пропилена и 60% хлора. Критическое давление воспламенения, вычисленное теоретически с учетом теплопроводности смеси, по отношению к составу смеси находится примерно в той же функциональной зависимости, т. е. становится минимальным, когда процентное содержание хлора в смеси достигает 55%. Принимая во внимание, что

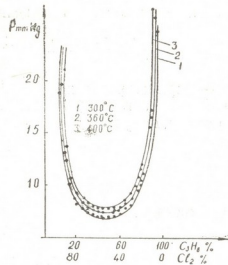


Рис. 3. Теоретические кривые области самовоспламенения смесей хлора с пропиленом при различных температурах

формула (1), которую мы применяли для построения теоретической кривой, не предусматривает возможности выгорания смеси во время перепуска в реакционный сосуд, учитывая только теплопроводность смеси и условия теплопередачи в среде, такое совпадение можно считать удовлетворительным. В действительности в ходе перепуска имеет место частичное выгорание смеси. В среде с малой концентрацией хлора недостаток применявшейся методики более заметен, т. к. во время перепуска реакция почти заканчивается и самовоспламенение происходит при больших давлениях, чем это рассчитано теоретически. Этим объясняется незначительное отклонение экспериментальной кривой от теоретической области самовоспламенения в среде с малой концентрацией хлора, тогда как в богатой хлором области эти кривые совпадают. Отсюда ясно, что давление воспламенения смеси пропилена с хлором зависит от теплопроводности, т. е. и от теплопредачи.

Следовательно, зависимость давления воспламенения рассмотренной смеси от теплопроводности находится в полном соответствии с тепловой теорией воспламенения.

Как видно, при определенных условиях температуры и давления скорость реакции достигает критического значения, при котором равновесие между тепловыделением и теплоотводом становится невозможным. Это нарушение теплового равновесия и приводит к взрыву.

Тождественность результатов, полученных экспериментально и вычисленных теоретически, подтверждает наше мнение о тепловой природе воспламенения смесей пропилена с хлором.

Тбилисский государственный университет

Поступило 19.VI.1974

З. КОКОЧАШВИЛИ, З. ЗАБАДЗИ, Л. СЕПИАШВИЛИ

ქართველი და არომატური ნარჩენის თანითალების განვითარების საკითხისათვის

#### რეზიუმე

ცდების შედეგად განსაზღვრულია პროპილენისა და ქლორის ნარევების აალების არე  $573^{\circ}\text{K}$ -ზე.

ექსპერიმენტულად დადგენილია, რომ კრიტიკული წნევა, როგორც ნარევი, პროპენტული შედეგის ფუნქცია, მინიმუმს აღწევს 40% პროპილენისა და 60% ქლორის შემცველ ნარევის შემთხვევაში. ოქორიულად გამოთვლილი (ნარევის სითბოგამტარობის გათვალისწინებით), აალების კრიტიკული წნევა, ნარევის შედეგის ლობასთან დაახლოებით იგივე ფუნქციონალურ დამოკიდებულებას იჩენს.

ექსპერიმენტულად და გაანგარიშებით მიღებული შედეგების იდენტურობა ადასტურებს პროპილენისა და ქლორის ნარევების აალების სითბურ ბუნებას.

V. I. KOKOCHASHVILI, K. Z. LABADZE, L. M. SEPIASHVILI

#### ON THE NATURE OF SELF-IGNITION OF MIXTURES OF CHLORINE WITH PROPYLENE

##### Summary

Using the method of bypass the region of self-ignition of mixtures of chlorine with propylene at  $573^{\circ}\text{K}$  was determined. A modified vacuum installation for studies, under statical conditions of self-ignition of combustible mixtures is described.

By experiments and calculations the dependence of the critical pressure of ignition on the mixture composition and its heat conductivity was established. It is shown that the critical pressure of ignition, as a function of the per cent composition of the mixture of chlorine with propylene, reaches the minimum in the case of a mixture containing 40% of propylene and 60% of chlorine. The critical pressure calculated theoretically, taking into account the heat conductivity of the mixture, is approximately in the same dependence with respect to the mixture composition.

A conclusion on the thermal nature of ignition of mixtures of propylene with chlorine is made on the basis of the same results obtained experimentally and by calculations.

#### ლიტერატურა — REFERENCES

1. Загулин А. В., Сборник работ лаборатории взрывов. Л., Гостехн.-теорет. издат., 1933, 92.
2. Франк-Каменецкий Д. А., Журнал физической химии, 6, 737, (1939).
3. Сепиашвили Л. М., Кандидатская диссертация, ТГУ (1959).
4. Кокочашвили В. И., Докторская диссертация, ТГУ (1943).



## ТЕХНОЛОГИЯ

УДК 615.281:547.525.211.1.014.23

Г. В. ЦАГАРЕИШВИЛИ, Н. В. ДУЧИДЗЕ, З. Р. САФИУЛИНА, Г. С. БАШУРА

### ИССЛЕДОВАНИЕ СТАБИЛИЗАЦИИ СУСПЕНЗИИ ПРОИЗВОДНЫХ 5-НИТРОФУРАНА

Как показали исследования, проведенные в последнее время, многие производные 5-нитрофурана обладают сильной антибактериальной активностью. Соединения этого ряда действуют на грамположительные и грамотрицательные микробы, а также на крупные вирусы и некоторые простейшие. В ряде случаев они задерживают рост микроорганизмов, ставших устойчивыми к сульфаниламидам и антибиотикам [1].

В связи с этим, нами изучалась возможность получения устойчивых суспензий, содержащих 1% фурацилина, 1% фуразолидона, 1% фурагина, т. к. они плохо растворимы в воде (соответственно: 1:4200; 1:более 10000; 1:1000—10000).

Для улучшения смачиваемости препаратов, гидрофилизации их поверхности были применены следующие поверхностно-активные вещества (ПАВ) со значениями гидрофильно-липофильного баланса (ГЛБ) от 7,7 до 15,8 (табл. 1).

Значение ГЛБ использованных ПАВ

Таблица 1

ПАВ	Химический состав	ГЛБ
Твин-80	Оксигэтилированный моноэфир олеиновой кислоты и ангидро-сorbita-сorbitанa	15,0
Синтанол-ДС 10	Оксигэтилированные спирты жирного ряда фракции C <sub>10</sub> —C <sub>18</sub> с числом звеньев окиси этилена 10	14,9
Оксанол 0—18	Оксигэтилированный олеиновый спирт с числом звеньев окиси этилена 18	14,7
ОС-20	Оксигэтилированные спирты кашалотового жира фракции C <sub>16</sub> —C <sub>8</sub> с числом звеньев окиси этилена 20	13,4
ОЭСШВ-5, 20, 35, 50	Оксигэтилированные спирты шерстного воска с числом звеньев окиси этилена 5, 20, 35, 50	7, 7; 13, 7; 14, 8; 15, 8

Стабилизация суспензий ПАВ в большой степени связана с гидрофилизацией поверхности частиц и снижением межфазного натяжения на границе частица — водная среда.

При понижении межфазного натяжения смачивание увеличивается согласно уравнению Лапласа:

$$\cos \theta = \frac{\sigma_{\text{tr}} - \sigma_{\text{тж}}}{\sigma_{\text{ж tr}}},$$

где  $\Theta$  — краевой угол смачивания;

$\sigma_{tg}$  — поверхностное натяжение на границе раздела твердое тело —

газ;

$\sigma_{tж}$  — поверхностное натяжение на границе раздела твердое тело — жидкость;

$\sigma_{жg}$  — поверхностное натяжение на границе жидкость — газ.

Влияние ПАВ на величину краевого угла смачивания исследовалось нами по методу Езерского и Письменной [5]. Полученные данные приведены в таблице 2.

Таблица 2  
Краевые углы смачивания 5-нитрофуранов различными

поверхностно-активными веществами

Наименование лекарственных веществ	Фурагин	Фуразолидон	Фурацилин
первоначальный $\Theta$	76°00'	89°55'	89°55'
Твин-80 (1%)	68°14'	84°56'	74°39'
Твин-80 (2%)	68°36'	84°24'	71°31'
ТВИН-80 (3%—10%)	53°18'	79°25'	71°31'
Синтанол ДС-10 (2%)	~40°	~73°	~61°
Оксанол 0—18 (2%)	71°40'	83°18'	69°00'
ОС-20 (2%)	47°00'	71°00'	67°39'
ОЭСШВ-5 (2%)	84°13'	88°58'	~88°
ОЭСШВ-20 (2%)	78°31'	86°42'	72°35'
ОЭСШВ-35 (2%)	81°43'	86°42'	81°20'
ОЭСШВ-50 (2%)	56°00'	86°54'	83°16'

Как видно из полученных данных, в одних случаях в присутствии ПАВ смачивание повышается, в других, напротив, понижается. Характер влияния ПАВ на смачиваемость зависит от молекулярных свойств смачиваемой поверхности и химической природы ПАВ. Так, смачиваемость фурагина в присутствии твина-80, синтанола, оксанола ОС-20, ОЭСШВ-50 повышается; ОЭСШВ 5 и 35 понижают смачиваемость.

Уменьшение величины угла смачивания на  $10^\circ$  уже достаточно для получения мелкодисперсной, агрегативно-устойчивой суспензии.

Смачивание фуразолидона и фурацилина незначительно повышается в присутствии ОЭСШВ 5, 20, 35, 50; остальные ПАВ вызывают значительное понижение межфазного натяжения и гидрофилизацию поверхности.

Известно, что если в молекуле ПАВ гидрофильная часть превалирует над липофильной, то число (ГЛБ) выше. Исследованные ПАВ, кроме ОЭСШВ-5, являются гидрофильными, и их склонность проявлять гидрофильный характер растет в следующем порядке: ОС-20, ОЭСШВ-20, оксанол 0-18, ОСШВ-35, синтанол ДС-10, твин-80, и ОЭСШВ-50.



При исследовании 1% супензии фурагина, фуразолидона и фурацилина было найдено, что лучшее стабилизирующее действие оказывают синтанол ДС-10, твин-80, ОС-20 и ОЭСШВ-50, имеющие числа ГЛБ 14,9, 15,0, 13,4 и 15,8 соответственно.

С приобретением агрегативной устойчивости супензии быстро стабилизовались, причем увеличение концентрации твина-80 от 3 до 10% не оказывало существенного влияния, как и в случае супензии мадрибона [3].

Твин-80, очевидно, служит не только стабилизатором, но и, оказывая «расклинивающее» действие, увеличивает диспергирующий эффект [4].

Установлено, что синтанол ДС-10 значительно понижает угол смачиваемости фурагина и фурацилина ( $36^\circ$  и  $28^\circ$  соответственно).

2% раствор оксанола несколько уступает всем вышеперечисленным ПАВ при стабилизации фурагина и фуразолидона, однако, значительно понижает угол смачиваемости фурацилина ( $20^\circ$ ).

Действие растворов ОЭСШВ на 1% фуразолидоновую супензию подобно действию твина-80. 2% растворы синтанола, оксанола, ОС-20 не уступают твину-80 и ОЭСШВ, причем из них наиболее активны синтанол ДС-10.

Свойства супензий оценивались по скорости оседания твердой фазы. Измерение скорости оседания проводили седиментометрическим методом Н. А. Фигуринского с помощью торзионных весов [2].

Скорость оседания в начале определения наибольшая, поэтому отсчеты проводили через небольшие промежутки времени, а к концу определения увеличивали его и строили кривые седиментации.

Затем был произведен графический расчет кривой седиментации. Для этого на различных участках кривой проводились касательные до пересечения с осью ординат; ординаты, проведенные через точки касания, соответствовали определенному времени оседания. Расчет эквивалентного радиуса частиц, полностью осевших к моменту времени, соответствующему определенной ординате, проводился по формуле:

$$r = K \sqrt{\frac{H}{t}}, \quad K = \sqrt{\frac{9\eta}{2(D-d)g}},$$

где  $H$  — глубина погружения чашечки;

$t$  — время оседания частиц;

$\eta$  — вязкость дисперсионной среды;

$d$  — плотность дисперсионной среды;

$D$  — плотность дисперсной фазы;

$g$  — ускорение свободного падения.

Вычисленные значения радиусов являются пограничными для фракций, содержание которых было определено по величине отрезков, отсекаемых касательными на оси ординат (табл. 3).

Результаты седиментационного анализа 1% супензии фурагина, фуразолидона, фурацилина в 2% растворе твина-80 представлены в виде интегральной или суммарной кривой распределения.

При построении этой кривой на оси ординат откладывали содержание фракций с размером частиц  $< r_1 < r_2$  и т. д., а по оси абсцисс — соответственно  $r_1, r_2$  и т. д.

Ордината каждой точки данной кривой дает процентное содержание частиц с эквивалентными радиусами, меньшими, чем соответствующий ей по оси абсцисс.

Результаты седиментометрического анализа можно представить более наглядно, в виде дифференциальной кривой распределения.

Данные распределения фракций 1% суспенсий

Фурагин			Фуразолидон			Фурацилин		
Пределы фракций радиуса,	Размер отрезка на оси ординат	% содержания	Пределы фракции радиуса	Размер отрезка на оси ординат	% содержания	Пределы фракции радиуса.	Размер отрезка на оси ординат	% содержания
<0,3	5,9	32,8	<1,9	2,9	12,3	<3,1	2,2	12,2
0,3—6,4	2,6	14,4	1,9—2,2	4,3	18,3	3,1—5,2	4,0	22,2
0,4—5,5	3,0	16,7	2,2—3,3	1,8	7,7	5,2—7,3	1,6	8,9
5,5—8,6	1,9	10,6	3,3—4	5,5	23,4	7,3—13,6	2,1	11,7
8,6—13,4	0,9	5,0	4—5,8	2,6	11,0	13,6—26,1	3,1	17,2
13,4—31,6	0,4	2,2	5,8—8,2	2,9	12,4	>26,1	5,0	27,8
>31,6	3,3	18,3	8,2—16,8	1,3	5,5			
		100,0			100,0			

Данные для ее построения (величины приращения процентного содержания частиц через равные интервалы радиусов) были получены из интегральной кривой (табл. 4).

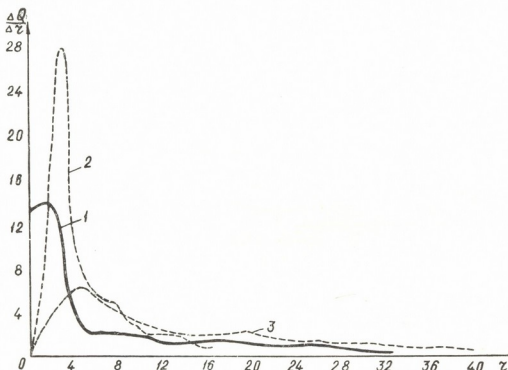


Рис. 1. Суммарные кривые распределения 1% суспензий:  
1—фурагина, 2—фуразолидона, 3—фурацилина

Данные седиментометрического анализа свидетельствуют о том, что при диспергировании порошков в растворах ПАВ получаются в основном мелкодисперсные системы.

Так, при диспергировании фурагина в растворах твина-80 частицы размером до 13 мкм составляют около 70%; фуразолидона — до 17 мкм — 94,5% и в случае фурацилина — до 26 мкм — почти 70%.

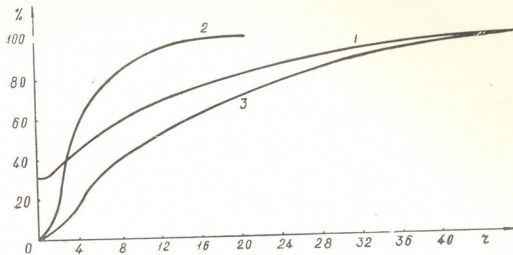


Рис. 2. Дифференциальные кривые распределения 1% суспензий:  
1—фурагина, 2—фуразолидона, 3—фурацилина

Таблица 4  
Величины приращения процентного содержания частиц

Фурагин				Фуразолидон				Фурацилин			
r	Q	$\Delta Q$	$\frac{\Delta Q}{\Delta r}$	r	Q	$\Delta Q$	$\frac{\Delta Q}{\Delta r}$	r	Q	$\Delta Q$	$\frac{\Delta Q}{\Delta r}$
3	42	42	14	1	5	5	5	3	11	11	3,6
6	55	7	2,3	2	18	13	13	6	31	20	6,6
9	62	7	2,3	3	46	28	28	9	43	12	4
12	68	6	2	4	59	13	13	12	51	8	2,6
15	72	4	1,3	5	67	8	8	15	58	7	2,3
18	77	5	1,6	6	74	7	7	18	64	6	2
21	81	4	1,3	7	79	5	5	21	71	7	2,3
24	85	4	1,3	8	84	5	5	24	76	5	1,6
27	89	4	1,3	9	87	3	3	27	81	5	1,6
30	92	3	1	10	90	3	3	30	85	4	1,3
33	94	2	0,6	11	92	2	2	33	89	4	1,3
				12	94	2	2	36	92	3	1
				13	96	2	2	39	95	3	1
				14	98	2	2	42	98	3	1
				15	99	1	1				
				16	100	1	1				

Наиболее вероятный размер частиц в суспензии фурагина 1—2 мкм, фуразолидона — 2—4 мкм, фурацилина 3—5 мкм.

На основании проведенных исследований разработана технология получения суспензий производных 5-нитрофурана для применения в ветеринарной практике. В настоящее время на эти лекарственные формы составляется техническая документация.

Институт фармакохимии им. И. Г. Кутателадзе  
АН ГССР

Харьковский научно-исследовательский  
химико-фармацевтический институт

Поступило 7.VI.1974

### რეზიუმე

შესწავლილია რიგი ნიტროფურანების (ფურაცილინი, ფურაგინი, ფურაზოლიდონი) სუსპენზიების მდგრადობის საკითხი. გამოკვლეულია ზედაპირულად აქტიური ნივთიერებების გავლენა მათი შესველების კუთხის სიღიღეზე. შესწავლილია ნიტროფურანების სუსპენზირების დალექვის სიჩქარე, რის საფუძველზე გრაფიკულად გაანგარიშებულია სედმენტრაციული მრუდი და მოცემულია ნაწილაკების ზომის მიხედვით განაწილების დოფერენციალური მრუდი.

სედმენტრაციული ანალიზის მონაცემებიდან ჩანს, რომ ნიტროფურანების ფხვნილების დისპერგირების დროს ზედაპირულად აქტიური ნივთიერების სსნარებში ძირითადად წვრილდის პერსული სისტემები მიიღება.

კერძოდ, ტვინ — 80-ის სსნარშ ფურაგინის დისპერგირებისას 13 მკმ-მდე ზომის ნაწილაკების რაოდენობა შეადგენს დაახლოებით 70%-ს; ფურაზოლიდონის 17 მკმ-მდე — 94,5%; ხოლო ფურაცილინის შემთხვევაში 26 მკმ-ს ზომის ნაწილაკთა რაოდენობა შეადგენს თოთქმის 70%-ს.

ნაწილაკთა ყველაზე საალბათო ზომა ფურაგინისათვის შეადგენს 1—2 მკმ. ფურაზოლიდონისათვის 2—4 მკმ, ფურაცილინისათვის კი 3—5 მკმ.

ჩატარებული გამოკვლევების საფუძველზე დამუშავდა 5-ნიტროფურანების სუსპენზიების მიღების ტექნოლოგია მათი შემდგომში ვეტერინარულ პრაქტიკაში გამოყენებისათვის.

G. V. TSAGAREISHVILI, N. V. DUCHIDZE, E. R. SAFIULINA,  
 G. S. BASHURA

### STUDIES OF STABILIZATION OF SUSPENSIONS OF 5-NITROFURAN DERIVATIVES

#### Summary

The process of stabilization of some nitrofurans (furacillin, furagin, furazolidon) was studied. With this aim the influence of surface active substances (SAS) on the value of the marginal angle of moistening was studied for the above-mentioned nitrofurans, the settling rate of solid phase was determined; the graphical calculations of the sedimentation curve were made and the differential curve of distribution was plotted.

The data of sedimentometric analysis has shown that in the main fine dispersion systems are obtained in SAS solutions at dispersion of nitrofuran powders.

Thus, at dispersion of furagin in solutions of tween-80 about 70% are particles of the size up to 13  $\mu$ ; furazolidon to 17  $\mu$ —94.5% and furacillin to 26  $\mu$ —almost 70%.

Most probable size of particles in the case of furagin is 1—2  $\mu$ , furazolidon 2—4  $\mu$ , furacillin 3—5  $\mu$ .

On the basis of the data of the studies the technology of suspension-obtaining of 5-nitrofuran derivatives was suggested for application in veterinary practice.

ԾՈՒՅՆԱՑՄԱՆ — ЛИТЕРАТУРА — REFERENCES

1. Машковский М. Д., Лекарственные средства, М., Медгиз, 539, 1960.
2. Григоров О. Н., Карпова И. Ф., Козьмина З. П., Тихомолова, К. П., Фридрихсберг, Д. А., Чернобережский Ю. М., Руководство к практическим работам по коллоидной химии, Л., «Химия», 19, 1964.
3. Куприна Н. А., Благовидова Ю. А., Книжник А. З., Фармация, XX, 2, 16 (1971).
4. Ребиндер П. А., Вестник АН СССР, 8, 28 (1964).
5. Езерский М. Л., Письменная Г. М., Химико-фармацевтический журнал, 6, 9, 50 (1972).

УДК 66.074.6

Н. Я. БУЧУКУРИ, Я. Г. БУЧУКУРИ

## ПРОЦЕСС СЕРООЧИСТКИ ГОРЮЧИХ ГАЗОВ МАРГАНЦЕВЫМИ РУДАМИ

Горючие газы, применяемые в химической промышленности, независимо от их происхождения, требуют тонкой очистки от сернистых соединений. Синтез-газ, используемый для синтеза аммиака, не должен содержать серы более 2—3 мг/м<sup>3</sup>. Поэтому разработка наиболее эффективных и экономичных способов очистки горючих газов от сернистых соединений приобретает первостепенное значение.

Большое значение имеет также вопрос извлечения марганца из бедных марганцевых руд. При использовании бедных марганцевых руд для поглощения серы марганец из нерастворимой формы ( $MnO_2$ ) переходит в кислоторастворимую ( $MnS$ ). Полученный сульфид марганца можно перевести в сульфат путем сульфатизирующего обжига или действием серной кислоты. Таким образом, марганцевый способ одновременно с очисткой газов решает и вопрос извлечения марганца из бедных марганцевых руд.

Ранее проведенными работами [1—12] установлена пригодность марганцевых пероксидных и карбонатных руд и пероксидных марганцевых шламов для очистки горючих газов от сернистых соединений.

В данной работе приведен экспериментальный материал по очистке горючих газов от сернистых соединений инфильтрационной рудой марганца.

Инфильтрационная руда марганца не поддается обычно принятому механическому обогащению, так как при дроблении чистые зерна руды марганца не освобождаются от кварца и кальцита. Поэтому руда не направляется на действующие обогатительные фабрики, а целиком идет на отвал или остается в бассейне. Инфильтрационная руда марганца, в основном, содержит марганец в виде пиролюзита и псиломелана, активность которых по отношению к сернистым соединениям показана в работах [1—9]. Этими данными было обусловлено проведение экспериментов по очистке горючих газов от сернистых соединений инфильтрационной рудой марганца.

Для практической реализации процесса сероочистки горючих газов марганцевыми рудами необходимо установить оптимальные условия взаимодействия очистных масс с сернистыми соединениями, для чего требуется изучение ряда факторов, влияющих на кинетику процесса.

Опыты по исследованию кинетики процесса сероочистки проводились на лабораторной установке (рис. 1). Азотговодородная смесь после очистки от неразложившегося аммиака и удаления брызг в брызголовителе (4) поступает в испаритель сероуглерода (10).

Для точного регулирования подачи сероуглерода в испаритель использовали систему фотосигнальные часы — груз — шприц. На ось часов (5), имеющих один оборот в час, навинчивались валики (6) разных

диаметров, на которые наматывался шнур с грузом (8). Последний вдавливал шток поршня шприца и выдавливал из иголки сероуглерод. В зависимости от диаметра валика (6) скорость опускания груза (8) и соответственно количество подачи сероуглерода в единицу времени разное.

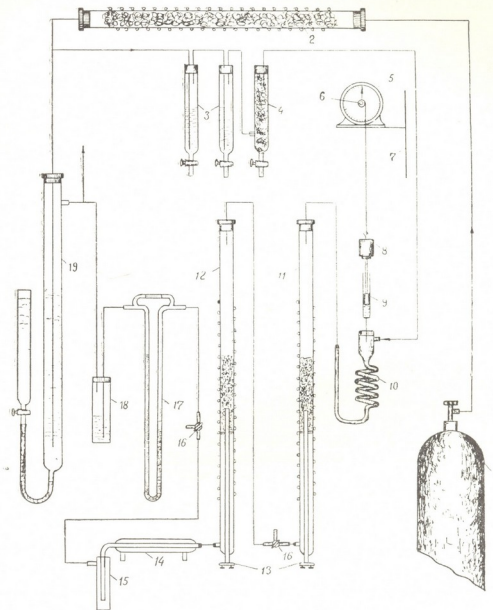


Рис. 1. Схема лабораторной установки для очистки горючих газов от сернистых соединений. 1—баллон аммиака; 2—кварцевая трубка для разложения аммиака; 3—промывалка; 4—брэзгоуловитель; 5—фото-сигнальные часы; 6—валик; 7—полка; 8—груз; 9—шприц; 10—испаритель сероуглерода; 11—реактор для гидрирования сероуглерода; 12—реактор для очистки газа; 13—термопара; 14—холодильник; 15—сборник конденсата воды; 16—тройник для отбора проб газа; 17—реометр; 18—промывалка с раствором щелочи; 19—моностат

Азотоводородная смесь с сероуглеродом после испарителя (10) поступала в реактор (11) с катализатором для гидрирования сероуглерода в сероводород и далее в реактор (12) с очистной массой.

Опыты показали, что степень поглощения серы из сероводорода и сероуглерода инфильтрационной рудой марганца одинакова, что объ-

ясняется каталитическим действием сульфида марганца на процесс гидрирования сероорганических соединений. Поэтому основные опыты были проведены без предварительного гидрирования сероуглерода, путем его подачи прямо в реактор (12).

Влияние температуры на скорость поглощения сероводорода инфильтрационной рудой марганца исследовалось при линейной скорости газа 0,18 м/сек и концентрации серы в очищаемом газе 1,18%.

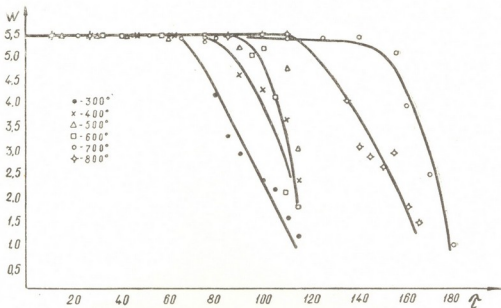


Рис. 2. Зависимость скорости поглощения серы от времени при различных температурах (фракция—2+1 мм). W—скорость реакции, мг/г Мп мин, τ—время, мин.

Из рисунка 2 видно, что скорость взаимодействия сероводорода с марганцем для всех изученных температур (300—800°) за период времени 60—65 минут одинакова, после чего скорость падает тем больше, чем ниже температура.

Следует отметить, что глубокая, практически 100% очистка газа наблюдалась за 40—60 минут. Повышение температуры увеличивало продолжительность работы очистной массы и достигало максимума при 700°. Незначительное снижение скорости реакции и соответственно времени эффективной работы очистной массы при 800° объясняется обратимостью реакции.



Зависимость степени насыщения сорбента серой от продолжительности процесса отражена на рис. 3. Как видно из рисунка, количество поглощенной серы при всех скоростях со временем линейно возрастает. При этом степень использования сорбента в момент проскока серы (высота слоя 115 мм) для всех скоростей в среднем составляет 50%.

Обработка экспериментальных данных показывает, что зависимость скорости поглощения серы от скорости подачи газа до заметного проскока серы определяется уравнением прямой, проходящей через начало координат

$$W = kV,$$

где величина углового коэффициента  $k$  зависит от содержания серы в очищаемом газе.

Зависимость количества поглощенной серы в единицу времени от концентрации серы в горючих газах при температуре 700° и скорости по-

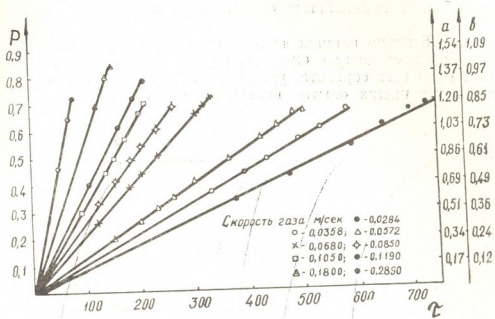


Рис. 3. Зависимость количества поглощенной серы от времени при различных скоростях газа (температура 700°, фракция—2+1 мм). Р—количество поглощенной серы, г/г-экв Mn; т—время, мин; а—атомное соотношение S:Mn в очистной массе; в—атомное соотношение  $S : \Sigma M_{\text{п}, \text{Ca}, \text{Fe}}$  в очистной массе

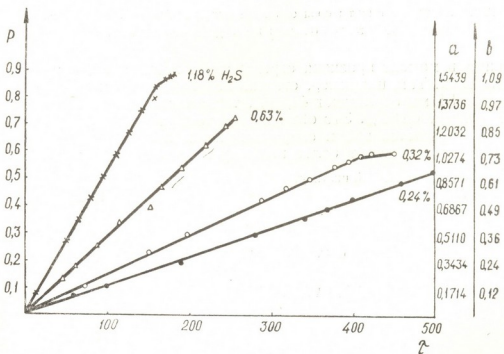


Рис. 4. Зависимость количества поглощенной серы от времени при различных концентрациях серы в исходном газе. Р—количество поглощенной серы, г/г-экв Mn; т—время, мин; а—атомное соотношение S : Mn в очистной массе; в—атомное соотношение  $S : \Sigma M_{\text{п}, \text{Ca}, \text{Fe}}$  в очистной массе

тока газа 0,18 м/сек показана на рис. 4. Заметный проскок серы наблюдался после насыщения сорбента до степени 50% для всех концен-

раций серы (0,24—1,18%) в исходном газе. С увеличением концентрации сероводорода от 0,24 до 1,18% скорость его превращения возрас-  
тала прямолинейно (кривая не показана), что указывает на диффу-  
зионный режим взаимодействия окислов MnO, CaO, и FeO с сероводоро-  
дом.

На рис. 5 видно влияние высоты слоя сорбента на степень очистки газа. Как и следовало ожидать, с увеличением высоты слоя и соответственно веса сорбента, увеличивается период 100% очистки га-  
за. Обработка наших опытов показала, что степень использования

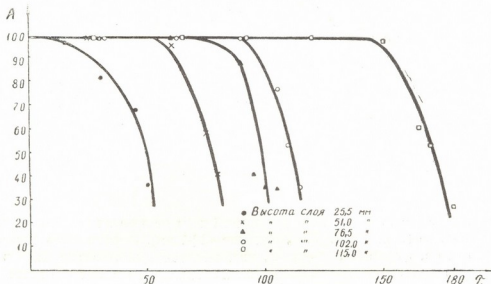


Рис. 5. Влияние высоты сорбентной массы на степень очистки газа.  
А—степень очистки газа, %; τ—время, мин.

марганца в момент проскока сероводорода повышается с увеличением высоты слоя. Так, например, степень использования марганца при высоте слоя 51 мм составляет 44,95%, тогда как при высоте слоя 115 мм она достигает 66,65%. Это объясняется тем, что с увеличением высоты слоя увеличивается время соприкосновения нижних слоев сорбента с газом, что способствует более полному использованию марганца.

Грузинский политехнический институт  
им. В. И. Ленина

Поступило 12.VI.1974

Б. НИКИЧВРИДИ, О. НИКИЧВРИДИ

მანგანუმის გადნებით ფაზი აირების გოგირდნართვისაგან  
გამოვლენა

რეზიუმე

შესწავლილია აზოტწყვალბადის ნარევის გაწმენდის პროცესი გოგირდ-  
წყალბადისაგან და გოგირდნაზირბადისაგან მანგანუმის ინფილტრაციული  
მაღნით, რომლის სამაღნო მინერალებს წარმოადგენენ პსილომელანი, ვერნა-  
დიტი და პიროლუზიტი. მცირე რაოდენობით შედის მაღანეტი აგრეთვე რო-  
დიტი და პიროლუზიტი. მანგანკალციტი, გეტიტი და კალციტი. ყველა ძლიშნულ კომ-  
პონენტს შეუძლია წვადი აირების გაწმენდისას წარმოქმნან სათანადო სულ-

ფიზები  $MnS$ ,  $CaS$ ,  $FeS$ . ნამუშევარი მაღნიდან შეიძლება ამა თუ იმ წესითამცილობა.

აირების გაწმენდის პროცესის პრაქტიკული რეალიზაციისათვის შესწავლია ფაქტორები, რომლებიც გავლენას ახდენს რეაქციის სიჩქარეზე (ტემპერატურა, აირის მიწოდების სიჩქარე და გოგირდის კონცენტრაცია გასაწმენდ აირში). ამასთანვე დაღვენილია შთანთქმული გოგირდის რაოდენობის დამოკიდებულება დროსთან არის სხვადასხვა სიჩქარისა და გოგირდის სხვადასხვა შემცელობისას აირში. ნაჩვენებია სორბენტის ფენის სიმაღლის გავლენა აირის გაწმენდის ხარისხზე.

აირის გაწმენდის მანგანუმის მეთოდში გათვალისწინებულია ორი მნიშვნელოვანი პროცესის შეთავსება — აირების გაწმენდა გოგირდნაერთებისაგან და ღარიბი მაღნებიდან მანგანუმის ამოწვლილვა.

N. Ya. BUCHUKURI, Ya. G. BUCHUKURI

## THE PROCESS OF COMBUSTIBLE GASES PURIFICATION FROM SULPHUR BY MANGANESE ORES

### Summary

The method of combustible gases purification from sulphur compounds has been worked out. It is based on the use of poor manganese ores as purifying mass. It is shown that in addition to gas purification, manganese is extracted from the ore in the form of valuable manganese compounds.

The data on studies of the kinetics of the process of nitrogenhydrogen mixture from hydrogen sulphide and carbon bisulphide by infiltration manganese ore are given. The ore minerals of the latter are psylomilane, vernadite and pyroluzite. The ore has also slight amounts of rhodochrosite, mananocalcite, hetite and calcite. All the listed components can form corresponding sulphides  $MnS$ ,  $CaS$ ,  $FeS$ .

A number of factors affleting the reaction rate: temperature, rate of gas supply and concentration of sulphur in the purified gas have been studied for the practical realization of purification of combustible gases from sulphur by infiltration manganese ore. The dependence has been established between the amount of absorbed sulphur and time at different rates of gas supply and sulphur content in the purified gas.

The worked out method of gas purification combines two important processes: purification of combustible gases from sulphur compounds and extraction of manganese from poor ores (enrichment).

### ლიტერატურა — REFERENCES

1. Чагунава В. Т., Труды ГПИ, Тб., 5, 86 (1956).
2. Чагунава В. Т., Бучукури Я. Г., Амирова Н. Р., Вардиашвили Н. К., Труды ГПИ, Тб., 5, 98—105 (1956).
3. Бучукури Я. Г., Труды ГПИ, Тб., 5, 79—91 (1956).

4. Бучукури Я. Г., Труды ГПИ, Тб., 6, 99—106 (1957).
5. Бучукури Я. Г., Сообщ. АН ГССР, т. XVIII, 2, 175—182 (1957).
6. Чагунава В. Т., Бучукури Я. Г., Сообщ. АН ГССР, т. XVIII, 5, 542—548 (1957).
7. Бучукури Я. Г., Чагунава В. Т., Сообщ. АН ГССР, т. XXVI, 6, 660—664 (1961).
8. Бучукури Я. Г., Чагунава В. Т., Сообщ. АН ГССР, т. XXVI, 6, 659—664 (1961).
9. Чагунава В. Т., Исследования по применению марганцевых контактов в химической промышленности. Тб., Изд «Мецниереба», 1965.
10. Чагунава В. Т., Информационное письмо № 2, ГПИ им. С. М. Кирова, Тб., (1957).
11. Альтшuler В. С., Гаврилова А. А., Высокотемпературная очистка газов от сернистых соединений, М., Изд. «Наука», 1969.
12. Небиериձե Ն. Վ., Автореферат канд. диссертации, Тб., 1970.

УДК 541.135

В. Ю. МИНДИН, Г. Н. КИПИАНИ, И. В. ХАРЧИЛАДЗЕ

## ВЛИЯНИЕ СООТНОШЕНИЯ СОПРОТИВЛЕНИЙ ВЫПРЯМИТЕЛЯ И ЭЛЕКТРОЛИЗЕРА НА ТОЧНОСТЬ АВТОМАТИЧЕСКОГО ИЗМЕРЕНИЯ ОБРАТНОЙ Э.Д.С. С ПОМОЩЬЮ ЗАПОМИНАЮЩЕГО КОНДЕНСАТОРА

При питании электролизера от двухполупериодного выпрямителя или, в более общем случае, при питании электролизера прерывающимся током становится возможным измерение обратной э. д. с. (о.э.д.с.) электролизера в те промежутки времени, когда ток через него не протекает. Наиболее просто, но с низкой точностью, эти измерения можно провести непосредственно по осциллограмме клеммного напряжения, на которой ордината участков, зарегистрированных в отсутствие тока (рис. 1) и есть о.э.д.с. в соответствующем масштабе. Подобный способ был реализован в [1,2].

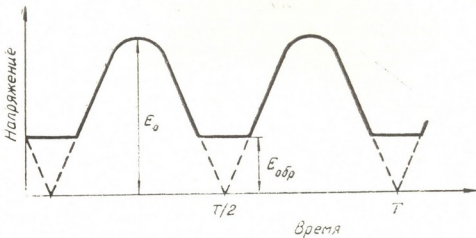


Рис. 1. Осциллограмма напряжения на клеммах электролизера при питании его от двухполупериодного выпрямителя,  $E_0$ —амплитудное значение выпрямленного напряжения.  $E_{обр}$ —обратная э. д. с. электролизера,  $T$ —период питающего выпрямитель переменного тока

Используя идею запоминающего конденсатора [3] в варианте измерения минимального напряжения можно осуществить простое устройство (рис. 2), автоматически измеряющее о.э.д.с. Очевидно, что применимость этого устройства будет определяться точностью получаемых с его помощью результатов. Анализ эквивалентной схемы для слу-

чая выпрямленного синусоидального напряжения приводит к следующему выражению:

$$x \arcsin x + \sqrt{1-x^2} = (1-a) \sqrt{1-y^2} + y(\arcsin y + a \arccos y), \quad (1)$$

где  $x = \varphi/E_0$ ;  $y = U/E_0$ ;  $a = R_2/R_1$ ;  $\varphi$  — о. э. д. с.,

$U$  — напряжение на запоминающем конденсаторе;  $R_2, R_1$  — сопротивление диода в прямом и обратном направлениях;  $E_0$  — амплитудное значение выпрямленного напряжения.

Из (1) следует, что напряжение на запоминающем конденсаторе (З. К.) тем меньше отличается от измеряемой величины, чем ближе о.э.д.с. к амплитудному значению напряжения и чем больше проводимость диода в прямом направлении.

Для исследования влияния «внутренних» сопротивлений источника тока и электролизера на показания цифрового вольтметра, измеряющего напряжение на З. К., была собрана схема (рис. 3). Внутреннее сопротивление источника тока и электролизера моделировалось двухобмоточным реостатом, обмотки и ползунок которого были включены в

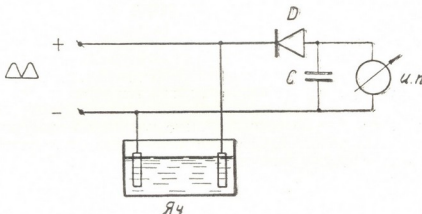


Рис. 2. Схема автоматического измерения обратной э. д. с.

Яч.—электрическая ячейка, С—конденсатор, Д—диод  
германний, И. П.—измерительный прибор

схему таким образом, что сумма «внутренних» сопротивлений оставалась постоянной и равной 22 Ом. Источник тока — выпрямитель ВСА-5. Точное значение о.э.д.с. измерялось компенсационным способом — сравнением опорного напряжения, задаваемого потенциометром  $R_2$  и клеммного напряжения электролизера (щелочной аккумулятор ЖН — 45). Изменение опорного напряжения проводилось до совмещения с нулевой линией на экране осциллографа участка кривой (рис. 1), отвечающей о.э.д.с. Напряжение на З. К. измерялось цифровым вольтметром с высоким входным сопротивлением. Измерялись также напряжения на первой и второй обмотках реостата и напряжение на электролизере.

На основании полученных результатов можно сделать вывод, что увеличение «внутреннего» сопротивления ячейки приводит к уменьшению показаний цифрового вольтметра до величин, меньших о.э.д.с., причем точность замеров падает (рис. 4).

Этот эффект объясняется уменьшением величины напряжения на выходе выпрямителя ниже уровня о.э.д.с. из-за наличия в цепи сравнительно высокой индуктивности.

Измерения, проведенные при разных силах тока и разных соотношениях «внутренних» сопротивлений выпрямителя и электролизера, позволяют утверждать, что для улучшения воспроизводимости результа-

гов необходимо стремиться к уменьшению внутреннего сопротивления электролизера.

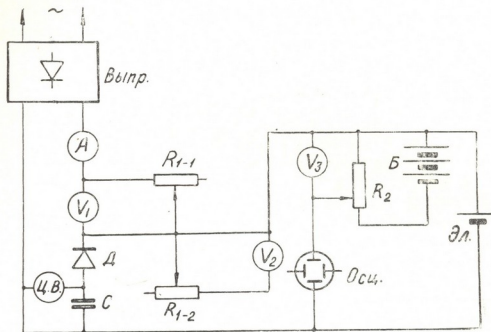


Рис. 3. Схема для исследования влияния соотношения „внутренних“ сопротивлений выпрямителя и электролизера на точность измерения обратной э. д. с. запоминающим конденсатором. Выпр.—выпрямитель; А, В<sub>3</sub>—ампервольтметр; R<sub>1-1</sub>, R<sub>1-2</sub>—реостат двухобмоточный; V<sub>1</sub>, V<sub>2</sub>—вольтметр; Ц. В.—цифровой вольтметр; С—батарея конденсаторов; Д—диод; Осци.—осциллограф; Б—батарея; R<sub>2</sub>—потенциометр; Эл.—электролизер

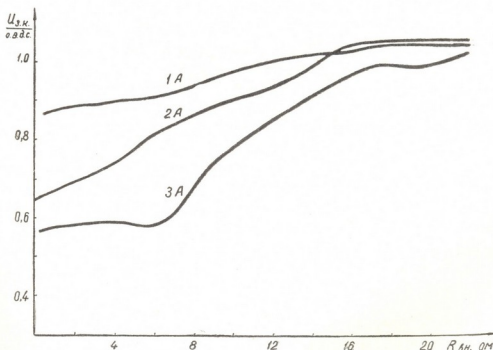


Рис. 4. Зависимость между отношением напряжения на запоминающем конденсаторе к обратной э. д. с., силой тока и величиной „внутреннего“ сопротивления источника тока (при общем сопротивлении 22 Ом)

Это требование не является слишком «жестким», так как при прямом подключении аккумулятора к выпрямителю напряжение на З. К. превышало о.э.д.с. в среднем на 10—30 мВ, что составляет 1—3% от измеряемого значения. Таким образом, применение вышеописанной схемы автоматического измерения обратной э.д.с. может быть рекомендовано практически для всех случаев технического электролиза с питанием, электролизеров от двухполупериодных выпрямителей.

Институт неорганической химии и  
электрохимии АН ГССР

Поступило 29.V.1974

З. МИДДИНО, Г. КИПАНИ, И. ХАРЧИЛАДЗЕ

გამოსართველისა და ელექტროლიტის წინაღობების თანაცარილების გავლენა  
დამამახსოვრებელი კონდენსატორის მეშვეობით შემუშავებულია ელექტროლიტიზერის უკუ ე. მ. დ. ავტომატურად გაზომების სქემა ელექტროლიტერის წყვეტილი დენით კვების შემთხვევაში.

დიოდის პირდაპირი და უკუ წინაღობის ფარდობის გაზრდით და უკუ ე. მ. დ.-სა და ელექტროლიტერის მქვებავი ძაბვის ამპლიტუდურ მნიშვნელობებს შორის სხვაობის შემცირებით მატულობს გაზომვების სიზუსტე.

პრაქტიკაში რეალურად არსებული პირობებისათვის გაზომვების სიზუსტე შეადგენს 1—30%-ს.

შესწავლილია დენის წყაროსა და ელექტროლიტერის „შიგა“ წინაღობების სიდიდეების გავლენა მიღებული შედეგების სიზუსტესა და განმეორადობაზე.

ექსპერიმენტით განსაზღვრულია, რომ „შიგა“ წინაღობების მაღალი მნიშვნელობები აუარესებს შედეგების სიზუსტეს, რაც გამოწვეულია გამმართველის კლემური ძაბვის პერიოდული შემცირებით უკუ ე. მ. დ. ღონის ქვემოთ.

აღნიშნული სქემის რეკომენდირება შეიძლება ტექნიკური ელექტროლიზისათვის ელექტროლიტერის ორნახევარპერიოდიანი გამმართველით კვების შემთხვევაში.

V. Yu. MINDIN, G. N. KIPIANI, I. V. KHARCHILADZE

INFLUENCE OF THE RATIO OF RESISTORS OF RECTIFIER AND ELEKTROLYZER ON THE ACCURACY OF AUTOMATIC MEASUREMENTS OF INVERSE ELECTROMOTIVE FORCE BY MEANS OF A CAPACITOR STORAGE

#### Summary

A scheme of measurement of the inverse electromotive force (i. e. m. f.) of an electrolyzer, at its feeding with interrupting current was worked out with the use of the so called capacitor storage.

With an increase of the ratio of the inverse and direct diode resistance and with a decrease of the difference between i. e. m. f. and the am-

plitude value of voltage feeding the electrolyzer, the accuracy of measurements is increased. For the conditions realized in practice, the accuracy of measurements is 1–3%.

The influence of values of "internal" resistances of current source and electrolyzer was studied on accuracy and reproducibility of the obtained results.

It is determined experimentally that high values of internal resistances lead to the results becoming worse, due to the periodic drops of terminal voltage of the rectifier below the level of i. e. m. f.

The scheme can be recommended for the technical electrolysis when electrolyzers are fed from fullwave rectifiers.

#### ЛІТЕРАТУРА — REFERENCES

1. Бардин И. П., Казайн А. А., Изв. АН СССР, Металлургия и топливо, 11, (1960).
2. Самсон Ю. У., Бару В. Е., Датлина Н. С., Белов С. Ф., Лунькова Н. В., В сб.: Физическая химия и электрохимия расплавленных солей и шлаков, Киев, «Наукова Думка», 162, 1969.
3. Термен Ф., Петтит Д., Измерительная техника в электронике, М., ИЛ, 1955.

## ХРОНИКА

### II ВСЕСОЮЗНОЕ СОВЕЩАНИЕ ПО ФОТОХИМИИ

С 1 по 4 октября 1974 года в г. Сухуми проходило 2-ое Всесоюзное совещание по фотохимии. В работе совещания приняло участие 270 человек, представители 60 организаций, в том числе 12 институтов АН СССР, 11 институтов республиканских академий, 9 университетов, 4 конструкторских бюро, 4 учебных институтов и 1 завода. В виде аннотаций опубликовано 230 докладов по следующим основным разделам:

1. Селективное возбуждение фотохимических реакций лазерным ИК-излучением.
2. Фотолиз в газовой фазе в вакуумной УФ-области.
3. Фотохимические процессы в жидких системах, представляющие интерес для фотохимии (перенос возбуждения, образование триплетных состояний, механизм тушения молекулярной люминесценции, образование экимеров и эксплексов).
4. Органическая фотохимия. Механизмы органических фотохимических реакций.
5. Обратимые органические фотохимические реакции.
6. Элементарные процессы фотохимии в стеклах и полимерах.
7. Элементарные процессы и механизмы фотохимических реакций с участием красителей.
8. Элементарные процессы и механизмы фотохимических реакций с участием пигментов.
9. Фотохимические реакции неорганических ионов и комплексных соединений в растворах.

Совещание открыл председатель секции фотохимии при научном Совете по химии высоких энергий АН СССР член-корр. АН СССР Х. С. Багдасарьян, остановившийся на основных этапах развития современной фотохимии. От имени Президиума АН ГССР участников Совещания приветствовал академик — секретарь отделения химии и химической технологии АН ГССР Г. В. Чичишивили.

Было заслушано много оригинальных докладов. Например, вызвали интерес доклады Н. Г. Басова, А. И. Ораевского, А. В. Панкратова и М. В. Соболевского «Стимулирование химических процессов инфракрасным интенсивным (лазерным) излучением», В. М. Беренфельда, Б. В. Чумаевского, Н. В. Веселовской, Р. В. Джагапцания «Триплетсинглетный перенос энергии электронного возбуждения. Некоторые особенности кинетики фотовосстановления ацетофенона», М. Г. Кузьмина «Адиабатические и неадиабатические реакции электронно-возбужденных молекул», Ю. И. Кириюхина, З. А. Синициной и Х. С. Багдасарьяна «Определение вкладов фотонизации и фотосенсибилизации в общий выход двухквантовой фотохимической реакции» и др.

Институты АН ГССР представили ряд интересных работ. Доклад К. Г. Джапаридзе и Н. И. Мамишваловой посвящен исследованию некоторых особенностей фотохимии 6-нитрозамещенных индолиноспирохроменов с различными радикалами при атоме азота. В работе К. Г. Джапаридзе, Д. П. Майсурадзе и Ш. А. Ахобадзе изучено влияние видимых лучей на кинетическую характеристику фотохимического и темнового процессов полимерных пленок, содержащих динитропроизводные спирохроме-



ны. К. Г. Джапаридзе, Д. П. Майсурадзе, Ш. А. Ахобадзе и Г. Г. Гачечиладзе синтезированы спирохромены на базе 1,3,3-триметил-2-метилен-1,7диазаиндена и изучены их физико-химические характеристики. К. Г. Джапаридзе, Д. П. Майсурадзе, В. Д. Ананиашвили, Д. Л. Лоладзе и Ш. А. Ахобадзе были получены фотохромные полимерные материалы с использованием галонидсодержащих полимеров и основания Фишера. Т. Н. Махарадзе, М. И. Бродзели, И. А. Елигулашвили и М. Д. Қанделаки исследована рекомбинация радикалов под действием лазерного облучения. М. Е. Перельманом рассмотрены пороговые явления в реакциях лазерной фотохимии и рассчитаны термодинамические ограничения эффективности фотохимических реакций. Т. Н. Махарадзе и Л. В. Девадзе впервые показана возможность исследования спирохроменов в полимерных пленках в УФ области (245—300 нм) (Институт кибернетики АН ГССР).

В работе И. Л. Эдилашвили, Л. Д. Меликадзе, З. И. Гургенидзе и К. В. Иоселиани «Ингибирование фотохимических превращений минеральных масел ароматическими аминами» исследовались фотохимические превращения некоторых модельных систем, аналогов углеводородов, содержащихся в масляных фракциях нефти. К. Г. Годердзишвили и Л. Д. Меликадзе разработан фотохимический способ выделения микроэлементов нефти. Работа Л. Д. Меликадзе, Э. Г. Леквешвили и Э. Г. Ахалакци посвящена изучению фотоконденсации углеводородов фенантренового ряда с малениновым ангидридом в присутствии бензофенона (Институт физической и органической химии им. П. Г. Меликшвили АН ГССР).

В работе М. В. Панчвидзе, Е. М. Нанобашвили, А. Г. Дапкиашвили и Г. И. Хидешели изучены низкотемпературный радиолиз и фотопревращение некоторых сероорганических соединений. И. Г. Бахтадзе, Л. В. Ляшенко и Е. М. Нанобашвили исследованы фотохимические реакции, протекающие в интермицеллярном растворе и на поверхности частиц золей роданидов и цианидов серебра и ртути (Институт неорганической химии и электрохимии АН ГССР).

В заключительном слове чл.-корр. АН СССР Х. С. Багдасарян отметил, что Сообщение было плодотворным, состоялся широкий обмен мнениями и информацией по важнейшим областям фотохимии, интерес к которым за последние годы значительно возрос в СССР.

Совещание наметило ряд мероприятий в целях стимулирования в СССР исследований в области фотохимии.

## କାନ୍ତିରୁଣୀ ଶାଶ୍ଵତାଦିଗନ୍ଧ

კურნალში „საქართველოს სსრ მცირებულებათა გადამისის მაცნე, ქიმიის სერია“ იძეგდება ორი წლიური ტერიტორიაზე, რომელიც მას სასულია ექსპრესიულ და ორგანიულ მიმღების შესრულებით თანამდებობური მიმღებისა და ტერქონიალ მიმღების შესრულებების მიხედვით და მიმღების მიხედვით ტერიტორიაზე, დაწერილი სარეაქციო კოლეგიის დავალებათ.

2. წერილის მოყვალობა ცხრილით, ნაბარი გულებული (სავი ნაბარი გულებული), ნახატების ქვეშ წრიულებით, დამტკიცებული ლიტერატურის ნუსხით, რეალურებით ქართულ, ინგლისურ პერსეპცია და რეალურობაზე არსოვორი უზურ სახეც მანქანის როი ინტერესალით დაბეჭდილ 12 გვრცელ, 3-5 ს სიგანის მინიორით მარტივნა, კლეიშ-

ରୂପିତ ହେଉଥିଲା ନିମ୍ନଲିଖିତ ଦ୍ୱାରା କାର୍ଯ୍ୟକ୍ରମ ଅନୁଷ୍ଠାନିକ କରାଯାଇଛି।

5. ექსპერიმენტულ ნიტოლ შეიცვლილ უნა ერთობლივ მოკლე შესავალი, რომელიც ასახული ექვემდება სამუშაოს მიზნით. შემდგე მოყავანილ უნა იყოს ასწერ და განხილვის შედეგებისა და მოკლე დასკვნა. წერილში მოკლეული ცხრილები უნდა დასათავრდეს.

7. ნახატები უნდა შესასულებეს თეთრ ქვლალზე ან კალაკას შემა ტური და რაოდ განვითარებულ აღნიშვნებით. აუცილებელი უნდა იყოს მითითებული ნახატის აღვილი, ნახატის ნომერი კი — გამოტანას მინიჭონაში. კოველ ნახატს მეორე მხარეზე ფანქრით უწდა და დაწერის ავტორების გვარები და იმ შეტანილს სთავაზე, რომელსაც მიყენებულია ნახატი. ნახატები და ცხრილები ჭარბოლებითი უნდა იქნეს ორ ეგზემპლარად (ჭარბებით კონკრეტულ გრადუსში).

11. უურნალში წერტილები დაიბეჭდება რედაციის შემთხველის რიგის მიხედვით. თუ წერტილი მოითხოვს გადამუშავებას, გაშინ რიგი იკრძალება და წერტილი შესწორების შემზღვევა-დარღვევის დაიბეჭდება. უურნალის ერთ ნომერში შეიძლება დაიბეჭდოს ვეტორის მხოლოდ ერთი წერტილი.

12. რედაქტირა ავტორს შესამოწმებლად უგზავნის წერილის ერთ კორექტურას. ავტორს უფლება არ აქვთ შეასრულონ მხრივი სტრიქის შეცდომები. დაუშეცვლა დამტკიცა ან რამაც ცვლილი იქნება ავტორის საწინააღმდეგო დოკუმენტი.

## К СВЕДЕНИЮ АВТОРОВ

1. В журнале «Известия АН Грузинской ССР, серия химическая» публикуются оригинальные статьи и краткие сообщения, содержащие результаты исследований теоретического и экспериментального характера по основным направлениям современной химии и технологии, а также обзорные статьи, написанные по заданию редакционной коллегии.

Периодически публикуется краткая хроника о конференциях, совещаниях, семинарах и других научно-организационных мероприятиях, проводимых в республике.

2. Объем статьи, включая таблицы, рисунки (3 рисунка приравниваются к одной странице), подписи к рисункам, список использованной литературы, резюме на грузинском и английском языках и реферат, не должен превышать 12 страниц машинописного текста, отпечатанного через два интервала. С левой стороны оставляются поля шириной 3—5 см.

3. Объем кратких сообщений не должен превышать 4 страницы машинописного текста (включая список использованной литературы и краткое резюме). Сообщения могут быть иллюстрированы 1—2 рисунками.

Резюме на английском и грузинском языках, список использованной литературы, таблицы и подписи к рисункам исполняются на отдельных листах.

4. Статьи (краткие сообщения) представляются в двух экземплярах с направлением учреждения, решением Ученого совета (кафедры, отдела лаборатории) об их публикации, с заключением экспертной комиссии и авторскими справками.

В начале статьи (слева вверху) пишется индекс УДК, справа вверху указывается раздел журнала, в котором должна быть опубликована статья, затем следуют инициалы и фамилии авторов, заглавие и текст статьи. В конце текста с левой стороны указывается полное название учреждения, в котором выполнена работа. Статья должна быть подписана всеми авторами с указанием на отдельном листе их адресов и телефонов.

5. Изложению экспериментального материала должно предшествовать краткое введение, излагающее цель работы. Далее должно быть приведено описание и обсуждение полученных результатов и краткое заключение. Таблицы, приведенные в тексте статьи, следует озаглавить.

6. Формулы и буквенные обозначения должны быть вписаны четко и аккуратно от руки чернилами или тушью. Особое внимание следует обратить на тщательное изображение индексов и показателей степеней. Во избежание ошибок следует делать ясное различие между прописными и строчными буквами латинского алфавита: заглавные буквы подчеркнуть снизу двумя черточками, а строчные — сверху; греческие буквы обвести красным карандашом.

7. Рисунки должны быть исполнены на белой бумаге или на кальке тушью, с минимальным количеством обозначений. В тексте следует обязательно указать место для рисунков, вынося номер рисунка на поля. На обороте каждого рисунка карандашом должны быть написаны фамилии авторов, заглавие статьи, к которой относится рисунок. Рисунки и таблицы должны быть представлены в двух экземплярах (в надписанным конверте).

8. Цитируемая литература приводится на отдельной странице в конце статьи. Все ссылки даются в оригинальной транскрипции. Иностранные фамилии в статье даются в транскрипции основного текста.

Цитируемая литература приводится в следующем порядке:

а) для **журнальных** статей: фамилии и инициалы всех авторов, название журнала, том (подчеркнуть номер выпуска), страница, год (в скобках).

б) для **книг**: фамилии и инициалы авторов, точное название книги, место издания, издательство, год, том (подчеркнуть) и страница.

Ссылки на неопубликованные работы (кроме диссертаций) не допускаются.

Использованная литература должна быть расположена не в алфавитном порядке, а в последовательности цитирования.

9. К статье должен был приложен реферат в двух экземплярах, составленный по форме ВИНТИ.

10. Рукописи, не отвечающие настоящим правилам, редакцией не принимаются.

11. В журнале статьи публикуются в порядке поступления в редакцию. В случае возвращения автору статьи для доработки текста датой представления считается день получения редакцией окончательного текста. В одном номере журнала может быть опубликована лишь одна статья автора.

12. Редакция посыпает автору одну корректуру статьи. В авторской корректуре исправлению подлежат только ошибки типографии, никакие дополнения или изменения первоначального текста не допускаются.

Редакция бесплатно выдает авторам 25 отдельных оттисков статьи.

დ ე დ ა ქ ც ი ი ს მ ი ს მ ა რ თ ი :

380060, თბილისი-60, კუტუზოვის ქ., 19, თასნი 16.  
ტელ. 37-93-82

А д р е с р е д а к ц и и :

380060, Тбилиси-60, ул. Кутузова, 19, комната 16.  
тел. 37-93-82

Корректор М. Дарсавелидзе

Сдано в набор 11.5.1975; подписано к печати 8.7.1975; формат  
бумаги 70×108 1/16; бумага № 1; печатных л. 8,4; уч-изд. л. 6,47;  
УЭ 11570; тираж 1000, экз.; заказ 1719

цена 70 коп.

---

გამოშეტობა „შეცნერება“, თბილისი, 380060, კუტუზოვის ქ., 19  
Издательство «Меццинереба», Тбилиси, 380060, ул. Кутузова, 19

---

საქ. სსრ. მეცნ. აკად. სტამბა, თბილისი, 380060, კუტუზოვის ქ. № 19  
Типография АН Груз. ССР, Тбилиси, 380060, ул. Кутузова, 19

6 11/150



Цена 70 коп.

Индекс 76203